

Universidade de São Paulo
Instituto de Física

Análise de Buracos Negros Esfericamente Simétricos em modelos de Mundo Brana

Alan Bendasoli Pavan
Orientador: Prof. Dr. Élcio Abdalla

Dissertação de mestrado apresentada ao Instituto de Física da Universidade de São Paulo para a obtenção do título de Mestre em Ciências

Comissão Examinadora:

Prof. Dr. Élcio Abdalla (IF-USP)
Prof. Dr. Luís Raul Weber Abramo (IF-USP)
Prof. Dr. George Emanuel Avraam Matsas (IFT-UNESP)

São Paulo
2006

FICHA CATALOGRÁFICA
Preparada pelo Serviço de Biblioteca e Informação
do Instituto de Física da Universidade de São Paulo

Pavan, Alan Bendasoli

Análise de buracos negros esfericamente simétricos em
modelos de Mundo Brana. São Paulo, 2006.

Dissertação (Mestrado) - Universidade de São Paulo.
Instituto de Física - Depto. de Física Matemática.

Orientador: Prof. Dr. Élcio Abdalla
Área de Concentração: Física

Unitermos:

1. Buracos Negros;
2. Relatividade-Mundo Brana;
3. Relatividade-Estabilidade de Buracos Negros.

USP/IF/SBI-017/2006

Resumo

O estudo de objetos compactos e suas propriedades físicas tem sido alvo de constantes investigações nos últimos 90 anos. Com o surgimento da Teoria de Cordas e os modelos de Mundo Brana como alternativas de descrição do nosso Universo, cresceu o interesse no estudo de buracos negros nesses contextos. Neste trabalho é desenvolvido um estudo de buracos negros em modelos de Mundo Brana. Uma classe de buracos negros esfericamente simétricos na brana é investigada. Critérios de estabilidade são estabelecidos. Propriedades termodinâmicas e a existência de modos quasi-normais de oscilação também são abordadas. Os buracos negros estudados são o Buraco Negro tipo CFM e o Buraco Negro tipo SM (sem massa), obtidos por Casadio *et al.* e Bronnikov *et al.*, respectivamente. A geometria do *bulk* no qual a brana está imersa é desconhecida. Entretanto, o teorema de Campbell-Magaard nos garante a existência de uma solução 5-dimensional no *bulk* que tem como projeção sobre a brana a classe de buracos negros estudados. Eles mostraram-se estáveis quando submetidos a perturbações do tipo escalar. A existência de modos quasi-normais de oscilação foi observada tanto para o Buraco Negro tipo CFM quanto para o Buraco Negro tipo SM. As caudas das perturbações apresentaram comportamentos semelhantes. O limite superior da entropia de um corpo absorvido pelos buracos negros estudados foi calculado mostrando que esse limite independe dos parâmetros dos buracos negros, sugerindo novamente sua universalidade.

Abstract

Research on black holes and their physical proprieties has been active on last 90 years. With the appearance of the String Theory and the Braneworld models as alternative descriptions of our Universe, the interest on black holes, in these context, increased. In this work we studied black holes in Braneworld models. A class of spherically symmetric black holes is investigaded as well its stability under general perturbations. Thermodynamic proprieties and quasi-normal modes are discussed. The black holes studied are the SM (zero mass) and CFM solutions, obtained by Casadio *et al.* and Bronnikov *et al.*. The geometry of bulk is unknown. However the Campbell-Magaard Theorem guarantees the existence of a 5-dimensional solution in the bulk whose projection on the brane is the class of black holes considered. They are stable under scalar perturbations. Quasi-normal modes were observed in both models. The tail behavior of the perturbations is the same. The entropy upper bound of a body absorbed by the black holes studied was calculated. This limit turned out to be independent of the black hole parameters.

Dedicatória

“Ao Espírito Imortal que indicou o caminho pelo qual eu deveria seguir.”

Agradecimentos

À todos os Espíritos que já caminharam ou ainda caminham comigo durante essa etapa da minha existência.

Ao amigo e orientador Prof Elcio Abdalla pela oportunidade de trabalho, pela paciência e pelas conversas descontraídas sobre a vida.

Aos amigos e companheiros de trabalho, Bertha e Prof Carlos, pelo auxílio e pela atenção dedicada a este trabalho. Sem a ajuda de vocês esse trabalho não seria possível.

À minha grande família em Ribeirão Preto e aqui em São Paulo, especialmente aos amigos e irmãos do apartamento 132, Thiago, Mineiro, Bruno e Rodrigo.

À família do Departamento de Física-Matemática que me acolheu com tanto carinho, atenção e respeito: Amélia, Simone, Bete, Rodrigo, Jéferson, Flávio, Carlos Eduardo, Carlos, Bertha, Michele, Arlene, Cecília, David, Karlúcio e muitos outros que por lá passaram.

Aos meus pais pela oportunidade da existência, pelo carinho e pelo desmedido amor.

À minha irmã por tudo aquilo que ela representa em minha vida.

Aos meus avós por serem modelos no qual pretendo sempre me espelhar.

À FAPESP pelo apoio a Ciência no Brasil e pelo apoio a este trabalho.

Sumário

1	Introdução	9
2	Buracos Negros em 3+1 dimensões	13
3	Perturbações Gerais em Buracos Negros (3+1) dimensionais	23
3.1	Perturbações Escalares	23
3.2	Perturbações Eletromagnéticas	29
3.3	Perturbações Gravitacionais	32
4	Estabilidade e Modos Quasi-normais	39
4.1	Estabilidade	39
4.2	Modos quasi-normais	43
5	Termodinâmica de Buracos Negros	46
5.1	Leis da Termodinâmica de Buracos Negros	46
5.2	Cálculo do limite superior da entropia de um corpo caindo em um BN Esfericamente Simétrico	49
6	Mundo Brana	53
6.1	Um olhar sobre o Mundo Brana	54
6.1.1	Modelo ADD	55
6.1.2	Modelos Randall-Sundrum	56
6.1.3	Equação de Einstein projetada sobre a brana	59
6.2	Buracos Negros no Mundo Brana	66
6.2.1	Buraco Negro tipo CFM	69
6.2.2	Buraco Negro tipo SM	71
7	Evolução de Campos, Estabilidade e Termodinâmica de BN's Esfericamente Simétricos sobre a brana	73
7.1	Evolução de campos em BN-CFM e BN-SM	78
7.1.1	Perturbação Escalar no exterior do BN-CFM e do BN-SM	78

7.1.2	Perturbação Eletromagnética no exterior do BN-CFM e do BN-SM	80
7.1.3	Perturbações Gravitacionais no exterior do BN-CFM e do BN-SM	80
7.2	Estabilidade de um BN-CFM e BN-SM	91
7.3	Termodinâmica de BN-CFM e BN-SM	98
8	Resultados Númericos	103
8.1	Apresentação do Método Numérico	103
8.1.1	Problema de Condições Iniciais Características	103
8.1.2	Discretização	104
8.2	Resultados	107
9	Conclusões	112
A	Apêndices	114
A.1	Notações e Convenções	114
A.2	Decomposição tensorial de h_{ij}	116
A.3	Construção dos Harmônicos Esféricos Tensoriais	119
A.4	Comentários a respeito do comportamento da coordenada tar- taruga r_*	120
A.5	Cálculo do desacoplamento das equações δR_{12} , δR_{10} e δR_{13} . . .	122

Capítulo 1

Introdução

Eis que continua a longa jornada do homem, em busca daquilo que é o Universo. Do início do caminho até os dias de hoje grandes mentes contribuiram na construção, ou melhor seria dizer, no entendimento do espaço e do tempo em que nos encontramos inseridos.

Desvendar os mistérios do Criador para aqueles que Nele acreditam ou simplesmente entender a Natureza, eis a nossa busca, quem sabe nosso martírio, quem sabe nossa redenção. Sigamos então pela estrada do conhecimento na tentativa de contribuir ou tornar mais claro pequenos pontos do nosso misterioso Universo.

Nossa jornada começa em 1915. O surgimento da Teoria da Relatividade Geral de Albert Einstein nos traz um novo entendimento do que é o espaço e o tempo e os transforma em um espaço-tempo.

Essa entidade na qual repousamos, adquire dinâmica, movimento, e então as fronteiras do nosso entendimento sobre o mundo se largam. Todo o Universo surge novo e das próprias equações que descrevem essa dinâmica surgem mundos até então impensados, no máximo sonhados. E o Universo começa a não ser mais algo estático, eterno, e passa a se movimentar completamente fora do nosso limitado controle. Então surgem novos e muitos Universos. Universos vazios e parados, Universos cheios, de matéria e luz, a girar, Universos que se expandem e tem começo, meio e fim. E neste ponto até parece que nos aproximamos do Criador mostrando que o Universo pode ter tido um início, um Grande Início; afinal não estamos brincando de criar também.

E desses Universos, talvez aqueles, que mais nos causaram espanto a princípio por descreverem algo novo, foram os que hoje conhecemos pelo nome de *buracos negros*.

O objetivo deste trabalho é trilhar duramente a jornada que no conduz ao entendimento desses objetos estranhos, os buracos negros, que surgiram com a Relatividade Geral em $(3 + 1)$ dimensões e aparecem até hoje como

desenvolvimentos dos mais intrigantes e motivantes em teorias mais recentes tais como a Teoria de Cordas e o Mundo Brana com suas várias dimensões extras.

Na verdade, a idéia de um objeto com um campo gravitacional tão forte que fosse capaz de impedir até a luz de escapar é uma idéia antiga, anterior à Relatividade Geral, que foi estudada por Michel [38] e Laplace [39]. A princípio esse objeto recebeu o nome de *estrela escura* pois se tratava de uma estrela que não emitia luz nenhuma. Foi Wheeler, em 1968, quem batizou tais objetos como buracos negros.

A primeira solução exata (esféricamente simétrica) das equações de Einstein foi obtida por Schwarzschild em 1916. Além de possuir uma singularidade física em $r = 0$, essa solução possuía uma outra singularidade em $r = 2M$ devido ao sistema de coordenadas adotado. A partir deste momento muitas outras soluções das equações de Einstein foram obtidas por inúmeros pesquisadores.

Entre elas destacamos a solução obtida por Snyder e Oppenheimer em 1939, que mostra que um buraco negro é obtido como resultado do colapso gravitacional de uma estrela massiva, a solução de Reisner (1916) e Nordström (1918) para um buraco negro com carga elétrica, a solução de Kerr em 1963, para um buraco negro em rotação.

Ao longo desses desenvolvimentos uma importante questão surgiu, a respeito dos buracos negros. Seriam eles objetos estáveis quando submetidos a alguma perturbação?

O estudo da estabilidade de buracos negros surgiu com Regge e Wheeler em 1957. Eles submeteram o buraco negro de Schwarzschild a uma perturbação linear na métrica e verificaram que ele era estável. Estudos com outros tipos de perturbações tais como perturbações escalares, eletromagnéticas e de *spin* 1/2 também foram realizados para o buraco negro de Schwarzschild, confirmando sua estabilidade. Depois desses trabalhos muitos outros foram realizados, complementando e extendendo os resultados obtidos para outros buracos negros.

Nos anos 60 os primeiros indícios da possibilidade de detecção de buracos negros surgiram no cenário astrofísico. O estudo de acreção de matéria e sistemas binários onde um dos constituintes era um buraco negro mostrou que tais sistemas seriam poderosas fontes de raio-X. Medidas realizadas posteriormente mostraram alguns possíveis candidatos a buracos negros.

Mais recentemente com a descoberta de que buracos negros emitem ondas gravitacionais surgiu a possibilidade das primeiras medidas através de antenas gravitacionais, de propriedades de tais objetos. Essa descoberta motivou uma corrida entre equipes de pesquisadores pela primeira medição de uma onda gravitacional.

Além do interesse por tais medidas, cresceu também o interesse no estudo de modelos capazes de descrever o comportamento das ondas gravitacionais emitidas por buracos negros.

Neste contexto é que surge o conceito de *freqüências quasi-normais* de objetos massivos introduzido por Press [40] em um trabalho de 1971. Resultado de perturbações no exterior de um buraco negro, as freqüências quasi-normais são freqüências complexas de oscilação do espaço-tempo no exterior do buraco negro. Essas perturbações se propagam na forma de ondas e tem duração limitada no tempo pois são atenuadas exponencialmente.

A característica interessante desses modos quasi-normais de oscilação é que eles independem do tipo de perturbação inicial dependendo apenas dos parâmetros do buraco negro.

Portanto a análise dos modos quasi-normais de buracos negros ganha acentuada importância uma vez que através dela podemos dizer se a onda gravitacional que medimos é provinda de um buraco negro em rotação ou um buraco negro estático, por exemplo.

Outro grande desenvolvimento na física de buracos negros surgiu com o trabalho de Hawking [15] sobre a propagação de campos quânticos no exterior de um buraco negro estacionário. Ele mostrou que um buraco negro estacionário irradiava para o infinito todas as espécies de partículas com um espectro de corpo negro perfeito, à uma temperatura $T_H = \kappa/2\pi$.

Esse trabalho de certo modo, pôs fim a um empasse que existia, a respeito da analogia entre a física de buracos negros e a termodinâmica ordinária.

Esta analogia foi desenvolvida sistematicamente por Bardeen, Hawking e Carter [14] além de Bekenstein [23, 13] que propôs uma Segunda Lei da Termodinâmica Generalizada. Todas essas inovações impulsionaram o estudo de buracos negros em um contexto quântico.

Com o advento da Teoria de Cordas, o interesse por buracos negros se renovou e abriu novas oportunidades, devido a possibilidade da existência de dimensões espaciais extras. Iniciou-se então o estudo de soluções do tipo buraco negro em cenários com dimensões mais altas. Diversos cenários surgiram como alternativas de como poderíamos enxergar o nosso Universo, entre eles os mais conhecidos são os Modelos Randall-Sundrum (RS) [16, 17] e o Modelo ADD [18].

Os Modelos de Mundo Brana continuam gerando grandes contribuições no entendimento da física em altas dimensões. Avanços no contexto de Mundo Brana tem sido feitos, tais como os realizados por Hawking [41] que obteve uma solução tipo corda negra , Maartens [11] que obteve uma solução que descreve uma estrela de densidade uniforme sobre a brana, Visser [42] com uma solução que descreve planetas sólidos sobre a brana, Casadio [2, 1] com uma solução tipo “cigarro negro” e soluções tipo buracos negros e buracos de

minhoca e Bronnikov [5, 10] com uma classe geral de buracos negros e buracos de minhoca. Algumas dessas soluções apresentaram regimes instáveis quando submetidas a perturbações [43], outras ainda não foram estudadas até agora, o que nos motiva ao estudo da estabilidade dessas soluções.

Interessante notar que grande parte dos formalismos desenvolvidos no contexto da Relatividade Geral funcionam sem grandes alterações no contexto de dimensões mais altas.

Por exemplo, os modos quasi-normais, tem se mostrado uma ferramenta eficaz no entendimento dos Mundos Brana. Em um trabalho recente Martens [19] propõem a utilização de modos quasi-normais como uma ferramenta na detecção de dimensões extras. Abdalla *et al* [44] utilizaram técnicas numéricas desenvolvidas no contexto de Relatividade Geral para o cálculo de modos quasi-normais de buracos negros em branas. Neste trabalho também foi analisada a estabilidade desses buracos negros e o limite superior da entropia S_m de um corpo absorvido por um buraco negro localizado sobre a brana.

Inspirados nesta abordagem de adaptarmos um formalismo sólido vindo da Relatividade Geral ao Mundo Brana desenvolvemos esta dissertação.

Este trabalho se divide em duas grandes áreas: buracos negros no contexto da Relatividade Geral e buracos negros no contexto de Mundo Brana. Os primeiros 5 capítulos tratam dos desenvolvimentos realizados no estudo de buracos negros em Relatividade Geral. Os capítulos finais tratam do estudo de buracos negros no Mundo Brana.

No capítulo 2 apresentaremos um resumo sobre buracos negros em (3+1) dimensões. No capítulo 3 estudaremos o formalismo aplicado no estudo de perturbações de buracos negros esfericamente simétricos. No capítulo 4 estudaremos os critérios de estabilidade e os modos quasi-normais de oscilação de um buraco negro esfericamente simétrico. No capítulo 5 estudaremos as propriedades termodinâmicas de buracos negros esfericamente simétricos. No capítulo 6 apresentaremos uma introdução ao Mundo Brana e o desenvolvimento do estudo de buracos negros neste contexto. No capítulo 7 adaptamos o formalismo desenvolvido nos capítulos 3, 4 e 5, para buracos negros localizados sobre uma brana. No capítulo 8 são apresentados os resultados obtidos no trabalho assim como o método numérico utilizado para a solução das equações obtidas. No capítulo 9 apresentamos as conclusões do trabalho desenvolvido nesta dissertação. Nos Apêndices se encontram as notações adotadas neste trabalho e algumas demonstrações de interesse.

Capítulo 2

Buracos Negros em 3+1 dimensões

Aqui começa nossa jornada.

A compreensão de que espaço e tempo é uma estrutura coesa, dinâmica e intrincada é uma conquista da Relatividade Geral. No contexto da Relatividade Geral, espaço e tempo são tratados em pé de igualdade formando uma única entidade chamada espaço-tempo.

Para representarmos um evento no espaço-tempo, como por exemplo um raio que cai em um determinado ponto de São Paulo, utilizamos quatro coordenadas, (x, y, z, t) . Aqui o tempo não é mais tratado como absoluto e a cada evento associamos um tempo.

Portanto dois eventos **A** e **B** devem ser representados no espaço-tempo por (x_a, y_a, z_a, t_a) e (x_b, y_b, z_b, t_b) respectivamente.

Assim para medirmos o intervalo ds entre os eventos **A** e **B** usamos o conceito do tensor métrico g_{ij} que nos diz como esses dois eventos devem ser relacionados.

O intervalo ds é dado por

$$ds^2 = g_{ij}dx^i dx^j . \quad (2.1)$$

Outro aspecto que surge da Relatividade é que o espaço-tempo possui uma dinâmica própria.

Como sabemos, as equações que governam a dinâmica do espaço-tempo são as conhecidas equações de campo de Einstein. Entre muitos outros aspectos elucidativos, as equações de Einstein contêm em si a informação de como campos de matéria afetam a geometria em que estão contidos. Aliás a

compreensão de que a gravidade nada mais é do que o efeito da deformação do espaço-tempo por um corpo é fruto destas equações.

As equações de campo de Einstein escrita na forma covariante são [33]

$$R_{ij} - \frac{1}{2}g_{ij}R = -8\pi T_{ij} . \quad (2.2)$$

O termo do lado esquerdo da equação (2.2) representa a parte relacionada com a geometria do espaço-tempo onde identificamos o tensor de Ricci R_{ij} e o escalar de curvatura R .

O termo da direita representa o conteúdo material presente no espaço-tempo. Esse conteúdo é representado pelo tensor momento-energia T_{ij} . É o tensor momento-energia que nos dirá como o espaço-tempo será deformado. Toda vez que introduzimos algum conteúdo no espaço-tempo devemos especificar seu tensor momento-energia.

Tomemos um caso bem geral onde introduziremos um campo eletromagnético livre de fonte que é governado pelas equações de Maxwell e cujo tensor momento-energia é dado por $F_{ij}^{Max} = \frac{1}{4\pi}(-g^{ab}F_{ia}F_{jb} + \frac{1}{4}g_{ij}F_{ab}F^{ab})$, um fluído de matéria que possui características de um fluído perfeito com $T_{ij}^{mat} = pg_{ij} + (p + \rho)u_iu_j$ onde p e ρ são a pressão e a densidade e u_i é a quadri-velocidade das partículas que compõem o fluído e por fim um termo chamado constante cosmológica λ .

Nesta situação as equações de campo de Einstein serão

$$R_{ij} - \frac{1}{2}g_{ij}R - \lambda g_{ij} = -8\pi (T_{ij}^{mat} + F_{ij}^{Max}) . \quad (2.3)$$

Ao resolvemos esse conjunto de equações obteremos equações que descrevem como esses campos deformam o espaço-tempo.

Podemos calcular ainda, as equações de Einstein para o vácuo. Neste caso o termo à direita da equação (2.2) é nulo e a equação resultante será

$$R_{ij} - \frac{1}{2}g_{ij}R = 0 . \quad (2.4)$$

Quando nos propomos a estudar uma estrela, por exemplo, devemos resolver as equações de Einstein para dois regimes diferentes, que correspondem ao interior da estrela, o qual possui matéria e portanto $T_{ij} \neq 0$, e o exterior da estrela que corresponde ao vácuo. A solução obtida para o interior da estrela deve ser então “colada” à solução obtida para o vácuo para que o conjunto tenha sentido físico e possa descrever adequadamente uma estrela.

Podemos então nos fazer uma pergunta. Qual é o significado de calcularmos as equações de Einstein para o vácuo, sem entretanto possuir uma “fonte de matéria”?

Como resposta ao significado físico desta operação, foram obtidos dentre outros objetos com diversas simetrias, os objetos mais estranhos e exóticos da Relatividade Geral: *buracos negros* e *buracos de minhoca*.

De um modo bem simplório podemos dizer que um buraco negro é o resultado do colapso de uma estrela massiva quando seu combustível nuclear se estingue e a pressão interna se torna incapaz de sustentar a atração gravitacional fazendo a estrela implodir. Quando a estrela implode ela gera um ponto de densidade infinita, uma *singularidade*. Um observador localizado a grande distância pode observar a implosão da estrela até que o raio da estrela seja igual a duas vezes sua massa. Neste ponto o desvio para o vermelho da luz emitida pela estrela é infinito e a estrela “some” para um observador distante. Após esse ponto a estrela continua a colapsar até que seu raio seja zero.

O objeto remanescente do colapso gravitacional da estrela é conhecido como buraco negro, ou seja, é um objeto com um campo gravitacional tão intenso que nem mesmo a luz é capaz de escapar. De fato, nem sempre o colapso gravitacional de uma estrela resulta em um buraco negro. Se a estrela possui uma massa $M \lesssim 1.2M_{\odot}$ o colapso da estrela resulta em uma estrela do tipo *anã branca*. Esse limite é conhecido como limite de Chandrasekhar. Se a estrela possui uma massa $M \lesssim 0.7M_{\odot}$ o colapso da estrela resulta em uma *estrela de nêutrons*. Esse limite para a massa da estrela é conhecido como limite de Oppenheimer-Volkoff. Pode acontecer ainda que a massa da estrela seja grande o suficiente para que o seu colapso resulte em uma supernova, ou seja, uma explosão que expulsa o excesso de matéria e tem por resultado ou uma estrela de nêutrons ou uma anã branca.

Um buraco de minhoca pode ser descrito como um atalho através do espaço-tempo. Eles podem ser divididos em *buracos de minhoca inter-universo* que conectam “nossa” universo a um “outro” universo e *buracos de minhoca intra-universo* que conectam duas regiões distintas de um único universo [28]. Buracos de minhoca não serão abordados neste trabalho.

Como foi dito acima, diversas soluções para a equação (2.4) foram obtidas para algumas simetrias tais como simetria esférica, cilíndrica e cônica. Neste trabalho nos restringiremos apenas a espaços-tempos com simetria esférica arbitrária.

Adotemos um espaço-tempo que preserve a simetria esférica podendo conter matéria e campos físicos no seu interior.

É sabido que existe um sistema de coordenadas (x^0, x^1, θ, ϕ) em um espaço-tempo esfericamente simétrico tal que a métrica dele tenha a forma

$$\begin{aligned} ds^2 = & g_{00}(x^0, x^1)(dx^0)^2 + 2g_{01}(x^0, x^1)dx^1dx^0 + \\ & + g_{11}(x^0, x^1)(dx^1)^2 + g_{22}(x^0, x^1)(d\theta^2 + \sin\theta^2 d\phi^2) . \end{aligned} \quad (2.5)$$

Como ainda existe liberdade na escolha das coordenadas, podemos fazer uma transformação de coordenadas para eliminar o termo g_{01} e torna a métrica diagonal. Fazendo a seguinte transformação de coordenadas

$$\tilde{x}^0 = \tilde{x}^0(x^0, x^1), \quad \tilde{x}^1 = \tilde{x}^1(x^0, x^1), \quad \tilde{\theta} = \theta, \quad \tilde{\phi} = \phi, \quad (2.6)$$

a métrica (2.5) toma a forma diagonal dada por

$$\begin{aligned} ds^2 = & g_{00}(x^0, x^1)(dx^0)^2 + g_{11}(x^0, x^1)(dx^1)^2 + \\ & + g_{22}(x^0, x^1)(d\theta^2 + \sin\theta^2 d\phi^2). \end{aligned} \quad (2.7)$$

Podemos então, devido à liberdade de coordenadas remanescente, escolher um novo sistema de coordenadas. Se o gradiente da função $g_{22}(x^0, x^1)$ não se anula em alguma região, esta função pode ser escolhida como uma nova coordenada que chamaremos x^1 .

Neste sistema de coordenadas a métrica esfericamente simétrica toma a forma

$$\begin{aligned} ds^2 = & g_{00}(x^0, x^1)(dx^0)^2 + g_{11}(x^0, x^1)(dx^1)^2 + \\ & + (x^1)^2(d\theta^2 + \sin\theta^2 d\phi^2). \end{aligned} \quad (2.8)$$

Se fixarmos os valores de x^0 e x^1 a métrica (2.8) será a métrica de uma esfera bidimensional cuja a área da superfície é $A = 4\pi(x^1)^2$.

Portanto reescrevendo a equação (2.8) de uma maneira mais agradável teremos

$$ds^2 = g_{tt}(t, r)dt^2 + g_{rr}(t, r)dr^2 + r^2(d\theta^2 + \sin\theta^2 d\phi^2), \quad (2.9)$$

onde as componentes g_{tt} e g_{rr} são funções arbitrárias dependentes das coordenadas r e t .

Isso posto, passemos ao estudo de soluções da equação de Einstein quando adotamos simetria esférica.

Buraco Negro de Schwarzschild

Uma das soluções das equações de Einstein mais famosas foi obtida em 1916 por Schwarzschild. Essa solução das equações de Einstein para o vácuo descreve um espaço-tempo esfericamente simétrico, estático e assintoticamente plano. Diversos autores demonstraram a solução de Schwarzschild de muitas maneiras diferentes.

Nesta demonstração seguiremos de perto o método adotado por Weinberg [33]. As equações de campo de Einstein para o vácuo são dadas por

$$R_{ij} - \frac{1}{2}g_{ij}R = 0 . \quad (2.10)$$

O valor do escalar de curvatura, R , para esse caso, é obtido através de uma contração da equação (2.10) com a métrica g^{ij}

$$\begin{aligned} g^{ij}R_{ij} - \frac{1}{2}g^{ij}g_{ij}R &= 0 , \\ R - 2R &= 0 , \\ R &= 0 . \end{aligned} \quad (2.11)$$

Portanto devido ao fato do escalar de curvatura R ser nulo a equação (2.10) pode ser reescrita como

$$R_{ij} = 0 . \quad (2.12)$$

Se impusermos que a solução da equação (2.12) possua simetria esférica e seja estática podemos utilizar a métrica (2.9) como *Ansatz* para simplificar as contas.

A métrica então será

$$ds^2 = -A(r)dt^2 + B(r)dr^2 + r^2(d\theta^2 + \sin\theta^2d\phi^2) . \quad (2.13)$$

Para a métrica (2.13) as componentes não-nulas do tensor de Ricci R_{ij} serão

$$\begin{aligned} R_{rr} &= \frac{A''(r)}{2A(r)} - \frac{1}{4} \left(\frac{A'(r)}{A(r)} \right) \left(\frac{B'(r)}{B(r)} + \frac{A'(r)}{A(r)} \right) - \frac{1}{r} \frac{B'(r)}{B(r)} , \\ R_{\theta\theta} &= -1 + \frac{r}{2B(r)} \left(-\frac{B'(r)}{B(r)} + \frac{A'(r)}{A(r)} \right) + \frac{1}{B(r)} , \\ R_{\phi\phi} &= \sin^2\theta R_{\theta\theta} , \end{aligned} \quad (2.14)$$

$$R_{tt} = -\frac{A''(r)}{2B(r)} + \frac{1}{4} \left(\frac{A'(r)}{B(r)} \right) \left(\frac{B'(r)}{B(r)} + \frac{A'(r)}{A(r)} \right) - \frac{1}{r} \frac{A'(r)}{B(r)} ,$$

onde (') corresponde a uma diferenciação com respeito a r .

As equações que irão nos interessar serão $R_{rr} = 0$, $R_{tt} = 0$ e $R_{\theta\theta} = 0$. Podemos ver que

$$\frac{R_{rr}}{B} + \frac{R_{tt}}{A} = -\frac{1}{rA} \left(\frac{B'}{B} + \frac{A'}{A} \right) . \quad (2.15)$$

Como as componentes R_{rr} e R_{tt} devem ser nulas devido à equação (2.12) temos que

$$\begin{aligned} \frac{B'}{B} &= -\frac{A'}{A} , \\ \frac{d}{dr} \ln B &= -\frac{d}{dr} \ln A , \\ A(r) B(r) &= C_1 . \end{aligned} \quad (2.16)$$

A constante C_1 será fixada pelo comportamento assintótico das funções $A(r)$ e $B(r)$. Como queremos recuperar o espaço-tempo de Minkowski longe do buraco negro de modo que a Relatividade Restrita seja válida, podemos supor a seguinte condição de contorno

$$\lim_{r \rightarrow \infty} A(r) = \lim_{r \rightarrow \infty} B(r) = 1 . \quad (2.17)$$

Desta forma teremos

$$B(r) = \frac{1}{A(r)} . \quad (2.18)$$

Ainda precisamos fazer com que $R_{\theta\theta}$ e R_{rr} sejam nulos para termos nossa solução completa. Se usarmos a equação (2.18) nas equações (2.14) teremos

$$R_{\theta\theta} = -1 + A'(r)r + A(r) ,$$

$$R_{rr} = \frac{A''(r)}{2A(r)} + \frac{A'(r)}{rA(r)} = \frac{R'_{\theta\theta}(r)}{2rA(r)} . \quad (2.19)$$

De modo que se tivermos $R_{\theta\theta} = 0$ a componente R_{rr} será nula.

Portanto

$$-1 + A'(r)r + A(r) = 0 ,$$

$$\frac{d}{dr} (r A(r)) = 1 . \quad (2.20)$$

Integrando a equação (2.20) teremos como solução

$$r A(r) = r + C_2,$$

$$A(r) = \left(1 + \frac{C_2}{r} \right). \quad (2.21)$$

A constante C_2 é fixada utilizando o fato de que a grandes distâncias da massa central M , a componente $g_{tt} = -A(r)$ deve se aproximar de $-(1 + 2\phi)$ onde $\phi = -M/r$. Essa aproximação é conhecida *aproximação de campo fraco*, ou seja, um observador que está longe do buraco negro, enxerga-o como se fosse um corpo de massa M .

Desta forma nossa solução final será

$$A(r) = \left(1 - \frac{2M}{r} \right), \quad (2.22)$$

$$B(r) = \frac{1}{\left(1 - \frac{2M}{r} \right)}. \quad (2.23)$$

Assim temos como resultado a métrica de Schwarzschild dada por

$$ds^2 = - \left(1 - \frac{2M}{r} \right) dt^2 + \frac{1}{\left(1 - \frac{2M}{r} \right)} dr^2 + r^2 d\Omega^2. \quad (2.24)$$

Se realizarmos uma investigação na métrica (2.24) veremos que existe dois valores de r para o qual ao menos uma das componentes da métrica diverge. Esses valores são $r = 0, 2M$. Entretanto podemos realizar uma investigação um pouco mais precisa para saber se esses dois pontos são realmente singularidades físicas. Pode ser que esses pontos singulares sejam apenas resultado do sistema de coordenadas adotado. Portanto precisamos avaliar quantidades escalares as quais são invariantes por transformação de coordenadas. Se algum desses escalares for infinito sobre algum ponto então podemos dizer que aquele ponto é uma singularidade física. Se eles forem finitos então é possível remover a singularidade por um transformação de coordenadas.

Os escalares mais relevantes são: o escalar de Ricci ou de curvatura, o escalar dado pelo quadrado do tensor de Ricci e o escalar dado pelo quadrado do tensor de Riemann.

Para o caso do buraco negro de Schwarzschild teremos

$$R = 0, \quad (2.25)$$

$$R_{ij}R^{ij} = 0, \quad (2.26)$$

$$R_{ijkl}R^{ijkl} = \frac{48M^2}{r^6}. \quad (2.27)$$

Como podemos ver, para $r = 2M$ os escalares possuem valores finitos o que nos diz que ele não é um ponto singular. A única singularidade física na métrica de Schwarzschild se encontra em $r = 0$.

Já que $r = 2M$ não é uma singularidade, de que modo podemos mudar nosso sistema de coordenadas para que possamos remover essa singularidade aparente?

Um sistema de coordenadas que resolve esse problema foi obtido por Eddington (1924) e Finkelstein (1958).

Primeiramente precisamos saber qual é o comportamento de geodésicas nulas radiais no caso de Schwarzschild. Usando o formalismo do princípio variacional [32], teremos a seguinte equação

$$\frac{dt}{dr} = \pm \frac{r}{r - 2M}. \quad (2.28)$$

Se adotarmos o sinal positivo e integrarmos a equação (2.28) teremos

$$t = r + 2M \ln|r - 2M| + constante. \quad (2.29)$$

Analizando essa solução vemos que para a região onde $r > 2M$, a equação (2.28) é positiva. Desta forma r cresce com o aumento de t . Por esse motivo as curvas dadas pela equação (2.29) são congruências de geodésicas radiais nulas tipo *outgoing*, ou seja, elas iniciam perto de $r = 2M$ e se dirigem para um r maior.

De forma análoga se tomarmos o sinal negativo na equação (2.28) sua solução será

$$t = -(r + 2M \ln|r - 2M| + constante). \quad (2.30)$$

Neste caso r decresce com t . Portanto as curvas dadas pela equação (2.30) são congruências de geodésicas radiais nulas tipo *ingoing*, ou seja, elas iniciam em um r grande e se dirigem para um valor de r menor.

Isto posto, a idéia de Eddington e Finkelstein consistia em definir uma nova coordenada temporal no qual geodésicas radiais nulas do tipo *ingoing*

se tornassem linhas retas. Observando a equação (2.30) vemos que a melhor escolha para nossos propósitos é fazer

$$\bar{t} = t + 2M \ln(r - 2M) , \quad (2.31)$$

pois para o intervalo $r \in (2M, \infty)$ no novo sistema de coordenadas $(\bar{t}, r, \theta, \phi)$ nossa nova coordenada temporal será

$$\bar{t} = -r + \text{constante} , \quad (2.32)$$

a qual forma uma linha reta que faz -45° com o eixo r .

Diferenciando a equação (2.31) e susbtituindo na métrica (2.24) tere- mos a métrica de Schwarzschild em termos das coordenadas de Eddington- Finkelstein

$$ds^2 = - \left(1 - \frac{2M}{r}\right) d\bar{t}^2 + \frac{4M}{r} d\bar{t} dr + \left(1 - \frac{2M}{r}\right) dr^2 + r^2 d\Omega^2 . \quad (2.33)$$

Neste sistema de coordenada o ponto $r = 2M$ é regular. De fato essa trans- formação extende o intervalo em que a métrica é regular mapeando o intervalo $0 < r < \infty$.

Podemos reescrever a métrica (2.33) de uma outra forma se introduzirmos uma coordenada nula

$$v = \bar{t} + r , \quad (2.34)$$

o que resulta então, na métrica em coordenadas avançadas de Eddington- Finkelstein

$$ds^2 = - \left(1 - \frac{2M}{r}\right) dv^2 + 2dvdr + r^2 d\Omega^2 . \quad (2.35)$$

A superfície formada por $r = 2M$ faz o papel de uma membrana que conduz todas as curvas tipo luz e tipo tempo de fora para dentro evitando que nada saia para fora desse limite. Por isso esse ponto é conhecido como *horizonte de eventos*.

Podemos obter uma outra solução se introduzirmos uma nova coordenada temporal

$$t^* = t - 2M \ln(r - 2M) , \quad (2.36)$$

o qual torna as geodésicas nulas radiais do tipo *outgoing* linhas retas. Através dela podemos escrever a coordenada nula u com parâmetro de tempo retar- dado

$$u = t^* - r , \quad (2.37)$$

e escrever a métrica (2.24) em coordenadas retardadas de Eddington-Finkelstein como

$$ds^2 = - \left(1 - \frac{2M}{r} \right) du^2 - 2dudr + r^2 d\Omega^2 . \quad (2.38)$$

Buraco Negro de Reissner-Nordstrom

Uma outra solução esfericamente simétrica para as equações de Einstein na presença de carga elétrica é a solução de Reissner-Nordstrom. Sendo solução das equações de Einstein-Maxwell ela descreve um espaço-tempo esfericamente simétrico, estático, assintoticamente plano e com um campo elétrico radial.

Como neste problema temos um campo eletromagnético inserido no espaço-tempo o tensor momento-energia T_{ij} é não-nulo. A métrica obtida como solução também deve ser solução das equações de Maxwell.

Assim as equações de Einstein-Maxwell serão

$$R_{ij} - \frac{1}{2}g_{ij}R = -8\pi T_{ij} , \quad (2.39)$$

onde [32]

$$T_{ij} = \frac{1}{4\pi} \left(-g^{ab}F_{ia}F_{jb} + \frac{1}{4}g_{ij}F_{ab}F^{ab} \right) . \quad (2.40)$$

Como solução das equações (2.39) teremos a métrica de Reissner-Nordstrom que é dada por

$$ds^2 = - \left(1 - \frac{2M}{r} + \frac{Q^2}{r^2} \right) dt^2 + \frac{1}{\left(1 - \frac{2M}{r} + \frac{Q^2}{r^2} \right)} dr^2 + r^2 d\Omega^2 . \quad (2.41)$$

Para discussões adicionais e desenvolvimentos recentes, a respeito do estudo de buracos negros em $(3+1)$ dimensões, ver [48].

Capítulo 3

Perturbações Gerais em Buracos Negros (3+1) dimensionais

E como em toda jornada cruzamos estradas perigosas e pontes estreitas. Ao nos depararmos com uma ponte perguntemo-nos. O quanto ela é resistente?

Ainda que buracos negros sejam objetos exóticos contendo singuralidades, o estudo da evolução de campos no exterior de tais objetos pode revelar-se surpreendentemente simples e bastante instrutivo.

Quando colocamos algum campo, seja ele um campo escalar ou um campo eletromagnético ou ainda um campo gravitacional, para evoluir no exterior de um buraco negro, o campo perturba o espaço ao seu redor. Essas perturbações ainda que inicialmente pequenas, que será o caso tratado neste trabalho, podem ganhar tal proporção com o passar do tempo que podem ser capazes de tornar o objeto instável e destruí-lo. Portanto uma compreensão da evolução de tais campos pode nos fornecer uma grande quantidade de informações sobre os objetos que serão perturbados.

O formalismo desenvolvido neste capítulo será estendido para o caso de buracos negros localizados sobre branas no capítulo 7. Serão necessárias algumas adaptações para o novo modelo mas em essência o procedimento será o mesmo.

3.1 Perturbações Escalares

Como se sabe, campos escalares não-massivos não descrevem objetos físicos. Entretanto alguns conceitos básicos sobre a teoria de perturbações de bura-

cos negros podem ser obtidos de perturbações escalares. Uma informação interessante que pode ser obtida da perturbação escalar é sobre a estabilidade do buraco negro. Se um buraco negro é instável quando submetido a uma perturbação escalar ele também será instável quando submetido a uma perturbação gravitacional. Como os cálculos da perturbação escalar são mais simples eles podem dar-nos dicas preciosas sem precisarmos de grande sofisticação matemática.

A evolução de campos escalares em um espaço-tempo 4-dimensional é regida pela equação de Klein-Gordon. Para espaços-tempos esfericamente simétricos essa equação pode ser escrita de uma forma mais generalizada devido ao desacoplamento das coordenadas angulares e as coordenadas radial e temporal. A equação de Klein-Gordon para um campo escalar não-massivo Ψ é

$$\square\Psi(t, r, \theta, \phi) = 0 , \quad (3.1)$$

que escrita explicitamente é dada por

$$\frac{1}{\sqrt{-g}}\partial_i(\sqrt{-g}g^{ij}\partial_j)\Psi = 0 , \quad (3.2)$$

onde $(i, j = 0, \dots, 3)$ e $g = \det g_{ij}$ é o determinante da métrica.

Tomemos uma métrica esfericamente simétrica 4-dimensional dada por

$$ds^2 = -A(r)dt^2 + B(r)dr^2 + r^2d\Omega^2 , \quad (3.3)$$

onde as funções $A(r)$ e $B(r)$ são, a princípio, gerais.

Assim para calcularmos a perturbação, em uma métrica esfericamente simétrica, causada por um campo Ψ , precisamos calcular algumas quantidades relevantes à operação.

O determinante da métrica (3.3) será

$$\det g_{ij} = -A(r)B(r)r^4\sin^2\theta , \quad (3.4)$$

e consequentemente

$$\sqrt{-g} = r^2 \sin\theta \sqrt{A(r)B(r)} . \quad (3.5)$$

Apresentaremos abaixo as derivadas relevantes e não-nulas para os cálculos:

$$\partial_1 \sqrt{-g} = 2r \operatorname{sen}\theta \sqrt{AB} \left(1 + \frac{r}{4} \left[\frac{1}{A} \frac{dA}{dr} + \frac{1}{B} \frac{dB}{dr} \right] \right) , \quad (3.6)$$

$$\frac{1}{\sqrt{-g}} \partial_1 \sqrt{-g} = \frac{2}{r} \left(1 + \frac{r}{4} \frac{d}{dr} [\ln(AB)] \right) , \quad (3.7)$$

$$\partial_2 \sqrt{-g} = \cos\theta r^2 \sqrt{AB} , \quad (3.8)$$

$$\frac{1}{\sqrt{-g}} \partial_2 \sqrt{-g} = \frac{\cos\theta}{\operatorname{sen}\theta} , \quad (3.9)$$

$$\partial_2 g^{11} = -\frac{1}{B^2} \frac{dB}{dr} . \quad (3.10)$$

Devido às simetrias do problema em questão (esférica, sem rotação) a nossa métrica torna-se dependente apenas das coordenadas r e θ o que reduz a equação (3.2) à seguinte

$$\begin{aligned} g^{00} \partial_0^2 \Psi + \frac{1}{\sqrt{g}} (\partial_1 \sqrt{g}) g^{11} \partial_1 \Psi + (\partial_1 g^{11}) \partial_1 \Psi + g^{11} \partial_1^2 \Psi + \\ + g^{22} \partial_2^2 \Psi + \frac{1}{\sqrt{g}} (\partial_2 \sqrt{g}) g^{22} \partial_2 \Psi + g^{33} \partial_3^2 \Psi = 0 . \end{aligned} \quad (3.11)$$

Substituindo as derivadas calculadas na equação (3.11) teremos

$$\begin{aligned} g^{00} \frac{\partial^2 \Psi}{\partial t^2} + \left[\frac{2}{r} + \frac{1}{2A} \frac{dA}{dr} - \frac{1}{2B} \frac{dB}{dr} \right] g^{11} \frac{\partial \Psi}{\partial r} + g^{11} \frac{\partial^2 \Psi}{\partial r^2} + \\ + \frac{1}{r^2} \left[\frac{1}{\operatorname{sen}\theta} \frac{\partial}{\partial \theta} \left(\operatorname{sen}\theta \frac{\partial \Psi}{\partial \theta} \right) + \frac{1}{\operatorname{sen}^2 \theta} \frac{\partial^2 \Psi}{\partial \phi^2} \right] = 0 . \end{aligned} \quad (3.12)$$

Utilizando a seguinte substituição

$$\Psi(t, r, \theta, \phi) = Z(r, t) Y_{lm}(\theta, \phi) , \quad (3.13)$$

onde $Y_{lm}(\theta, \phi)$ são os chamados Harmônicos Esféricos e solução da equação

$$\frac{1}{\operatorname{sen}\theta} \frac{\partial}{\partial \theta} \left(\operatorname{sen}\theta \frac{\partial Y_{lm}}{\partial \theta} \right) + \frac{1}{\operatorname{sen}^2 \theta} \frac{\partial^2 Y_{lm}}{\partial \phi^2} + \ell(\ell+1) Y_{lm} = 0 , \quad (3.14)$$

teremos uma equação diferencial de segunda ordem que depende apenas de r e t dada por

$$\begin{aligned} -\frac{\partial^2 Z}{\partial t^2} + \frac{A}{B} \frac{\partial^2 Z}{\partial r^2} + \left[\frac{2}{r} + \frac{1}{2A} \frac{dA}{dr} - \frac{1}{2B} \frac{dB}{dr} \right] \frac{A}{B} \frac{\partial Z}{\partial r} + \\ = A \left(\frac{\ell(\ell+1)}{r^2} \right) Z . \end{aligned} \quad (3.15)$$

Essa equação diferencial pode ser solucionada numericamente se pudermos escrevê-la em um modo mais agradável. Isso pode ser feito através da substituição da coordenada radial r pela coordenada r_* (ver Apêndice A.4).

Para isso façamos as seguintes substituições

$$Z(r, t) = R(r, t) b(r) , \quad f(r) = \frac{A}{B} , \quad r = r(r_*) , \quad (3.16)$$

na equação(3.15), resultando em

$$\begin{aligned} & - \frac{\partial^2 R}{\partial t^2} b + \left[\frac{2}{r} + \frac{1}{2} \frac{\partial r_*}{\partial r} \frac{\partial}{\partial r_*} (\ln f) \right] f \frac{\partial r_*}{\partial r} \frac{\partial}{\partial r_*} (R b) + \\ & + f \frac{\partial r_*}{\partial r} \frac{\partial}{\partial r_*} \left[\frac{\partial r_*}{\partial r} \frac{\partial}{\partial r_*} (\chi b) \right] = ARb \left[\frac{\ell(\ell+1)}{r^2} \right] . \end{aligned} \quad (3.17)$$

Reescrevendo a equação (3.17) e dividindo-a por $b(r)$ teremos

$$\begin{aligned} & - \frac{\partial^2 R}{\partial t^2} + \frac{f}{b} \dot{r}_* \dot{r}'_* [R' b + b' R] + \frac{f}{b} \dot{r}'_* [R'' b + 2b' R' + b'' R] + \\ & + \left[\frac{2}{r} + \frac{1}{2} \frac{\dot{r}_*}{f} f' \right] \frac{f}{b} \dot{r}_* [R' b + R b'] = AR \left[\frac{\ell(\ell+1)}{r^2} \right] , \end{aligned} \quad (3.18)$$

onde (') e (') representam diferenciação com respeito a r_* e r respectivamente.

Escrevendo a equação (3.18) de modo mais conveniente temos

$$\begin{aligned} & - \frac{\partial^2 R}{\partial t^2} + f \dot{r}_*^2 \frac{\partial^2 R}{\partial r_*^2} + \frac{\partial R}{\partial r_*} \left(f \dot{r}_* \dot{r}'_* + 2f \dot{r}_*^2 \frac{b'}{b} + \left[\frac{2}{r} + \frac{\dot{r}_* f'}{2f} \right] f \dot{r}_* \right) + \\ & + R \left[f \dot{r}_* \dot{r}'_* \frac{b'}{b} + f \dot{r}_*^2 \frac{b''}{b} + \left[\frac{2}{r} + \frac{\dot{r}_* f'}{2f} \right] f \dot{r}_* \frac{b'}{b} \right] = AR \left[\frac{\ell(\ell+1)}{r^2} \right] . \end{aligned} \quad (3.19)$$

Como queremos que equação (3.19) tome a seguinte forma

$$- \frac{\partial^2 R}{\partial t^2}(r, t) + \frac{\partial^2 R}{\partial r_*^2}(r, t) = V_{ef}(r)R(r, t) , \quad (3.20)$$

as seguintes condições devem ser satisfeitas:

$$f(r) \dot{r}_* \dot{r}'_* + 2f(r) \dot{r}_*^2 \frac{b'}{b} + \left[\frac{2}{r} + \frac{\dot{r}_* f'}{2f} \right] f \dot{r}_* = 0 , \quad (3.21)$$

$$f(r) \dot{r}_*^2 = 1 . \quad (3.22)$$

Solucionando a equação (3.22) teremos

$$\dot{r}_* = \frac{1}{\sqrt{f}} \quad \Rightarrow \quad \frac{d}{dr_*} = \sqrt{f} \frac{d}{dr}, \quad (3.23)$$

$$\frac{d}{dr_*} = \sqrt{\frac{A}{B}} \frac{d}{dr}, \quad (3.24)$$

$$r_* = \int \frac{1}{\sqrt{f}} dr. \quad (3.25)$$

Substituindo as equações (3.23) e (3.24) na equação (3.21) encontraremos a função $b(r)$

$$\begin{aligned} \dot{r}'_* + 2\dot{r}_* \frac{b'}{b} + \left[\frac{2}{r} + \frac{\dot{r}_* f'}{2f} \right] &= 0 \\ -\frac{1}{2f} \frac{df}{dr} + \frac{2}{b} \frac{db}{dr} + \frac{2}{r} + \frac{1}{2f} \frac{df}{dr} &= 0 \\ \frac{db}{dr} = -\frac{b}{r} \quad \Rightarrow \quad b(r) &= \frac{1}{r}. \end{aligned} \quad (3.26)$$

Para finalizar, o potencial efetivo será dado por

$$V_{ef}(r) = A(r) \left[\frac{\ell(\ell+1)}{r^2} \right] - V(r), \quad (3.27)$$

onde

$$V(r) = \left[f \dot{r}_* \dot{r}'_* \frac{b'}{b} + f \dot{r}_*^2 \frac{b''}{b} + \left[\frac{2}{r} + \frac{\dot{r}_* f'}{2f} \right] f \dot{r}_* \frac{b'}{b} \right]. \quad (3.28)$$

Substituindo as equações (3.26) e (3.23) na equação (3.28) teremos o potencial $V(r)$

$$\begin{aligned} V(r) &= f \dot{r}_* r \left[\frac{d}{dr} \left(\sqrt{f} \left(-\frac{1}{r^2} \right) \right) + \frac{2}{r} \sqrt{f} \left(-\frac{1}{r^2} \right) \right] \\ V(r) &= f r \left(\frac{1}{\sqrt{f}} \right) \left(-\frac{1}{2r^2 \sqrt{f}} \frac{df}{dr} \right) \\ V(r) &= -\frac{1}{2r} \frac{df}{dr}. \end{aligned} \quad (3.29)$$

Desta forma, nossa equação para a perturbação causada por um campo escalar não-massivo em um espaço-tempo esfericamente simétrico, será reduzida

a uma equação tipo-Schroedinger dependente de t e $r = r(r_*)$ com um potencial efetivo $V_{ef}(r)$ dados por

$$-\frac{\partial^2 R}{\partial t^2}(r, t) + \frac{\partial^2 R}{\partial r_*^2}(r, t) = V_{ef}(r)R(r, t) , \quad (3.30)$$

$$V_{ef}(r) = A(r) \left[\frac{\ell(\ell+1)}{r^2} \right] + \frac{1}{2r} \frac{df}{dr} . \quad (3.31)$$

A função de onda que descreve a evolução do campo escalar nesse espaço-tempo será

$$\Psi(t, r, \theta, \phi) = \sum_{lm} \frac{R(t, r)}{r} Y_{lm}(\theta, \phi) . \quad (3.32)$$

3.2 Perturbações Eletromagnéticas

Um campo de grande interesse a ser estudado é o campo eletromagnético pois ele representa um campo de matéria com algum sentido físico. Quando estivermos estudando o caso de buracos negros na brana a evolução do campo eletromagnético será de grande interesse uma vez que ele permanece confinado na brana. Mas por enquanto nos restringiremos a buracos negros em (3+1) dimensões.

A evolução de um campo de Maxwell eletromagnético sem fonte em um espaço-tempo esfericamente simétrico são regidas pelas equações de Maxwell

$$F_{;j}^{ij} = 0, \quad F_{ij} = A_{j;i} - A_{i;j}, \quad (3.33)$$

onde A_i é potencial vetor associado ao campo.

Para uma métrica esfericamente simétrica dada por

$$ds^2 = -A(r)dt^2 + B(r)dr^2 + r^2d\Omega^2, \quad (3.34)$$

podemos expandir A_i em termos dos harmônicos esféricos vetoriais $(Y_{lm})_i(\theta, \phi)$ (ver [12]):

$$A_i(t, r, \theta, \phi) = \sum_{l,m} \left(\begin{bmatrix} 0 \\ 0 \\ \frac{a^{lm}(t,r)}{\sin\theta} \partial_\phi Y_{lm} \\ -a^{lm}(t,r) \sin\theta \partial_\theta Y_{lm} \end{bmatrix} + \begin{bmatrix} f^{lm}(t,r) Y_{lm} \\ h^{lm}(t,r) Y_{lm} \\ k^{lm}(t,r) \partial_\theta Y_{lm} \\ k^{lm}(t,r) \partial_\phi Y_{lm} \end{bmatrix} \right)$$

onde o primeiro termo à direita tem paridade $(-1)^{\ell+1}$ e o segundo termo tem paridade $(-1)^\ell$, m é o número azimutal e ℓ é o número de momento angular orbital.

Se substituirmos essa expansão acima no tensor F^{ij} teremos como resultado dois conjuntos de equações. Um para a paridade $(-1)^{\ell+1}$ e outro para a paridade $(-1)^\ell$. As componentes não-nulas do tensor F^{ij} de paridade $(-1)^{\ell+1}$ são

$$\begin{aligned} F_{l,m}^{t\phi} &= -\frac{g^{tt}a^{lm},_t Y^{lm},_\theta}{r^2 \sin\theta}; & F_{l,m}^{r\phi} &= -\frac{g^{rr}a^{lm},_r Y^{lm},_\theta}{r^2 \sin\theta}, \\ F_{l,m}^{t\theta} &= \frac{g^{tt}a^{lm},_t Y^{lm},_\phi}{r^2 \sin\theta}; & F_{l,m}^{r\theta} &= \frac{g^{rr}a^{lm},_r Y^{lm},_\phi}{r^2 \sin\theta}, \\ F_{l,m}^{\theta\phi} &= \frac{\ell(\ell+1) a^{lm} Y^{lm}}{r^4 \sin\theta}. \end{aligned}$$

Substituindo as componentes acima na equação (3.33) obteremos uma equação diferencial radial

$$-\frac{1}{A} \frac{\partial^2 a^{lm}}{\partial t^2} + \frac{a^{lm},_r}{2B} (\ln A/B),_r + \frac{a^{lm},_{rr}}{B} - \frac{\ell(\ell+1)}{r^2} a^{lm} = 0, \quad (3.35)$$

e outras equações que serão satisfeitas identicamente ou serão equivalentes à equação (3.35).

Como no caso da perturbação escalar, a equação (3.35) pode ser escrita em uma forma mais compacta se utilizarmos a coordenada tartaruga r_* e fizermos a substituição

$$a^{lm}(t, r) = \mathcal{A}(t, r), \quad f(r) = \frac{A}{B}, \quad \frac{d}{dr_*} = \sqrt{f} \frac{d}{dr}. \quad (3.36)$$

Assim a equação (3.35) pode ser reescrita como

$$-\frac{\partial^2 \mathcal{A}}{\partial t^2} + \frac{\partial^2 \mathcal{A}}{\partial r_*^2} = V_{eletrô}(r) \mathcal{A} \quad (3.37)$$

onde

$$V_{eletrô}(r) = A(r) \frac{\ell(\ell+1)}{r^2}. \quad (3.38)$$

Essa será nossa equação para componente axial da perturbação eletromagnética sobre um espaço-tempo esfericamente simétrico.

De modo semelhante as componentes não-nulas do tensor F^{ij} de paridade $(-1)^\ell$ são

$$\begin{aligned} F_{l,m}^{r\theta} &= g^{rr} (k^{lm},_r - h^{lm}) \frac{Y^{lm},_\theta}{r^2}; & F_{l,m}^{r\phi} &= g^{rr} (k^{lm},_r - h^{lm}) \frac{Y^{lm},_\phi}{r^2 \sin\theta} \\ F_{l,m}^{tr} &= g^{tt} g^{rr} (h^{lm},_t - f^{lm},_r) Y^{lm}, & F_{l,m}^{t\theta} &= g^{tt} (k^{lm},_t - f^{lm}) \frac{Y^{lm},_\theta}{r^2}, \\ F_{l,m}^{t\phi} &= g^{tt} (k^{lm},_t - f^{lm}) \frac{Y^{lm},_\phi}{r^2 \sin\theta}. \end{aligned}$$

Substituindo essas componentes na equação (3.33) obtemos um conjunto de

equações diferenciais radiais dados por

$$g^{rr}[r^2(f^{lm},_r - h^{lm},_t)],_r + \ell(\ell + 1)(f^{lm} - k^{lm},_t) + \\ + \frac{(f^{lm},_r - h^{lm},_t)}{2}g^{rr}r^2[(\ln AB),_r] = 0 \quad (3.39)$$

$$[(h^{lm} - k^{lm},_r)g^{rr}],_r - (k^{lm},_t - f^{lm}),_t g^{tt} - \\ - \frac{1}{2}(\ln AB),_r g^{rr}(k^{lm},_r - h^{lm}) = 0 \quad (3.40)$$

$$\frac{1}{A}(h^{lm},_t - f^{lm},_r),_t - \frac{\ell(\ell + 1)}{r^2}(k^{lm},_r - h^{lm}) = 0 \quad (3.41)$$

e o restante das equações ou são identicamente satisfeitas ou são equivalentes ao conjunto acima.

Essas são as três equações da componente polar da perturbação eletromagnética.

No caso da métrica (3.34) ser a métrica de Schwarzschild, ou seja, $A = \frac{1}{B}$ as equações (3.39), (3.40) e (3.41) se desacoplam, após uma substituição conveniente, e se reduzem a uma única equação que possuirá a mesma forma da equação (3.35). No caso mais geral ainda não sabemos se é possível esse desacoplamento das equações.

3.3 Perturbações Gravitacionais

As perturbações gravitacionais de fato, são o caso mais interessante a ser estudado, principalmente no que se refere à estabilidade de soluções das equações de Einstein. Ao contrário das perturbações escalares e eletromagnéticas, perturbações gravitacionais, afetam levemente a métrica fundo.

A evolução de campos gravitacionais em um espaço-tempo esfericamente simétrico é governada pelas equações de Einstein. A perturbação causada por campos gravitacionais pode ser dividida em axiais e polares devido à simetria esférica do problema. Essa nomenclatura deve-se ao modo como elas se transformam sobre uma inversão espacial em ϕ e foi introduzida por Chandrasekhar em 1983 [6].

Perturbações *axiais*, se transformam como $(-1)^{\ell+1}$ e induz um efeito de rotação no buraco negro.

Perturbações *polares*, se transformam como $(-1)^\ell$ e como independem do sinal da coordenada ϕ não induzem rotação.

Nesse trabalho trataremos apenas das perturbações axiais e consideraremos perturbações em 1^a ordem na métrica \check{g}_{ij} . Como realizado para a perturbação escalar, calcularemos a perturbação para uma métrica esfericamente simétrica tão geral quanto possível e depois especificaremos caso a caso.

Nossa métrica esfericamente simétrica é dada por

$$ds^2 = -A(r)dt^2 + B(r)dr^2 + r^2d\Omega^2 , \quad (3.42)$$

com $A(r)$ e $B(r)$ sendo duas funções em princípio arbitrárias.

As equações de Einstein 4-dimensionais para o vácuo, ou seja, o exterior de uma estrela ou buraco negro, serão

$$\begin{aligned} \check{R}_{ij} - \frac{1}{2}\check{g}_{ij} \check{R} &= \check{T}_{ij} , \\ \check{R}_{ij} - \frac{1}{2}\check{g}_{ij} \check{R} &= 0 . \end{aligned} \quad (3.43)$$

A notação ($\check{\cdot}$) indica que o objeto será calculado com respeito à métrica fundo \check{g}_{ij} , ou seja, o objeto não é perturbado.

O escalar de Ricci será obtido quando contraímos o tensor de Ricci \check{R}_{ij} com \check{g}^{ij} . Entretanto ele também pode ser calculado quando contraímos a equação (3.43) com a métrica. No caso do espaço-tempo vazio, o escalar de

Ricci será

$$\begin{aligned} \check{g}^{ij} \check{R}_{ij} - \frac{1}{2} \check{g}^{ij} \check{g}_{ij} \check{R} &= 0, \\ \check{R} - \frac{1}{2} \delta_i^i \check{R} &= 0, \\ \check{R} &= 0. \end{aligned} \quad (3.44)$$

Conseqüentemente nossa equação (3.43) se reduz a

$$\check{R}_{ij} = 0. \quad (3.45)$$

A equação (3.45) será a equação que perturbaremos.

Quando estivermos estudando o caso de buracos negros na brana nossa equação de Einstein será um pouco diferente devido à influência do *bulk*.

Para uma perturbação em 1^a ordem a nova métrica pode ser escrita como

$$q_{ij} = \check{g}_{ij} + h_{ij}, \quad q^{ij} = \check{g}^{ij} - h^{ij}, \quad q_{ib} q^{bj} = \delta_i^j + \mathcal{O}(h^2), \quad (3.46)$$

onde $h_{ij} \ll \check{g}_{ij}$. Como essa perturbação é pequena os termos de 2^a ordem, $\mathcal{O}(h^2)$, podem ser desprezados por serem muito menores que a perturbação. As derivadas covariantes das quantidades perturbadas serão efetuadas com os símbolos de Christoffel $\check{\Gamma}_{ij}^a$ não perturbados. Entretanto para calcular o tensor de Ricci perturbado precisaremos dos símbolos de Christoffel perturbados Γ_{ij}^a .

Os símbolos de Christoffel perturbados são dados por

$$\Gamma_{ij}^a = \frac{1}{2} q^{ab} (q_{bi,j} + q_{bj,i} - q_{ij,b}) = \check{\Gamma}_{ij}^a + \delta \Gamma_{ij}^a + \mathcal{O}(h^2), \quad (3.47)$$

onde o termo $\delta \Gamma_{ij}^a$ pode ser escrito da seguinte maneira

$$\delta \Gamma_{ij}^a = \frac{1}{2} \check{g}^{ab} (h_{bi;j} + h_{bj;i} - h_{ij;b}). \quad (3.48)$$

O tensor de Ricci perturbado é dado pelas equações

$$\delta R_{ij} = \delta \Gamma_{ia;j}^a - \delta \Gamma_{ij;a}^a. \quad (3.49)$$

Assim, substituindo a nova métrica q_{ij} na equação (3.45), e identificando-a com o tensor de Ricci perturbado teremos as equações de campo perturbadas

para o vácuo como sendo

$$\begin{aligned}
R_{ij} &= \check{R}_{ij} + \delta R_{ij} = 0 , \\
\delta R_{ij} &= \delta \Gamma_{ia;j}^a - \delta \Gamma_{ij;a}^a = 0 , \\
\delta R_{ij} &= 0 . \tag{3.50}
\end{aligned}$$

Essa é a equação que governa a propagação de campos gravitacionais no vácuo de um espaço-tempo esfericamente simétrico.

No contexto da Relatividade Geral a única solução da equações de Einstein que satisfaz as condições de um espaço-tempo estático, vazio e esfericamente simétrico é a solução de Schwarzschild. Entretanto, no contexto de branas, a influência do *bulk* adicionando um termo de “matéria” no tensor momento-energia T_{ij} , permite uma classe de soluções estáticas, vazias e esfericamente simétricas. Tomaremos mais adiante a métrica de Schwarzschild como exemplo para explicitarmos as equações que governam a propagação de campos gravitacionais neste espaço-tempo. Neste trabalho restringiremos nossa atenção à componente axial das perturbações gravitacionais. Para o caso de Schwarzschild, por exemplo, as perturbações gravitacionais polares são bem explicadas e desenvolvidas em [6, 9].

Perturbações gravitacionais axiais

O cálculo de perturbações gravitacionais é um assunto que já foi amplamente estudado no contexto da Relatividade Geral. Entretanto para os nossos propósitos dois formalismos são de interesse. O primeiro deles foi desenvolvido por Regge e Wheeler [4] e o segundo por Chandrasekhar [6].

Para o nosso cálculo das perturbações gravitacionais axiais em uma métrica dada pela equação (3.42), utilizaremos o método desenvolvido por Regge e Wheeler.

Como a simetria do nosso problema é esférica podemos decompor o nosso tensor h_{ij} em uma parte angular, em termos de harmônicos esféricos tensoriais (ver Apêndices A.2 e A.3), e uma parte dependente das coordenadas r e t .

Utilizando os resultados do trabalho Regge e Wheeler podemos ver que a componente axial da perturbação gravitacional para a métrica em estudo

é dada por

$$\begin{bmatrix} 0 & 0 & -\frac{h_0(t,r)}{\sin\theta} \frac{\partial Y_{lm}}{\partial\phi} & h_0(t,r) \sin\theta \frac{\partial Y_{lm}}{\partial\theta} \\ 0 & 0 & -\frac{h_1(t,r)}{\sin\theta} \frac{\partial Y_{lm}}{\partial\phi} & h_1(t,r) \sin\theta \frac{\partial Y_{lm}}{\partial\theta} \\ sim & sim & h_2(t,r) \left[\frac{1}{\sin\theta} \frac{\partial^2}{\partial\theta\partial\phi} - \frac{\cos\theta}{\sin^2\theta} \frac{\partial}{\partial\phi} \right] Y_{lm} & sim \\ sim & sim & \frac{1}{2} h_2(t,r) \left[\frac{1}{\sin\theta} \frac{\partial^2}{\partial\phi\partial\phi} + \cos\theta \frac{\partial}{\partial\theta} - \sin\theta \frac{\partial^2}{\partial\theta\partial\theta} \right] Y_{lm} - h_2(t,r) \left[\sin\theta \frac{\partial^2}{\partial\theta\partial\phi} - \cos\theta \frac{\partial}{\partial\phi} \right] Y_{lm} \end{bmatrix}.$$

Trabalharemos com a condição de $m = 0$ pois qualquer que seja o valor de m e l teremos a mesma equação radial. A vantagem de usarmos $m = 0$ é eliminarmos a coordenada ϕ dos cálculos das perturbações.

Isso se dá pois

$$L_z Y_{lm}(\theta, \phi) = m Y_{lm}(\theta, \phi) \implies \frac{\partial Y}{\partial\phi}(\theta, \phi) = 0. \quad (3.51)$$

O nosso tensor h_{ij} ainda é um tanto quanto complicado. Portanto para simplificá-lo um pouco utilizaremos o gauge de Regge-Wheeler para perturbações axiais.

Para isso faremos um deslocamento infinitesimal na coordenada x^a tal que

$$x'^a = x^a + \xi^a, \quad (\xi^a \ll x^a) \quad (3.52)$$

onde ξ^a se transforma como um vetor.

O nosso novo tensor perturbação h_{ij}^{novo} será dado por

$$h_{ij}^{novo} = h_{ij} + \xi_{i;j} + \xi_{j;i}. \quad (3.53)$$

Desta forma o gauge de Regge-Wheeler que simplifica nossa perturbação axial para l e m arbitrários será

$$\xi^0 = 0, \quad \xi^1 = 0, \quad \xi^i = \Lambda(r, t) \epsilon^{ij} \frac{\partial}{\partial x^j} Y_{lm}(\theta, \phi), \quad (i, j = 3, 4). \quad (3.54)$$

Substituindo o gauge (3.54) na equação (3.53), adotando uma dependência temporal harmônica $e^{-i\omega t}$ e fazendo $m = 0$ sem perda de generalidade, nosso tensor resultante para perturbações axiais será

$$h_{ij}^{axiais} = \begin{bmatrix} 0 & 0 & 0 & h_0(r) \\ 0 & 0 & 0 & h_1(r) \\ 0 & 0 & 0 & 0 \\ sim & sim & 0 & 0 \end{bmatrix} \times e^{-i\omega t} \sin\theta \frac{\partial}{\partial\theta} P_l(\cos\theta).$$

Substituindo o tensor h_{ij}^{axiais} , na equação (3.50), teremos como resultado três equações acopladas. Nós utilizaremos o resultado obtido por Edelstein

e Vishveshwara [9], pela generalidade por eles adotada e porque as equações obtidas por Regge e Wheeler não satisfaziam as equações de Einstein.

Assim as componentes não-nulas da equação (3.50) são

$$\begin{aligned}\delta R_{\theta\phi} &= -\frac{1}{2} \left(i\omega \frac{h_0}{A} + B \left[\frac{1}{2} \frac{d}{dr} (\ln(A/B)) h_1 + \frac{dh_1}{dr} \right] \right) \\ &\times \left(\cos\theta \frac{d}{d\theta} - \sin\theta \frac{d^2}{d\theta^2} \right) P_l(\cos\theta) e^{-i\omega t} = 0;\end{aligned}\quad (3.55)$$

$$\begin{aligned}\delta R_{r\phi} &= \frac{1}{2} \left\{ \left[\frac{\ell(\ell+1)}{r^2} - \frac{\omega^2}{A} + \frac{1}{Br} \left(\frac{d}{dr} (\ln(B/A)) - \frac{2}{r} \right) \right] h_1 \right. \\ &\left. + \frac{i\omega}{A} \left(\frac{dh_0}{dr} - \frac{2h_0}{r} \right) \right\} \times \sin\theta \frac{dP_l}{d\theta}(\cos\theta) e^{-i\omega t} = 0;\end{aligned}\quad (3.56)$$

$$\begin{aligned}\delta R_{t\phi} &= - \left\{ \frac{1}{2B} \frac{d^2 h_0}{dr^2} + i\omega \left[\frac{1}{2B} \frac{dh_1}{dr} + \frac{h_1}{Br} - \frac{1}{4B} \frac{d}{dr} (\ln(AB)) h_1 \right] \right. \\ &- \left. \frac{1}{4B} \frac{d}{dr} (\ln(AB)) h_1 \frac{dh_0}{dr} + \left(\frac{1}{Br} \frac{d}{dr} (\ln(A)) - \frac{\ell(\ell+1)}{2r^2} \right) h_0 \right\} \\ &\times \sin\theta \frac{dP_l}{d\theta}(\cos\theta) e^{-i\omega t} = 0.\end{aligned}\quad (3.57)$$

Essas equações podem ser simplificadas se levarmos em conta as propriedades dos Polinômios de Legendre $P_l(\cos\theta)$, ou seja, se analisarmos os índices de multipolo l .

Para $l = 0$ temos que $P_0 = 1$ e por consequência, a parte angular das três equações acima são identicamente nulas.

Para $l = 1$ temos que $P_1 = -\sin\theta$. Nesse caso a equação $\delta R_{\theta\phi}$ é identicamente nula.

Como esses índices de multipolo $l = 0, 1$ são menores que o valor do spin da perturbação $s = 2$ eles não são modos dinâmicos, ou seja, eles não evoluem no tempo. Eles correspondem a quantidades conservadas.

Uma perturbação gravitacional com índice $l = 0$ descreve uma mudança na massa do buraco negro. Já uma perturbação com índice $l = 1$ corresponde a um deslocamento além de gerar um pequeno incremento de momento angular, fazendo o buraco negro girar.

Nosso interesse se concentra naqueles índices de multipolo que são capazes de se propagar por um intervalo de tempo suficientemente grande de

modo que possamos medir tal onda com nossos detectores. Portanto apenas multipolos com $l \geq 2$ são relevantes.

Para $l \geq 2$ temos $P_{l \geq 2} \neq 0$. Desta forma os fatores entre chaves nas equações devem se anular para que elas sejam satisfeitas, resultando em três equações radiais.

A parte radial da equação $\delta R_{t\phi} = 0$ pode ser escrita como uma combinação das outras duas equações se a seguinte condição for satisfeita

$$\begin{aligned} \frac{d^2}{dr^2} \left(\ln \frac{A}{B} \right) + \frac{1}{2} \left(\frac{d}{dr} \left(\ln \frac{A}{B} \right) \right)^2 - \frac{1}{2} \left[\left(\frac{d}{dr} \ln A \right)^2 - \left(\frac{d}{dr} \ln B \right)^2 \right] + \\ + \frac{1}{r} \left(\frac{d}{dr} (\ln A - 3 \ln B) \right) = 0. \end{aligned} \quad (3.58)$$

Se a equação (3.58) for satisfeita poderemos eliminar h_0 das equações de 1^a ordem e obter uma única equação radial de 2^a ordem

$$\begin{aligned} \frac{d^2 h_1}{dr^2} + \left[\frac{3}{2} \frac{d}{dr} \left(\ln \frac{A}{B} \right) - \frac{2}{r} \right] \frac{dh_1}{dr} + \left[\frac{1}{2} \frac{d^2}{dr^2} \left(\ln \frac{A}{B} \right) + \frac{1}{2} \left(\frac{d}{dr} \left(\ln \frac{A}{B} \right) \right)^2 \right. \\ \left. - B \frac{\ell(\ell+1)}{r^2} + \omega^2 \frac{B}{A} + \frac{2}{r^2} \right] h_1 = 0. \end{aligned} \quad (3.59)$$

Caso contrário teremos duas equações de 2^a ordem acopladas que devem ser resolvidas para h_0 e h_1 .

Neste momento é necessário que especifiquemos nossa métrica para prosseguir no desenvolvimento dos cálculos. Como a métrica de Schwarzschild satisfaz a equação (3.58) tomemo-a como exemplo.

A métrica de Schwarzschild é dada por

$$ds^2 = -A(r)dt^2 + B(r)dr^2 + r^2d\Omega^2, \quad (3.60)$$

onde

$$A(r) = \left(1 - \frac{2M}{r} \right), \quad B(r) = \frac{1}{\left(1 - \frac{2M}{r} \right)}. \quad (3.61)$$

Se definirmos

$$Q(r) = \left(1 - \frac{2M}{r} \right) \frac{h_1}{r}, \quad (3.62)$$

e a coordenada tartaruga como

$$dr^* = \frac{1}{\left(1 - \frac{2M}{r} \right)} dr \quad \Rightarrow \quad \frac{d}{dr^*} = \left(1 - \frac{2M}{r} \right) \frac{d}{dr}, \quad (3.63)$$

e substituirmos na equação (3.59) juntamente com os valores de $A(r)$ e $B(r)$ obteremos uma equação tipo-Schroedinger dada por

$$\frac{d^2Q}{dr^*} + (\omega^2 - V_{eff}^{axial}) Q = 0 , \quad (3.64)$$

onde

$$V_{eff}^{axial} = \left(1 - \frac{2M}{r}\right) \frac{\ell(\ell+1)}{r^2} - \frac{3}{r} \frac{d}{dr^*} \left(1 - \frac{2M}{r}\right) . \quad (3.65)$$

Essa é nossa equação para perturbação gravitacional axial para o buraco negro de Schwarzschild. Essa equação também é conhecida como *equação de Regge-Wheeler*.

Capítulo 4

Estabilidade e Modos Quasi-Normais de um Buraco Negro

As surpresas de uma viagem tornam-na mais emocionante. Entretanto não podemos correr o risco de cruzar uma ponte e a mesma cair. Não podemos continuar nossa jornada sem saber se nossa ponte é estável, segura. Que características da ponte podem nos dizer sobre sua estabilidade? Suas cordas? Seu piso?

4.1 Estabilidade

Como foi visto no capítulo anterior, a evolução de campos no exterior de um buraco negro causa perturbações no espaço-tempo. Portanto podemos nos perguntar como essas perturbações afetam o próprio buraco negro.

Assim uma pergunta merece atenção. Buracos negros são estáveis, quando submetidos a algum tipo de perturbação?

Para responder tal pergunta é necessário saber se soluções da equações de Einstein tipo buraco negro são estáveis, ou seja, se eles existem realmente e podem ser perturbados.

O início desses estudos sobre estabilidade de buracos negros remontam ao ano de 1957 com o trabalho de Regge e Wheeler sobre a estabilidade da singularidade de Schwarzschild [4].

Neste trabalho Regge e Wheeler analisaram se, perturbações gravitacionais sobre o buraco negro de Schwarzschild, crescam exponencialmente com o tempo. Isso não foi observado do que eles concluíram que o buraco negro de Schwarzschild era estável sobre aquele tipo de perturbação. Quando estiver-

mos estudando buracos negros sobre a brana, utilizaremos o mesmo critério de estabilidade, ou seja, estudaremos se as perturbações crescem exponencialmente no tempo. Mas por enquanto voltemos nossa atenção ao caso de buracos negros em (3+1) dimensões.

Como estudado anteriormente, quase todas as equações que governam a evolução de campos no exterior de um buraco negro esfericamente simétrico podem ser escritas na forma de uma equação diferencial de 2^a ordem do tipo-Schroedinger quando assumimos uma dependência temporal do tipo $e^{-i\omega t}$. Desta dependência temporal podemos ver que se ω é puramente imaginário ($\omega = i\alpha$), a exponencial $e^{+\alpha t}$ cresce com o tempo causando a instabilidade. Nessa descrição o estudo das perturbações de um buraco negro é análogo ao estudo do problema de propagação de onda em uma barreira de potencial em mecânica quântica.

Quando tratamos as equações de perturbação dessa maneira o termo ω^2 faz o papel da energia da onda na equação de Schroedinger. A quantidade resultante de $(\omega^2 - V(r))$ pode ser interpretada como o potencial efetivo.

Assim nossa atenção se reduz ao estudo da equação

$$\frac{d^2Q}{dr^*} + (\omega^2 - V(r)) Q = 0. \quad (4.1)$$

sobre um dado potencial $V(r)$, que depende do tipo da perturbação realizada sobre o buraco negro, com condições de contorno apropriadas. Portanto a forma do potencial $V(r)$ tem papel decisivo na estabilidade do buraco negro. Tomemos o caso do buraco negro de Schwarzschild novamente como exemplo. Para perturbações gravitacionais axiais, o potencial $V(r)$ é dado por

$$V(r) = \left(1 - \frac{2M}{r}\right) \left[\frac{\ell(\ell+1)}{r^2} - \frac{6M}{r^3} \right], \quad (4.2)$$

e o comportamento da solução geral é dado por [4]

$$Q \sim c_1 e^{i\delta} \left(\frac{r}{2M} - 1\right)^{2i\omega M} + c_1 e^{-i\delta} \left(\frac{r}{2M} - 1\right)^{-2i\omega M} \quad r \rightarrow 2M, \quad (4.3)$$

$$Q \sim c_2 \operatorname{sen}(\omega r + \eta) \quad r \rightarrow \infty. \quad (4.4)$$

Investigando o comportamento do potencial $V(r)$ podemos ver que ele é igual a zero sobre o raio de Schwarzschild cresce até um máximo em ($r = 3M$) e então cai a zero novamente para grandes valores de r . Em outras palavras ele é um potencial positivo definido, ou seja, em nenhum momento ao longo do intervalo estabelecido $r \in (2M, \infty)$, o valor do potencial muda de sinal. Esse comportamento divide a nossa região de estudo em 3 regimes diferentes.

No regime 1, onde $\omega^2 > V(r)$, a solução é oscilatória em todo o espaço, ou seja, temos uma onda gravitacional se propagando livremente.

No regime 2, $\omega^2 < V(r)$, ou seja, ω^2 é ainda positivo, mas menor que a altura da barreira. Nesse regime temos duas condições diferentes onde as ondas gravitacionais podem diminuir ou crescer exponencialmente na região da barreira.

A condição 2a corresponde a ondas gravitacionais que nunca escapam para grandes valores de r , ou seja, elas passam pela barreira mas decaem rapidamente com o aumento de r .

A condição 2b corresponde a ondas gravitacionais que atravessam a barreira e emergem maiores do lado de fora da barreira. Estas duas soluções são como no caso do regime 1, ou seja, são ondas gravitacionais que se propagam livremente.

O regime 3 será quando $\omega^2 < 0$. Neste regime se ω for puramente imaginário teremos instabilidades. A solução aceitável que cai a zero para grandes valores de r , também cai a zero em $r = 2M$. Portanto não há possibilidade de colá-la suavemente a uma solução “na outra metade da barreira de potencial”. Assim podemos concluir que não existe solução instável para ondas geradas pelas perturbações gravitacionais axiais, ou seja, o buraco negro de Schwarzschild é estável sobre perturbações gravitacionais axiais.

De modo um pouco mais rigoroso podemos estabelecer um critério de estabilidade através de uma integral tipo-energia. Para um buraco negro com simetria esférica e componentes g_{tt} e g_{rr} dependentes apenas da coordenada radial r podemos utilizar a equação (3.30). Tomemos a derivada temporal do complexo conjugado da função de onda $\partial_t \bar{R}$, multipliquemos pela equação (3.30) e somemos a equação resultante ao complexo conjugado dessa equação. Teremos então

$$\frac{\partial \bar{R}}{\partial t} \left(-\frac{\partial^2 R}{\partial t^2} + \frac{\partial^2 R}{\partial r_*^2} - V R \right) + \frac{\partial R}{\partial t} \left(-\frac{\partial^2 \bar{R}}{\partial t^2} + \frac{\partial^2 \bar{R}}{\partial r_*^2} - V \bar{R} \right) = 0 . \quad (4.5)$$

Usaremos então as seguintes relações:

$$\frac{\partial}{\partial t} \left| \frac{\partial R}{\partial t} \right|^2 = \frac{\partial R}{\partial t} \frac{\partial^2 \bar{R}}{\partial t^2} + \frac{\partial \bar{R}}{\partial t} \frac{\partial^2 R}{\partial t^2}; \quad (4.6)$$

$$\frac{\partial}{\partial t} |R|^2 = \frac{\partial \bar{R}}{\partial t} R + \frac{\partial R}{\partial t} \bar{R}; \quad (4.7)$$

$$\frac{\partial}{\partial t} \left| \frac{\partial R}{\partial r_*} \right|^2 = \frac{\partial R}{\partial r_*} \frac{\partial^2 \bar{R}}{\partial t \partial r_*} + \frac{\partial \bar{R}}{\partial r_*} \frac{\partial^2 R}{\partial t \partial r_*}; \quad (4.8)$$

$$\frac{\partial}{\partial r_*} \left(\frac{\partial \bar{R}}{\partial t} \frac{\partial R}{\partial r_*} \right) = \frac{\partial R}{\partial r_*} \frac{\partial^2 \bar{R}}{\partial t \partial r_*} + \frac{\partial \bar{R}}{\partial t} \frac{\partial^2 R}{\partial r_*^2}; \quad (4.9)$$

$$\frac{\partial}{\partial r_*} \left(\frac{\partial R}{\partial t} \frac{\partial \bar{R}}{\partial r_*} \right) = \frac{\partial \bar{R}}{\partial r_*} \frac{\partial^2 R}{\partial t \partial r_*} + \frac{\partial R}{\partial t} \frac{\partial^2 \bar{R}}{\partial r_*^2}. \quad (4.10)$$

Relacionando as equações acima e substituindo na equação (4.5), teremos

$$-\frac{\partial}{\partial t} \left\{ \left| \frac{\partial R}{\partial t} \right|^2 + \left| \frac{\partial R}{\partial r_*} \right|^2 + V|R|^2 \right\} = -\frac{\partial}{\partial r_*} \left(\frac{\partial R}{\partial t} \frac{\partial \bar{R}}{\partial r_*} + \frac{\partial \bar{R}}{\partial t} \frac{\partial R}{\partial r_*} \right). \quad (4.11)$$

Se integrarmos a equação (4.11) em relação a r_* sobre o intervalo de $-\infty$ a $+\infty$ o termo a direita da equação será nulo e assim teremos a seguinte condição

$$\begin{aligned} \frac{\partial}{\partial t} \left[\int_{-\infty}^{+\infty} \left(\left| \frac{\partial R}{\partial t} \right|^2 + \left| \frac{\partial R}{\partial r_*} \right|^2 + V|R|^2 \right) dr_* \right] &= 0, \\ \int_{-\infty}^{+\infty} \left(\left| \frac{\partial R}{\partial t} \right|^2 + \left| \frac{\partial R}{\partial r_*} \right|^2 + V|R|^2 \right) dr_* &= C_1. \end{aligned} \quad (4.12)$$

Como queremos uma condição de estabilidade, precisamos que a constante C_1 seja positiva e finita.

Se observarmos a equação (4.12) podemos ver que os termos $|R|^2$ e $|\frac{\partial R}{\partial r_*}|^2$ são limitados e positivos. Conseqüentemente se quisermos que C_1 seja positiva e finita devemos avaliar o comportamento do potencial V .

Se V for positivo definido, o termo $|\frac{\partial R}{\partial t}|^2$ deve ser positivo e finito para que C_1 também o seja, o que acaba excluindo todas as soluções de $R(t, r)$ que crescem exponencialmente com o tempo. Conseqüentemente o sistema será estável. Se o potencial V apresentar alguma região onde ele possa assumir valores negativos nada podemos dizer a respeito da estabilidade do sistema pois a constante C_1 pode assumir qualquer valor.

Por exemplo, se assumirmos uma dependência temporal $e^{-i\omega t}$ teremos

$$R(r, t) = R(r)e^{-i\omega t}, \quad (4.13)$$

$$\left| \frac{\partial R}{\partial t} \right|^2 = \frac{\partial R}{\partial t} \frac{\partial \bar{R}}{\partial t} = (-i\omega)(i\omega)|R(r)|^2 = \omega^2|R(r)|^2. \quad (4.14)$$

$$(4.15)$$

Sendo V positivo definido, ω^2 deve ser positivo para que C_1 seja positiva e limitada. Se $\omega = i\alpha$ fosse puramente imaginário $\omega^2 = -\alpha^2$ seria negativo o que faria com que não pudessemos garantir que C_1 fosse positiva e limitada. Neste caso a solução cresce exponencialmente com o tempo $e^{\alpha t}$.

4.2 Modos quasi-normais

Em nossa busca, por uma confirmação experimental da existência de buracos negros em nosso Universo, o estudo dos modos quasi-normais tem um papel fundamental.

Esse estudo surge como uma ferramenta extremamente útil para dar base teórica à análise de ondas gravitacionais uma vez que as freqüências quasi-normais de oscilação de um buraco negro estão contidas em tais ondas.

Como os modos quasi-normais estão intimamente ligados a propriedades tais como, a carga Q , a massa M e o momento angular L do buraco negro, eles podem ser utilizados para identificar se um buraco negro tem rotação ou se está eletricamente carregado.

Os modos quasi-normais de oscilação possuem esse nome pois diferentemente dos modos normais eles não são estacionários e possuem duração limitada. A parte imaginária da freqüência quasi-normal amortece a oscilação limitando-a no tempo.

Formalmente falando, modos quasi-normais são definidos como soluções das equações de perturbações, que possuem freqüências características complexas e satisfazem condições de contorno específicas. Ver Nollert [3], Kokkotas [29] e Cardoso [30] para maiores detalhes.

Esse comportamento de amortecimento é um tanto quanto estranho uma vez que não existe nenhum material nem dentro nem fora do buraco negro capaz de causar tal amortecimento.

O formalismo utilizado no estudo de modos-normais para sistemas oscilatórios será então aplicado ao estudo dos modos quasi-normais para observarmos em que condições tal estranho comportamento é observado.

Na análise de modos normais de um sistema oscilatório, geralmente temos um sistema de equações diferenciais ordinárias com condições de contorno

para que o efeito da oscilação se anule fora de uma região finita do espaço. No nosso caso teremos a equação diferencial

$$\frac{d^2Q}{dr^*} + (\omega^2 - V(r)) Q = 0, \quad (4.16)$$

governando nossas perturbações. Entretanto, perturbações em buracos negros geram ondas gravitacionais que se propagam por todo espaço impedindo-nos de impor um condição de modo que ela se anule fora de uma região finita.

Portanto, devido ao caráter especial dos buracos negros, imporemos as seguintes condições de contorno:

- nada sai do infinito espacial.
- nada sai do horizonte de eventos do buraco negro.

Essas condições geram soluções conhecidas como puramente emergentes (*outgoing solutions*). Dizendo de outra maneira queremos ter apenas ondas gravitacionais, entrando no horizonte de eventos, e entrando no infinito espacial. Essas exigências fazem sentido pois queremos estudar a resposta da métrica fora do buraco negro e não queremos que nenhuma onda gravitacional vinda do infinito continue a perturbar o buraco negro.

Devemos por isso avaliar o comportamento da nossa equação (4.16) nos limites quando $r_* \rightarrow \pm\infty$ para obtermos o comportamento da nossa solução sobre os contornos do problema.

Novamente, de acordo com a forma do potencial $V(r)$, nossas condições gerarão soluções distintas.

Se aplicarmos tais condições para a equação que governa a perturbação gravitacional axial de Schwarzschild que pode ser representada pela equação (4.16) e o potencial $V(r)$ dado pela equação (4.2) teremos que

$$Q(\omega, r_*) \sim e^{i\omega r_*} \quad \text{quando } r_* \rightarrow -\infty, \quad (4.17)$$

$$Q(\omega, r_*) \sim e^{-i\omega r_*} \quad \text{quando } r_* \rightarrow +\infty. \quad (4.18)$$

Sob essas condições as perturbações do buraco negro de Schwarzschild adquirem o comportamento agora não tão estranho descrito acima que caracterizam os modos quasi-normais.

A maioria dos estudos desenvolvidos nesta área se utiliza de soluções numéricas para a equação (4.16). Ching, *et al* [20] obtiveram algumas soluções analíticas para comportamentos assintóticos. Recentemente Fiziev [21] obteve uma solução analítica para a equação de Regge-Wheeler com o uso das funções de Heun.

Neste trabalho nós utilizaremos do cálculo numérico para obter a solução da equação (4.16) para os buracos negros estudados.

O estudo de modos quasi-normais tem se mostrado muito útil também no estudo de propriedades quânticas e termodinâmicas de buracos negros tais como a temperatura Hawking [25] e área quântica mínima [26, 51] do buraco negro.

Estudos de perturbações de sistemas com constante cosmológica [49, 50] e com carga [52] têm mostrado a existência de modos quasi-normais de oscilação.

Em um trabalho recente Maartens [19] propõem a utilização de modos quasi-normais como uma ferramenta na detecção de dimensões extras. Neste trabalho é realizada uma espectroscopia da onda gravitacional emitida por uma corda negra “black string” onde é possível identificar os modos massivos do gráviton com os picos obtidos, gerando assim um mecanismo capaz de identificar uma “impressão digital” da dimensão extra.

Capítulo 5

Termodinâmica de Buracos Negros

Após a travessia da ponte, façamos uma merecida parada para observar a paisagem e aquecer um café.

A possível relação existente entre a mecânica de buracos negros e a termodinâmica ordinária surgiu na verdade de uma possível violação da termodinâmica por processos físicos envolvendo buracos negros.

5.1 Leis da Termodinâmica de Buracos Negros

Wheeler notou que a existência de buracos negros na teoria clássica da gravitação contradizia a segunda lei da termodinâmica que diz que a entropia de um sistema isolado nunca pode diminuir qualquer que seja o processo físico envolvido.

Imaginemos, por exemplo, um buraco negro que acaba de absorver um corpo quente que possui uma certa quantidade de entropia. Um observador localizado no infinito nos dirá que a entropia total, do mundo acessível à observação dele diminuiu, uma vez que nenhuma informação sobre a entropia do corpo absorvido escapa do buraco negro.

Outro problema que surgia da teoria clássica da gravitação era que a temperatura de um buraco negro era zero absoluto. Esse fato descartava qualquer possível relação entre uma temperatura física e algum parâmetro do buraco negro.

Portanto utilizando apenas argumentos clássicos a relação entre a mecânica de buracos negros e a termodinâmica ordinária tornava-se inviável. Foi

necessário então, a ajuda de mecanismos quânticos tais como efeito termal de criação de partículas originado do estudo de propagação de campos quânticos no exterior de buracos negros e reformulações mais precisas das leis da termodinâmica para consolidar-se de forma mais rigorosa a relação entre essas duas áreas.

Em 1973, Bekenstein [13] foi o primeiro a perceber uma relação entre leis satisfeitas por buracos negros e a termodinâmica ordinária. Ele notou que o teorema da área de buracos negros [31], da Relatividade Geral clássica, que declara que a área A de um buraco negro nunca diminui por qualquer que seja o processo físico

$$\Delta A \geq 0, \quad (5.1)$$

era análogo à declaração da segunda lei da termodinâmica que diz que a entropia total S de um sistema fechado nunca diminui qualquer que seja o processo físico

$$\Delta S \geq 0. \quad (5.2)$$

Bekenstein propôs então que a área do buraco negro deveria ser interpretada como uma entropia física.

Pouco tempo depois a analogia entre a termodinâmica e certas leis da física de buracos negros foi desenvolvida sistematicamente por Bardeen, Hawking e Carter [14]. Eles mostraram que em Relatividade Geral a gravidade superficial, κ , de um buraco negro estacionário deve ser constante sobre o horizonte de eventos.

Eles notaram que este resultado era análogo a declaração da Lei Zero da termodinâmica que diz que a temperatura, T , deve ser uniforme sobre um corpo em equilíbrio térmico. Eles demonstraram também a Primeira Lei da mecânica de buracos negros que, para o vácuo, declara que a diferença de massa, M , de área, A , e de momento angular, J , de dois buracos negros estacionários próximos, deve ser

$$\delta M = \frac{1}{8\pi} \kappa \delta A + \Omega \delta J, \quad (5.3)$$

onde Ω é a velocidade angular do horizonte de eventos. Eles perceberam que esta lei é análoga à primeira lei da termodinâmica, que declara que a diferença na energia, E , na entropia, S e em outros parâmetros de dois estados próximos do equilíbrio térmico de um sistema é dado por

$$\delta E = T \delta S + \text{“termos de trabalho”}. \quad (5.4)$$

Fazendo uma comparação entre a lei zero, a primeira e segunda leis da termodinâmica e as correspondentes leis da física de buracos negros podemos ver que as quantidades análogas são

$$E \longleftrightarrow M, \quad T \longleftrightarrow \alpha\kappa, \quad S \longleftrightarrow \frac{A}{8\pi\alpha}, \quad (5.5)$$

onde α é uma constante indeterminada. Entretanto, essa analogia entre as quantidades pareciam ser apenas coincidências matemáticas desprovida de qualquer significado físico pois classicamente, a relação entre T e κ não fazia sentido, o que acabava inviabilizando também a relação entre a entropia e a área.

Com isso a idéia dessa analogia perdeu força. Foi necessário a utilização de conceitos quânticos para resolver esses problemas.

Em 1975 o cenário modificou-se com a importante descoberta de Hawking [15]. Em seus estudos sobre propagação de campos quânticos no exterior de buracos negros ele descobriu que devido ao efeito quântico de criação de partículas, um buraco negro irradia para o infinito todas as espécies de partículas com um espectro de corpo negro perfeito, à uma temperatura

$$T_H = \frac{\kappa}{2\pi}, \quad (5.6)$$

chamada Temperatura Hawking do buraco negro. Com isso, a relação entre T e κ ganhou sentido físico pois $\kappa/2\pi$ é a temperatura física do buraco negro.

Isso confirmou a idéia de que um buraco negro estacionário era um estado de equilíbrio térmico.

Havia ainda o problema da diminuição da entropia quando um corpo era absorvido pelo buraco negro. Esse problema foi contornado por Bekenstein ao reformular a segunda lei da termodinâmica. Ele propôs uma segunda lei generalizada [23, 13] onde a entropia total do sistema (buraco negro + objeto) nunca diminui qualquer que seja o processo físico. Com esses desenvolvimentos restam agora poucas dúvida de que as leis da física de buracos negros correspondem à leis da termodinâmica aplicada a sistemas constituídos de buracos negros.

As leis da termodinâmica de buracos negros podem ser assim declaradas

Lei Zero

A gravidade superficial κ de um buraco negro estacionário é constante em todo lugar, sobre a superfície do horizonte de eventos.

Primeira Lei

Quando um sistema que possui um buraco negro muda de um estado estacionário para outro, sua massa muda por

$$dM = T dS_{BN} + \Omega_{BN} dJ_{BN} + \Phi_{BN} dQ + \delta q \quad (5.7)$$

onde dJ_{BN} e dQ são as mudanças no momento angular total e da carga elétrica do buraco negro, respectivamente. O termo δq é a contribuição na massa total devida à mudança na distribuição estacionária de matéria fora do buraco negro e Φ_{BN} é o potencial elétrico do buraco negro.

Segunda Lei

Em qualquer processo clássico, a área de um buraco negro, A , e consequentemente sua entropia S_{BN} , nunca diminui:

$$\Delta S_{BN} \geq 0 \quad \text{onde} \quad S_{BN} = \frac{A}{4}. \quad (5.8)$$

A lei de não diminuição da área do buraco negro nos diz que a fração da energia interna do buraco negro que não pode ser extraída aumenta com o tempo.

Segunda Lei Generalizada - SLG

Qualquer que seja o processo físico envolvendo buracos negros, a entropia total generalizada, \tilde{S} , nunca diminui:

$$\Delta \tilde{S} = \Delta S_{BN} + \Delta S_m \geq 0. \quad (5.9)$$

onde S_{BN} é a entropia do buraco negro e S_m a entropia da radiação e matéria fora do buraco negro.

Existe ainda uma lei análoga à terceira lei da termodinâmica, mas omitimos tal lei por não a utilizarmos durante o trabalho.

5.2 Cálculo do limite superior da entropia de um corpo caindo em um BN Esfericamente Simétrico

Assumindo a validade da (SLG) uma nova condição sobre a entropia S_m da radiação e da matéria fora do buraco negro é estabelecida.

Quando um corpo de energia E e raio efetivo R é absorvido por um buraco negro, a área da superfície do buraco negro aumenta por um valor $8\pi ER$ [22]. Se quisermos que esse aumento seja mínimo, a (SLG) será violada se a entropia do corpo S_m for maior que $2\pi ER$. Dessa forma um limite superior para entropia S_m é gerado. Vamos calculá-lo formalmente.

Vamos considerar um corpo neutro com massa de repouso m e raio próprio R caindo em um buraco negro esfericamente simétrico onde a métrica é dada por

$$ds^2 = g_{ij}dx^i dx^j = -A(r)dt^2 + B(r)dr^2 + r^2d\Omega^2 \quad (5.10)$$

e cujo horizonte de eventos é dado pela seguinte condição

$$g_{tt}|_{r=r_h} = 0 \quad \Rightarrow A(r_h) = 0 \quad \text{para } r = r_h. \quad (5.11)$$

A gravidade superficial κ para esse buraco negro sobre o horizonte de eventos é dada por

$$\kappa = \frac{1}{2\sqrt{|g_{tt}|g_{rr}}} \left. \frac{d|g_{tt}|}{dr} \right|_{r=r_h}. \quad (5.12)$$

As constantes de movimento associadas a t e a ϕ são

$$E = \pi_t = g_{tt}\dot{t}, \quad J = -\pi_\phi = g_{\phi\phi}\dot{\phi}. \quad (5.13)$$

O quadrado da massa é dado por

$$m^2 = -\pi_i\pi^i. \quad (5.14)$$

Sem perda de generalidade consideraremos apenas o movimento equatorial do corpo, isto é, $\theta = \pi/2$.

A equação quadrática para a energia conservada E do corpo é dada por

$$-m^2 = \frac{E^2}{g_{tt}} + \frac{J^2}{r^2}, \quad (5.15)$$

$$\alpha E^2 - 2\beta E + \sigma = 0, \quad (5.16)$$

com

$$\begin{aligned} \alpha &= 1 \\ \beta &= 0 \\ \sigma &= g_{tt} \left(\frac{J^2}{r^2} + m^2 \right). \end{aligned} \quad (5.17)$$

Como nosso corpo possui um raio próprio não-nulo, R e sabendo que a equação (5.15) descreve o movimento do centro de massa do corpo precisamos calcular o novo ponto de captura do corpo pelo buraco negro.

Isso se faz necessário pois quando parte do corpo já atravessou o horizonte de eventos o centro de massa ainda está do lado de fora. Portanto o novo ponto de captura será dado por $r = r_h + \delta$ onde δ é dado por

$$\int_{r_h}^{r_h+\delta(R)} \sqrt{g_{rr}} dr = R. \quad (5.18)$$

Integrando a equação (5.18) teremos uma expressão para δ . Se estivessemos em um espaço-tempo chato, teríamos $\delta = R$.

Resolvendo a equação (5.15) para a energia e calculando seu valor sobre o ponto de captura $r = r_h + \delta$ teremos a energia de captura que é dada por

$$E_{cap} = \sqrt{-g_{tt} \left(\frac{J^2}{r^2} + m^2 \right)} \Big|_{r=r_h+\delta}. \quad (5.19)$$

O valor E_{cap} que minimiza o aumento da área da superfície do buraco negro é obtido quando $J = 0$ de modo que

$$E_{min} = m \sqrt{-g_{tt}} \Big|_{r=r_h+\delta}. \quad (5.20)$$

Da Primeira Lei da Termodinâmica de Buracos Negros sabemos que

$$dM = \frac{\kappa}{2} dA_r \quad (5.21)$$

onde $A_r = A/4\pi$ e $dM = E_{min}$ é a mudança na massa do buraco negro devido a assimilação do corpo. Assim usando a equação (5.12) nós deveremos obter que

$$dA_r = 2mR, \quad (5.22)$$

a menos que as componentes da métrica produzam alguma correção. Hod mostrou que para corpos carregados eletricamente esse limite é diferente e depende da carga Q [27] do corpo absorvido.

Assumindo a validade da Segunda Lei Generalizada, $S_{bn}(M + dM) \geq S_{bn}(M) + S_m$, obtemos um limite superior para a entropia S_m associada a um corpo com energia própria E , absorvido pelo buraco negro, que é dado

por

$$\begin{aligned}
 \frac{A + dA}{4} &\geq \frac{A}{4} + S_m \\
 \frac{dA}{4} &\geq S_m \\
 \frac{4\pi dA_r}{4} &\geq S_m \\
 S_m &\leq 2\pi ER .
 \end{aligned} \tag{5.23}$$

Portanto se a (SLG) for válida, um observador localizado no infinito que vê um corpo caindo em um buraco negro esfericamente simétrico dirá que houve um aumento da entropia generalizada e nenhuma violação é constatada.

Esse limite é portanto considerado universal no sentido de que ele depende apenas dos parâmetros do corpo absorvido sendo independente dos parâmetros que caracterizam o buraco negro.

Capítulo 6

Mundo Brana

Após a parada, sigamos agora para fora dos nossos limites, rumo ao espaço desconhecido.

O uso de dimensões extras na tentativa de uma descrição unificada do nosso mundo físico não é uma idéia nova. Em meados dos anos 20 Kaluza e Klein [24] conseguiram unificar o eletromagnetismo e a gravitação utilizando-se de um dimensão extra espacial. Desde então a utilização de dimensões extras em modelos físicos tem ganhado força devido a sua capacidade de explicar muitos fenômenos físicos e gerar novas descrições do mundo em que vivemos. A maioria dos desenvolvimentos recentes em Física Teórica baseiam-se no uso de dimensões extras, onde se destaca a Teoria de Cordas.

Teoria de Cordas

Atualmente sabemos que sob altas energias, a Teoria da Relatividade Geral falha pois perde sua capacidade de predição. Para um entendimento de processos físicos nesse nível de energia faz-se necessário o desenvolvimento de uma teoria quântica da gravitação.

Uma candidata promissora, capaz de gerar uma descrição unificada dos campos de matéria do Modelo Padrão e da gravitação, é a Teoria de Cordas.

A Teoria de Cordas prevê que o espaço-tempo em que vivemos é composto de 10 dimensões sendo 1 dimensão temporal e 9 espaciais. Esse espaço-tempo 10-dimensional recebe o nome de *bulk*. Como até agora, o mundo físico observável é 4-dimensional, ela assume que as outras 6 dimensões espaciais são pequenas e compactas, ou seja, estão enroladas de modo que um observador não seja capaz de observá-las diretamente mas seja capaz de sentir seus efeitos no seu mundo observável. Uma analogia interessante utilizada para explicar essa idéia é a analogia da mangueira de jardim.

Se olharmos de perto, para uma mangueira de jardim, estendida no chão, observaremos que ela é um objeto tridimensional com largura, espessura e comprimento. Agora se observarmos essa mesma mangueira de muito longe veremos apenas uma linha estendida no chão e assim nada podemos dizer se aquele objeto possui mais dimensões.

Outra previsão da Teoria de Cordas é a existência de subvariedades $p+1$ dimensionais do espaço-tempo 10-dimensional que recebem o nome de p -branas. Um importante subconjunto das p -branas são as D -branas.

D -branas são hipersuperfícies que funcionam como condições de contorno do espaço-tempo 10-dimensional onde a extremidade de cordas abertas são presas.

Na Teoria de Cordas os grávitons são representados por cordas fechadas que podem se propagar pelo *bulk*. Já os campos de calibre do modelo padrão são representados pelas extremidades de cordas abertas que podem se mover apenas sobre as p -branas. Isto é, os campos de calibre permanecem confinados às p -branas.

Problema da Hierarquia

O problema da Hierarquia surge da grande diferença entre as escalas electrofraca $E_{ef} \sim 10^3 \text{ GeV}$ e a escala de Planck 4-dimensional $E_p \sim 10^{19} \text{ GeV}$. Essa grande diferença torna-se um problema quando se faz necessário um tratamento unificado da gravitação e da mecânica quântica para um determinado processo físico.

Os conceitos apresentados acima inspiraram os modelos de Mundo Brana conhecidos. Atualmente existem diversos modelos de Mundo Brana com características bem específicas.

Apresentaremos na seção a seguir dois modelos bem conhecidos: ADD e Randall-Sundrum. Estes dois modelos impulsionaram avanços na física de partículas e mesmo na cosmologia.

6.1 Um olhar sobre o Mundo Brana

Essa seção sobre Mundo Brana foi inspirada nos trabalhos realizados por Michele F. Ferraz [34] e Adenauer G. Casali [35].

6.1.1 Modelo ADD

A motivação do modelo ADD [18] repousa na solução do problema da hierarquia fazendo uso de dimensões extras.

Este modelo é constituído de um espaço-tempo $(4 + d)$ dimensional, onde campos de matéria estão confinados a uma brana 4-dimensional de “espessura” E_{ef}^{-1} e apenas a gravidade é livre para se propagar por todo o *bulk* $(4 + d)$ dimensional. As d dimensões extras são compactas com raio R , ou seja, limitada por condições de contorno que as tornam finitas, e podendo assumir topologias diversas. Para o caso de $d = 2$ por exemplo, podemos ter uma 2-esfera ou um toro com raio interno nulo. Neste modelo existe a possibilidade de campos de matéria sairem para o *bulk* carregando energia.

Entretanto, carga elétrica, por exemplo, deve se conservar não podendo assim escapar para o *bulk*.

Seguindo esses conceitos, a proposta do trabalho [18], é mostrar que para um mundo com 6 dimensões o problema da hierarquia é solucionado e pode ser confirmado experimentalmente em breve.

Podemos mostrar pela Lei de Gauss em $(4 + d)$ dimensões que o potencial em torno de uma massa pontual M é dado por

$$V(r) = \frac{G_{4+d}M}{r^{1+d}} \quad (6.1)$$

onde G_{4+d} é a escala gravitacional em $(4 + d)$ dimensões.

Tomando r como a distância entre um ponto qualquer e a massa pontual, e R a largura das dimensões extras temos que se $r < R$, então o potencial $V(r)$ será

$$V(r) \sim r^{-(1+d)}. \quad (6.2)$$

A essa distância as dimensões extras influem no comportamento do potencial como pode ser visto.

Para uma distância $r > R$ vemos que as dimensões extras não influenciam fortemente o potencial de modo que recuperamos o potencial 4-dimensional

$$V(r) = \frac{G_{4+d}M}{rR^d}. \quad (6.3)$$

Disto podemos escrever a escala gravitacional 4-dimensional como

$$G_4 = \frac{G_{4+d}}{R^d} \quad (6.4)$$

ou em termos da Massa de Planck,

$$M_{PL}^2 = M_{4+d}^{d+2}R^d. \quad (6.5)$$

Se supusermos M_{4+d} da ordem da escala eletrofraca ($E_{ef} \sim 10^3 \text{ GeV}$) e $M_{PL} \sim 10^{19} \text{ GeV}$ teremos da equação (6.5) que

$$R = \frac{M_{PL}^{2/d}}{M_{4+d}^{\frac{d}{d+2}}} = 10^{(32/d)-17} \text{ cm.} \quad (6.6)$$

Se tivermos $d = 1$ o raio da dimensão extra será $R \sim 10^{15} \text{ cm}$ o que implicaria em violações na gravitação em distâncias da ordem do sistema solar.

Se adotarmos entretanto $d = 2$ com uma topologia tipo toros o valor do raio das dimensões extras será

$$R \approx 1 \text{ mm.} \quad (6.7)$$

Como experimentos, que medem a validade do potencial $V(r) \sim \frac{1}{r}$, tem precisão até a ordem de 0,1 mm, fica aberta a possibilidade de termos uma nova lei do potencial. Novos experimentos com maior precisão poderão nos dizer como se comporta o potencial gravitacional a pequenas distâncias e assim validar ou não as hipóteses do modelo ADD.

6.1.2 Modelos Randall-Sundrum

Como o modelo ADD, os modelos de Randall-Sundrum (RS) [16, 17] foram inicialmente propostos no intuito de fornecer um novo mecanismo para solucionar o problema da hierarquia. Entretanto muitas outras aplicações foram dadas a esses modelos posteriormente, tais como o estudo de cosmologia de branas, buracos negros em branas, etc.

Diferentemente do modelo ADD os modelos RS se utilizam apenas de uma única dimensão extra espacial. Os modelos RS constituem um espaço-tempo 5-dimensional onde apenas a gravidade pode propagar-se livremente, podendo ter duas (RS-I) ou uma brana (RS-II), onde os campos de matéria permanecem confinados.

Nestes modelos a métrica é não fatorável de modo que a métrica de Minkowski é multiplicada por um fator de deformação que depende da dimensão extra. É esse fator que atenua a gravidade e corrige a escala de Planck resolvendo o Problema da Hierarquia.

RS-I

O modelo RS-I [16] consiste em um espaço 5-dimensional com constante cosmológica Λ_{5D} negativa, denominado *bulk*, onde a quinta dimensão é espacial e compacta. A dimensão extra é representada pela coordenada y e possui raio de compactificação r_c de modo que $-\pi r_c \leq y \leq \pi r_c$.

Duas branas são utilizadas neste modelo e correspondem a pontos fixos no *bulk*, ou seja, são condições de contorno do espaço 5-dimensional.

Adotaremos a simetria Z_2 , $y \rightarrow -y$, ou seja, as branas funcionarão como espelhos dividindo o *bulk* em duas partes idênticas. Por isso podemos restringir o intervalo que nossa coordenada extra cobre para $0 \leq y \leq \pi r_c$. Podemos então localizar a brana visível, que corresponde ao nosso universo 4-dimensional, sobre $y = 0$ e a segunda brana escondida sobre o ponto $y = \pi r_c$. Assim teremos as métricas sobre as branas como sendo

$$g_{vis}^{ab} = G^{\mu\nu}(y=0)\delta_\mu^a\delta_\nu^b, \quad (6.8)$$

$$g_{esc}^{ab} = G^{\mu\nu}(y=\pi r_c)\delta_\mu^a\delta_\nu^b, \quad (6.9)$$

com $\mu, \nu = 0 \dots 4$ e $a, b = 0 \dots 3$.

O cenário adotado neste modelo é descrito pela seguinte ação clássica

$$S = S_{5D} + S_{vis} + S_{esc}, \quad (6.10)$$

onde

$$S_{5D} = \int \sqrt{|G|} [-\Lambda_{5D} + 2M_{5D}^3 R] d^4x dy, \quad (6.11)$$

$$S_{vis} = \int \sqrt{|g_{vis}|} [\mathcal{L}_{vis} - 2\lambda_{vis}] \delta(y) d^4x dy, \quad (6.12)$$

$$S_{esc} = \int \sqrt{|g_{esc}|} [\mathcal{L}_{esc} - 2\lambda_{esc}] \delta(y - \pi r_c) d^4x dy, \quad (6.13)$$

onde M_{5D} é a escala de Planck em 5-D, λ_{vis} e λ_{esc} são as tensões nas branas que atuam como origens gravitacionais na ausência de excitações de partículas. As Lagrangeanas das branas são dadas por \mathcal{L} entretanto seus detalhes não são relevantes para a determinação da métrica 5-dimensional.

Efetuando uma variação na ação (6.10) e lembrando que, nas fronteiras $\delta g_{ab} = \delta G_{\mu\nu}\delta_a^\mu\delta_b^\nu$ e o termo $\delta R_{\mu\nu}$ pode ser desprezado, obteremos as seguintes equações de campo

$$\begin{aligned} \sqrt{|G|}(R^{\mu\nu} - \frac{1}{2}G^{\mu\nu}R) = & -\frac{1}{4M_{5D}^3} \left[2\sqrt{|g_{vis}|} g_{vis}^{ab} \delta_a^\mu\delta_b^\nu \lambda_{vis} \delta(y) \right. \\ & \left. + \sqrt{|G|}G^{\mu\nu}\Lambda_{5D} + 2\sqrt{|g_{esc}|} g_{esc}^{ab} \delta_a^\mu\delta_b^\nu \lambda_{esc} \delta(y - \pi r_c) \right]. \end{aligned} \quad (6.14)$$

Usando como *Ansatz* a métrica não fatorável

$$ds^2 = e^{2\sigma(y)}\eta_{ab}dx^a dx^b + dy^2 \quad (6.15)$$

e aplicando-o na equação (6.14) teremos as equações

$$6\sigma'^2 = -\frac{\Lambda_{5D}}{4M_{5D}^3}, \quad (6.16)$$

$$3\sigma'' = \frac{\lambda_{vis}\delta(y)}{2M_{5D}^3} + \frac{\lambda_{esc}\delta(y - \pi r_c)}{2M_{5D}^3}. \quad (6.17)$$

A solução consistente com a simetria do problema $y \rightarrow -y$ para a equação (6.16) é

$$\sigma = \pm|y|\sqrt{-\frac{\Lambda_{5D}}{24M_{5D}^3}}. \quad (6.18)$$

Nesta etapa podemos observar que a única solução fisicamente aceitável é uma constante cosmológica Λ_{5D} negativa o que caracteriza um *bulk* do tipo AdS_5 . Portanto o espaço-tempo entre as duas branas é uma fatia de uma geometria AdS_5 .

Derivando a equação (6.18) e lembrando que supusemos uma condição de periodicidade para a coordenada y temos

$$\sigma'' = \pm 2r_c \sqrt{-\frac{\Lambda_{5D}}{24M_{5D}^3}} \{\delta(y) - \delta(y - \pi r_c)\}. \quad (6.19)$$

Comparando-a com a equação (6.16) vemos que, para que a métrica (6.15) seja solução das equações de campo devemos ter as seguintes relações [34, 35]

$$\lambda_{vis} = -\lambda_{esc} = \mp 12M_{5D}^3k; \quad \Lambda_{5D} = -24M_{5D}^3k^2. \quad (6.20)$$

Desta forma podemos escrever a métrica (6.15) como

$$ds^2 = e^{\pm 2k|y|} \eta_{ab} dx^a dx^b + dy^2. \quad (6.21)$$

O sinal positivo na métrica (6.21) corresponde ao modelo RS-I onde o crescimento da exponencial na dimensão extra é barrado pela brana escondida. Neste modelo a brana visível possui tensão negativa e a brana escondida tensão positiva. Esse fato é problemático, pois induz uma gravidade repulsiva na brana visível. Esse efeito é observado pois a constante de Newton 4-dimensional depende de λ_{vis}

$$G_{4D} = \frac{\lambda_{vis}}{6M_{5D}^6}. \quad (6.22)$$

RS-II

O modelo RS-II [17] é construído de maneira muito similar ao modelo RS-I exceto pelos fatos de que a dimensão extra não é mais compacta mas sim infinita ($r_c \rightarrow \infty$) e que temos agora uma única brana com tensão positiva.

A simetria Z_2 é mantida neste modelo e o *bulk* ainda é descrito por um espaço-tempo AdS_5 . O método para a dedução dessa solução é semelhante ao descrito anteriormente de modo que omitiremos os detalhes.

Para o modelo RS-II a métrica que satisfaz as equações de campo será

$$ds^2 = e^{-2k|y|} \eta_{ab} dx^a dx^b + dy^2, \quad (6.23)$$

que corresponde a equação (6.21) com sinal negativo. Esse modelo apresenta algumas vantagens sobre o modelo RS-I. Neste modelo a tensão positiva na brana fornece uma gravidade atrativa como esperado, além de possuir um estado ligado do gráviton 4-dimensional não massivo que não se propaga para a dimensão extra.

Uma propriedade válida aos modelos RS é que eles podem ser escritos na forma conformalmente plana se fizermos a seguinte transformação de coordenadas

$$z = l e^{y/l} \quad (6.24)$$

onde l é o raio AdS . Desta forma a métrica (6.23), por exemplo, será escrita como

$$ds^2 = \frac{\ell}{z} [\eta_{ab} dx^a dx^b + dz^2]. \quad (6.25)$$

Disso podemos notar que se a métrica de Minkowski for trocada por qualquer métrica do tipo Ricci plana, ela ainda será solução das equações (6.14).

Com isso podemos substituir qualquer solução da Relatividade Geral em um cenário do tipo RS podendo assim estudar o comportamento de buraco negros sobre a brana (ver teorema Campbell-Magaard [8]).

6.1.3 Equação de Einstein projetada sobre a brana

Como o intuito deste trabalho é estudar buracos negros sobre a brana precisamos saber como a influência do *bulk* afeta as equações de movimento na brana.

A projeção das equações de Einstein em uma 3-brana foi estudada por Maeda, Sasaki e Shiromizu [7].

A idéia básica é utilizar as equações de Gauss-Codazzi que projeta a curvatura 5-dimensional ao longo da brana. Apresentaremos esses cálculos com

certo detalhe pois consideramo-lo útil no entendimento das seções seguintes quando estudaremos buracos negros sobre a brana.

A princípio, não suporemos nenhuma propriedade especial para o *bulk*, a não ser que ele é formado por um espaço-tempo 5-dimensional, onde temos 4 dimensões espaciais e 1 dimensão temporal.

Neste trecho do trabalho a notação será alterada. Os índices i, j correm de $0 \dots 4$ representando o espaço-tempo 5-dimensional. Quando tivermos objetos 4-dimensionais os índices i, j correm de $0 \dots 3$.

No Mundo Brana nosso universo 4-D é descrito por uma 3-brana, hiper-superfície \mathcal{M} com (3+1) dimensões e métrica induzida q_{ij} embebida em um espaço-tempo 5-dimensional V e métrica g_{ij} . O vetor unitário n^i normal a brana \mathcal{M} é do tipo espaço de modo que a relação entre a métrica do *bulk* e a métrica da brana será

$$q_{ij} = g_{ij} - n_i n_j ; \quad q^{ij} = g^{ij} - n^i n^j ; \quad q_i^j = g_i^j - n_i n^j . \quad (6.26)$$

Como n^i é normal à brana temos também

$$n^i n_i = 1; \quad g_{ij} n^i n^j = 1; \quad q_{ij} n^i = 0 . \quad (6.27)$$

As equações que governam a relação entre a brana e o *bulk* são as equações de Gauss-Codazzi [7]

$${}^4R^a{}_{bcd} = {}^5R^f{}_{ghi} q_f^a q_b^g q_c^h q_d^i + K^a{}_c K_{bd} - K^a{}_d K_{bc}, \quad (6.28)$$

$$K^g{}_{f;g} - K_{;f} = {}^5R_{hi} n^i q_f^h \quad (6.29)$$

onde $K_{ij} = q_a^i q_b^j \nabla_a n_b$ é a curvatura extrínseca de \mathcal{M} , cujo o traço é dado por $K = K^i_i$ e $(;)$ representa a derivada covariante com respeito a métrica induzida q_{ij} .

A partir dessas equações construiremos as equações de Einstein sobre a brana de modo a levar em consideração a influência geométrica do *bulk*. Para tanto precisamos do tensor de Ricci e o escalar de Ricci 4-dimensional que podem ser calculados da equação (6.28).

Se contrairmos os índices a e c e lembrarmos das propriedades (6.26) e

(6.27) nós teremos o tensor de Ricci 4-dimensional

$$\begin{aligned}
{}^4R_{bd} &= {}^5R_{ghi}^f q_f^a q_a^h q_b^g q_d^i + K_a^a K_{bd} - K_d^a K_{ba} \\
{}^4R_{bd} &= {}^5R_{ghi}^f (g_f^a - n_f n^a) (g_a^h - n_a n^h) q_b^g q_d^i + K K_{bd} - K_d^a K_{ba} \\
{}^4R_{bd} &= {}^5R_{ghi}^f (g_f^a g_a^h - n_f n^h) q_b^g q_d^i + K K_{bd} - K_d^a K_{ba} \\
{}^4R_{bd} &= {}^5R_{gi} q_b^g q_d^i - {}^5R_{ghi}^f n_f n^h q_b^g q_d^i + K K_{bd} - K_d^a K_{ba} \quad (6.30)
\end{aligned}$$

Calculemos agora o escalar de Ricci 4-dimensional contraindo a equação (6.30) com q^{bd}

$$\begin{aligned}
{}^4R &= q^{bd} {}^4R_{bd} \\
{}^4R &= {}^5R_{gi} q^{gi} - q^{bd} {}^5R_{ghi}^f n_f n^h q_b^g q_d^i + q^{bd} K K_{bd} - q^{bd} K_d^a K_{ba} \\
{}^4R &= {}^5R_{gi} q^{gi} - q^{bd} {}^5R_{ghi}^f n_f n^h q_b^g q_d^i + K^2 - K^{ab} K_{ab} \quad (6.31)
\end{aligned}$$

Com isso podemos escrever o tensor de Einstein G_{km} 4-dimensional como

$$\begin{aligned}
{}^4G_{km} &= {}^4R_{km} - \frac{1}{2} q_{km} {}^4R \\
{}^4G_{km} &= {}^5R_{gi} q_k^g q_m^i - {}^5R_{ghi}^f n_f n^h q_k^g q_m^i + K K_{km} - K_m^a K_{ka} - \\
&\quad - \frac{1}{2} q_{km} \left\{ {}^5R_{rs} q^{rs} - q^{bd} {}^5R_{rls}^t n_t n^l q_b^r q_d^s + K^2 - K^{jc} K_{jc} \right\} \\
{}^4G_{km} &= \left({}^5R_{gi} q_k^g q_m^i - \frac{1}{2} q_{km} {}^5R_{rs} q^{rs} \right) - \tilde{E}_{km} + K K_{km} - K_m^a K_{ka} - \\
&\quad - \frac{1}{2} q_{km} [K^2 - K^{jc} K_{jc} - q^{bd} {}^5R_{rls}^t n_t n^l q_b^r q_d^s] \quad (6.32)
\end{aligned}$$

$$\begin{aligned}
{}^4G_{km} &= \left({}^5R_{gi} - \frac{1}{2}(g_{gi} - n_g n_i) [{}^5R - {}^5R_{rs} n^r n^s] \right) q_k^g q_m^i - \tilde{E}_{km} + K K_{km} \\
&- K_m^a K_{ka} - \frac{1}{2} q_{km} [K^2 - K^{jc} K_{jc} - q^{bd} {}^5R_{t_{rls}} n_t n^l q_b^r q_d^s] \\
{}^4G_{km} &= \left({}^5R_{gi} - \frac{1}{2} g_{gi} {}^5R \right) q_k^g q_m^i + \frac{1}{2} {}^5R_{rs} q_{km} n^r n^s - \tilde{E}_{km} + K K_{km} - \\
&- K_m^a K_{ka} - \frac{1}{2} q_{km} [K^2 - K^{jc} K_{jc} - {}^5R_{t_{rls}} n_t n^l q^{rs}] \\
{}^4G_{km} &= {}^5G_{gi} q_k^g q_m^i - \tilde{E}_{km} + K K_{km} - K_m^a K_{ka} - \frac{1}{2} q_{km} [K^2 - K^{jc} K_{jc}] \\
&+ \frac{1}{2} q_{km} [{}^5R_{rs} n^r n^s + {}^5R_{prls} n^p n^l q^{rs}] \\
{}^4G_{km} &= {}^5G_{gi} q_k^g q_m^i - \tilde{E}_{km} + K K_{km} - K_m^a K_{ka} - \frac{1}{2} q_{km} [K^2 - K^{jc} K_{jc}] \\
&+ \frac{1}{2} q_{km} [{}^5R_{rs} n^r n^s + {}^5R_{rs} n^r n^s - {}^5R_{rpsl} n^p n^l n^r n^s] \tag{6.33}
\end{aligned}$$

Como R_{rpsl} é um tensor anti-simétrico e $n^p n^l n^r n^s$ é simétrico, o termo acima ${}^5R_{rpsl} n^p n^l n^r n^s$ se anula.

Assim teremos o tensor de Einstein 4-dimensional como sendo

$$\begin{aligned}
{}^4G_{km} &= {}^5G_{gi} q_k^g q_m^i - \tilde{E}_{km} + K K_{km} - K_m^a K_{ka} \\
&+ q_{km} {}^5R_{rs} n^r n^s - \frac{1}{2} q_{km} [K^2 - K^{jc} K_{jc}] \tag{6.34}
\end{aligned}$$

onde

$$\tilde{E}_{km} = {}^5R_{ghi}^f n_f n^h q_k^g q_m^i. \tag{6.35}$$

Como pretendemos obter as equações de Einstein sobre a brana com a menor quantidade de objetos 5-dimensionais, precisamos reescrever o tensor de Einstein 5-dimensional. Para isso usaremos as equações de Einstein 5-dimensionais

$${}^5R_{gi} - \frac{1}{2} g_{gi} {}^5R = k_5^2 {}^5T_{gi}, \tag{6.36}$$

e do tensor de Weyl ${}^5C_{abcd}$

$$\begin{aligned} {}^5C_{abcd} = & {}^5R_{abcd} - \frac{1}{3} (g_{ac} {}^5R_{db} - g_{ad} {}^5R_{cb} - g_{bc} {}^5R_{da} + g_{bd} {}^5R_{ca}) \\ & + \frac{1}{12} (g_{ac}g_{db} - g_{ad}g_{cb}) {}^5R . \end{aligned} \quad (6.37)$$

Da equação (6.36) obtemos, após alguma álgebra, o escalar de Ricci e o tensor de Ricci 5-D em termos do tensor momento-energia ${}^5T_{gi}$

$${}^5R = -\frac{2}{3}k_5^2 {}^5T; \quad {}^5R_{gi} = \frac{k_5^2}{3} (3 {}^5T_{gi} - {}^5Tg_{gi}) . \quad (6.38)$$

Substituindo as equações (6.38) na equação (6.34) teremos

$$\begin{aligned} {}^4G_{km} = & k_5^2 {}^5T_{gi} q_k^g q_m^i - \tilde{E}_{km} + K K_{km} - K^a_m K_{ka} \\ & + q_{km} \frac{k_5^2}{3} (3 {}^5T_{rs} - {}^5Tg_{rs}) n^r n^s - \frac{1}{2} q_{km} [K^2 - K^{jc} K_{jc}] . \end{aligned} \quad (6.39)$$

Usando a equação (6.37) podemos achar uma relação para \tilde{E}_{km} em função do tensor de Weyl,

$$\begin{aligned} \tilde{E}_{km} = & \frac{1}{3} ({}^5R_{rs} q_k^r q_m^s + {}^5R_{ig} n^i n^g g_{rs} q_k^r q_m^s) \\ & - \frac{1}{12} {}^5R g_{rs} q_k^r q_m^s + {}^5C_{irgs} n^i n^g q_k^r q_m^s . \end{aligned} \quad (6.40)$$

Reescrevendo \tilde{E}_{km} em termos do tensor momento-energia e seu traço teremos

$$\begin{aligned} \tilde{E}_{km} = & \frac{k_5^2}{3} {}^5T_{rs} q_k^r q_m^s - \frac{k_5^2}{6} {}^5T q_{rs} + E_{km} \\ & + \frac{k_5^2}{3} ({}^5T_{gi} n^i n^g) q_{km} \end{aligned} \quad (6.41)$$

onde

$$E_{km} = {}^5C_{irgs} n^i n^g q_k^r q_m^s . \quad (6.42)$$

Substituindo a equação (6.41) nas equações de Einstein 4-dimensionais temos

$$\begin{aligned} {}^4G_{km} = & k_5^2 {}^5T_{gi} q_k^g q_m^i \left(1 - \frac{1}{3}\right) + \frac{k_5^2}{3} \left(2 {}^5T_{rs} n^r n^s - \frac{{}^5T}{2}\right) q_{km} \\ & - E_{km} + K K_{km} - K^a_m K_{ka} - \frac{1}{2} q_{km} [K^2 - K^{jc} K_{jc}] . \end{aligned} \quad (6.43)$$

Portanto as equações de Einstein 4-dimensionais projetadas sobre uma brana serão

$$\begin{aligned} {}^4G_{km} &= \frac{2k_5^2}{3} \left({}^5T_{rs} q_k{}^r q_m{}^s + \left[{}^5T_{rs} n^r n^s - \frac{5T}{4} \right] q_{km} \right) \\ &- E_{km} + K K_{km} - K^a{}_m K_{ka} - \frac{1}{2} q_{km} [K^2 - K^{jc} K_{jc}] . \end{aligned} \quad (6.44)$$

Podemos observar na equação acima que temos, além de termos que dependem do tensor momento-energia ${}^5T_{km}$, termos que são puramente geométricos fazendo papel de “matéria” e curvando o espaço-tempo. Esse resultado nos permite trabalhar com buracos negros com “matéria geométrica”, ou seja, uma “matéria” induzida pelo *bulk*.

Se usarmos a equação de Codazzi e a equação de Einstein 5-dimensional teremos

$$\begin{aligned} K^g_{f;g} - K_{;f} &= \frac{k_5^2}{3} (3 {}^5T_{hi} - {}^5T g_{hi}) n^i q_f{}^h \\ K^g_{f;g} - K_{;f} &= k_5^2 {}^5T_{hi} n^i q_f{}^h - \frac{k_5^2}{3} {}^5T n_h q_f{}^h \\ K^g_{f;g} - K_{;f} &= k_5^2 {}^5T_{hi} n^i q_f{}^h . \end{aligned} \quad (6.45)$$

De agora em diante suporemos válidas algumas das propriedades do mundo brana. Utilizaremos uma única brana e chamaremos a coordenada extra de χ tal que $n_i dx^i = d\chi$ de modo que a brana se encontre sobre o ponto $\chi = 0$.

Portanto a métrica que descreve o espaço-tempo 5-dimensional será do tipo

$$ds^2 = d\chi^2 + q_{ij} dx^i dx^j . \quad (6.46)$$

Em geral, modelos de mundo brana não admitem matéria no *bulk*. Portanto nosso tensor momento-energia 5-dimensional será dado por

$${}^5T_{ij} = -\Lambda_5 g_{ij} + S_{ij} \delta(\chi) , \quad (6.47)$$

$$S_{ij} = -\lambda q_{ij} + \tau_{ij} \quad (6.48)$$

onde Λ_5 é a constante cosmológica do *bulk*, λ e τ_{ij} são a tensão na brana e seu tensor momento-energia respectivamente.

Como o tensor momento-energia possui um comportamento singular precisamos saber como a brana se conecta no *bulk* uma vez que ela divide o *bulk*

em duas partes quebrando a simetria de translação na direção da coordenada extra. Semelhante situação aparece no estudo de uma casca esférica, de modo que existe uma região de transição no espaço-tempo que deve ter solução de continuidade. Essa conexão é dada pelas condições de junção de Israel [36]

$$[q_{ij}] = 0 \quad (6.49)$$

$$[K_{ij}] = -k_5^2 \left(S_{ij} - \frac{1}{3} q_{ij} S \right) \quad (6.50)$$

onde a operação $[A]$ corresponde a

$$[A] := \lim_{\chi \rightarrow +0} A - \lim_{\chi \rightarrow -0} A = A^+ - A^- . \quad (6.51)$$

Inspirados nos modelos RS podemos impor simetria Z_2 no nosso problema tomando a brana como o ponto fixo. Fazendo isso obtemos das condições de junção o comportamento da curvatura extrínseca

$$K_{ij}^+ = -K_{ij}^- = -\frac{1}{2} k_5^2 \left(S_{ij} - \frac{1}{3} q_{ij} S \right) . \quad (6.52)$$

Substituindo a equação (6.52) na equação (6.44) obteremos as equações de campo sobre a brana na forma

$${}^4G_{ij} = -\Lambda_4 q_{ij} + 8\pi G_N \tau_{ij} + k_5^2 \pi_{ij} - E_{ij}, \quad (6.53)$$

onde

$$\Lambda_4 = \frac{1}{2} k_5^2 \left(\Lambda_5 + \frac{1}{6} k_5^2 \lambda^2 \right), \quad (6.54)$$

$$G_N = \frac{k_5^4 \lambda}{48\pi}, \quad (6.55)$$

$$\pi_{ij} = -\frac{1}{4} \tau_{ia} \tau_j^a + \frac{1}{12} \tau \tau_{ij} + \frac{1}{8} q_{ij} \tau_{ab} \tau^{ab} - \frac{1}{24} q_{ij} \tau^2 . \quad (6.56)$$

Alguns comentários a respeito do tensor E_{ij} merecem destaque.

O tensor E_{ij} é a projeção do tensor de Weyl 5-dimensional e carrega a informação de como o campo gravitacional fora da brana se comporta e atua sobre ela. Portanto ele depende fortemente da forma do espaço-tempo no *bulk*. Ele não é especificado livremente mas sua divergência é vinculada

ao conteúdo de matéria na brana que modo que através das identidades de Bianchi contraídas $G_{ij; }^i = 0$ teremos

$$E_{ij; }^i = \frac{1}{4}k_5^4 \left[\tau^{ab}(\tau_{ab;j} - \tau_{ja;b}) + \frac{1}{3}(\tau_{ij} - q_{ij}\tau)\tau_{; }^i \right]. \quad (6.57)$$

Podemos decompor E_{ij} em uma parte transversa sem traço E_{ij}^{TT} e uma parte longitudinal E_{ij}^L , com a parte longitudinal sendo determinada completamente pela matéria presente na brana. Conseqüentemente se E_{ij}^{TT} não estiver presente, as equações se fecham apenas com elementos presentes na brana. Entretanto como a parte E_{ij}^{TT} corresponde aos grávitons nas 5 dimensões, ela vai acabar excitando a matéria presente na brana o que por sua vez acaba excitando o *bulk*. Isto implica que para resolver completamente as equações de movimento sobre a brana é necessário resolver ao mesmo tempo as equações no *bulk*.

Uma análise interessante em [7] mostra que o tensor E_{ij} é negligenciável a baixas energias. Isso nos mostra que no limite de baixas energias os efeitos do *bulk* são desprezíveis e assim recuperamos a equação de Einstein convencional. Quando tratarmos de perturbações gravitacionais em buracos negros em branas discutiremos um pouco mais a respeito do tensor E_{ij} .

6.2 Buracos Negros no Mundo Brana

Como foi discutido no capítulo anterior, existem grandes chances de que nosso universo seja uma brana imersa em um espaço-tempo de dimensão mais alta. Portanto, tão importante quanto a verificação desses argumentos, é o entendimento de estruturas estelares e buracos negros neste contexto.

Como motivação extra podemos salientar um resultado, que contribui para a solidificação da correspondência *AdS/CFT*, obtido em 2005 [45] que apresenta evidências significativas em favor de uma conjectura [46] que diz que buracos negros 4-D localizados sobre a brana que são obtidos como solução clássica de um *bulk* AdS_5 são na verdade buracos negros com correções quânticas.

Diversos avanços no contexto de Mundo Brana tem sido feitos, tais como os realizados por Hawking [41] que obteve uma solução tipo corda negra, Maartens [11] que obteve uma solução que descreve uma estrela de densidade uniforme sobre a brana, Visser [42] com uma solução que descreve planetas sólidos sobre a brana, Casadio [2, 1] com uma solução tipo “charuto negro” e soluções tipo buracos negros e buracos de minhoca e Bronnikov [5, 10] com uma classe geral de buracos negros e buracos de minhoca. Algumas dessas soluções apresentaram regimes instáveis quando submetidas a perturbações

[43], outras ainda não foram estudadas até agora, o que nos motiva ao estudo da estabilidade dessas soluções.

Examinando a equação (6.53) podemos observar que ela apresenta termos extras no tensor momento-energia que surgem da presença do *bulk*. Isso faz com que nossas equações de Einstein sobre a brana dependa do *bulk* e portanto não formem um conjunto de equações fechadas se não conhecemos a extensão da solução no *bulk*. Entretanto essa questão pode ser tratada sob dois aspectos diferentes. O primeiro deles diz respeito a um teorema sobre imersões de hipersuperfícies em espaços-tempo de mais alta dimensão. Esse teorema é conhecido como o Teorema de Campbell-Magaard [8].

Ele declara que qualquer variedade n -dimensional pode ser localmente embebida em um espaço de Einstein $(n+1)$ dimensional.

Uma versão generalizada desse teorema foi obtida por Wesson [8]. Essa versão generalizada inclui a aplicação do teorema a modelos de Mundo Brana e é construída sobre três quantidades: a métrica induzida q_{ij} , a curvatura extrínseca K_{ij} , e o tensor E_{ij} . As equações que descrevem a dinâmica na brana, obtidas na seção anterior dependem dessas quantidades. Portanto não podemos especificar arbitrariamente q_{ij} e K_{ij} e resolver as equações de vínculo. Isso acaba implicando em restrições sobre as imersões.

Se adotarmos o modelo RS como base, o que implica em assumirmos simetria Z_2 e confinarmos os campos de matéria na brana, teremos a restrição de que, especificado o tensor momento-energia sobre a brana, a métrica induzida é obtida dinamicamente.

Portanto para a versão generalizada do teorema para Mundo Brana temos que qualquer solução $(3+1)$ dimensional pode ser representada por uma brana no cenário RS.

O segundo deles é extender a solução obtida na brana para o *bulk*. Essa extensão é realizada de maneira análoga à decomposição padrão em $(3+1)$ dimensões de variedades globalmente hiperbólicas na Relatividade Geral, ou seja, o formalismo ADM [47].

Neste caso a solução na brana funciona como uma “hipersuperfície inicial” que é evoluída na direção da dimensão extra construindo a solução 5-dimensional. Esse mecanismo foi utilizado por Casadio [2] para construir sua solução tipo “charuto negro”. Neste trabalho abordaremos apenas o primeiro aspecto.

Portanto ignoraremos a forma dos buracos negros no *bulk* invocando o teorema de Campbell-Magaard. Isso implica que não nos importaremos com a forma explícita do tensor E_{ij} .

A única coisa que precisamos saber a respeito do *bulk* é que ele é solução das equações de Einstein 5-dimensionais para o vácuo e com constante cos-

mológica Λ_5 que é dada por

$$\mathcal{R}_{\mu\nu} - \frac{1}{2}g_{\mu\nu}\mathcal{R} = \Lambda_5 g_{\mu\nu} \quad (6.58)$$

onde $(\mu, \nu = 0, \dots, 4)$.

Utilizando os resultados obtidos na seção anterior podemos escrever as equações de Einstein projetadas na brana como

$$G_{ij} = -\Lambda_4 q_{ij} + 8\pi G_N \tau_{ij} + k_5^4 \pi_{ij} - E_{ij} , \quad (6.59)$$

com

$$\Lambda_4 = \frac{1}{2}k_5^2 \left(\Lambda_5 + \frac{1}{6}k_5^2 \lambda^2 \right) , \quad (6.60)$$

$$G_N = \frac{k_5^4 \lambda}{48\pi} , \quad (6.61)$$

$$\pi_{ij} = -\frac{1}{4}\tau_{ia}\tau_j^a + \frac{1}{12}\tau\tau_{ij} + \frac{1}{8}q_{ij}\tau_{ab}\tau^{ab} - \frac{1}{24}q_{ij}\tau^2 . \quad (6.62)$$

onde Λ_4 é a constante cosmológica 4-D, τ_{ij} é o tensor momento-energia sobre a brana, G_N é a constante gravitacional de Newton, π_{ij} são potências quadráticas do tensor momento-energia e E_{ij} é a projeção “elétrica” do tensor de Weyl 5-D $C_{\mu\nu\alpha\beta}$ sobre a brana.

Se introduzirmos coordenadas normais Gaussianas x^i ($i = 0, \dots, 3$) e z (com $z = 0$ sobre a brana) e considerarmos ausência de matéria sobre brana ($\pi_{ij} = \tau_{ij} = 0$), vamos obter como única combinação das equações de Einstein (6.58) que podem ser escritas sobre a brana sem ambigüidades e sem especificar E_{ij} as seguintes equações de vínculo

$$\mathcal{R}_{iz} = 0, \quad R = 4\Lambda_4 . \quad (6.63)$$

Deste ponto em diante faremos $\Lambda_4 = 0$ fazendo o ajuste apropriado entre Λ_5 e a tensão na brana e respeitando as condições de junção necessárias [36].

Se supusermos que nossa solução deve ser estática e possuir simetria esférica podemos escrever nossa métrica como

$$ds^2 = -A(r)dr^2 + B(r)dr^2 + r^2 d\Omega^2 . \quad (6.64)$$

Desta forma podemos obter a métrica sobre a brana de forma completa solucionando a equação

$$R = \frac{1}{2}\frac{A''}{A} - \frac{1}{4}\left(\frac{A'}{A}\right)^2 - \frac{1}{4}\frac{A'}{A}\frac{B'}{B} - \frac{1}{r}\left(\frac{B'}{B} - \frac{A'}{A}\right) - \frac{1}{r^2}(B - 1) = 0. \quad (6.65)$$

Portanto, para uma dada função $A(r)$ a equação (6.65) sempre terá uma solução de modo que a função $B(r)$ resultante, será especificada totalmente a menos de uma constante de integração.

Os buracos negros estudados neste trabalho são dois: BN-CFM e BN-SM.

A solução BN-CFM foi obtida por Casadio [1] e de maneira diferente por Maartens [11] como solução exterior de uma estrela na brana e por Bronnikov [10] como uma solução particular de uma classe geral de soluções.

6.2.1 Buraco Negro tipo CFM

A métrica que descreve o BN-CFM tem a forma

$$ds^2 = - \left(1 - \frac{2M}{r}\right) dt^2 + \frac{\left(1 - \frac{3M}{2r}\right)}{\left(1 - \frac{2M}{r}\right) \left(1 - \frac{M\gamma}{2r}\right)} dr^2 + r^2 d\Omega^2. \quad (6.66)$$

Apesar da constante γ poder assumir qualquer valor positivo ou negativo nós restringiremos seu valor neste trabalho devido à mudança da estrutura do buraco negro causada pela mudança no intervalo de valores de γ .

Para valores de $\gamma > 4$ a solução CFM descreve um buraco negro não-singular com um buraco de minhoca dentro do horizonte de eventos. O diagrama de Penrose dessa solução é o mesmo de um buraco negro de Kerr não extremo (ver figura 6.1).

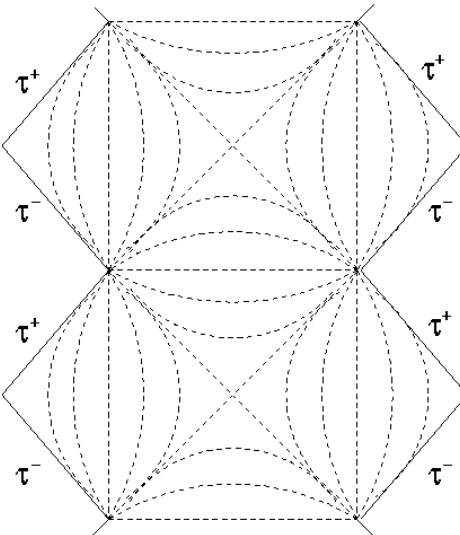


Figura 6.1: Diagrama de Penrose do BN-CFM para $\gamma > 3$.

Para valores de $\gamma < 4$ a solução CFM descreve um buraco negro tipo Schwarzschild com a singularidade física deslocada.

Deste ponto em diante assumiremos a condição $\gamma < 4$.

Se analisarmos as escalares invariantes do BN-CFM, veremos que

$$R = 0, \quad (6.67)$$

$$R_{ij}R^{ij} \sim \frac{1}{(2r - 3M)^4 r^4}, \quad (6.68)$$

$$R_{ijkl}R^{ijkl} \sim \frac{1}{(2r - 3M)^4 r^6}, \quad (6.69)$$

ou seja, os escalares explodem para $r = 0, 3M/2$. Como $r = 3M/2 > r = 0$ o espaço compreendido entre $0 < r < 3M/2$ não pertence ao nosso universo. Portanto nosso universo é definido pelo intervalo $r \in (3M/2, \infty)$. Sob $r = 2M$ os escalares permanecem regulares.

O diagrama de Penrose para este buraco tem a mesma forma que para Schwarzschild, exceto pelo fato de que a singularidade física foi deslocada de $r = 0$ para $r = \frac{3M}{2}$. O horizonte de eventos continua sendo sobre $r = 2M$ (ver figura 6.2).

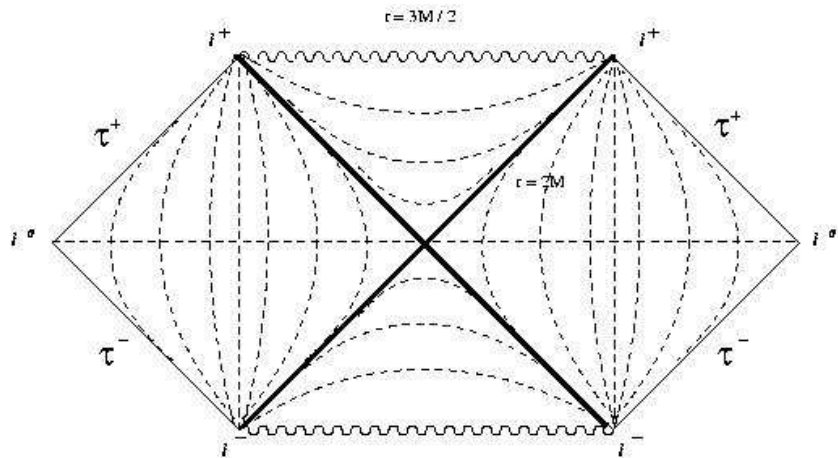


Figura 6.2: Diagrama de Penrose para o BN-CFM para $\gamma < 4$. A singularidade física se encontra sobre $r = 3M/2$. O horizonte de eventos se dá sobre $r = 2M$.

Se fizermos $r \rightarrow \infty$ na métrica (6.66) observaremos que esse universo é assintoticamente plano.

6.2.2 Buraco Negro tipo SM

A solução BN-SM foi obtida por Bronnikov [10]. Ela representa um buraco negro com massa zero.

A métrica que descreve o BN-SM tem a forma

$$ds^2 = - \left(1 - \frac{h^2}{r^2}\right) dt^2 + \frac{1}{\left(1 - \frac{h^2}{r^2}\right) \left(1 + \frac{C-h}{\sqrt{2r^2-h^2}}\right)} dr^2 + r^2 d\Omega^2 . \quad (6.70)$$

onde h é uma constante positiva. A constante C obtida como resultado da integração da equação (6.65) pode assumir qualquer valor positivo ou negativo. Entretanto, devido aos mesmos motivos citados para o caso do BN-CFM, assumiremos que $C > h$ daqui pra frente.

Se $C > h$ a estrutura causal do buraco negro é do tipo Schwarzschild. A figura 6.3 representa o diagrama de Penrose para essa solução.

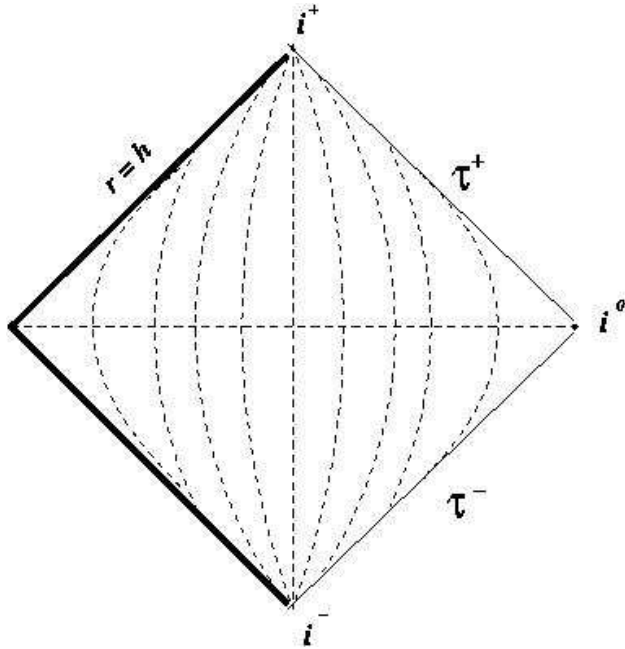


Figura 6.3: Diagrama de Penrose para o BN-SM para $C > h$. A singularidade física se encontra em $r = h/\sqrt{2}$.

Se observarmos os invariantes escalares desse buraco negro, veremos que

$$R = 0 , \quad (6.71)$$

$$R_{ij}R^{ij} \sim \frac{1}{(2r^2 - h^2)^3 r^8} , \quad (6.72)$$

$$R_{ijkl}R^{ijkl} \sim \frac{1}{(2r^2 - h^2)^3 r^8} . \quad (6.73)$$

Deste modo vemos que para os valores $r = 0, h/\sqrt{2}$ os escalares explodem, caracterizando esses valores como singularidades físicas. Investigando a componente g_{tt} da métrica vemos que o horizonte de eventos se dá sobre $r = h$.

Portanto esse universo se encerra sobre $r = h/\sqrt{2}$ sendo definido pelo o intervalo $r \in (h/\sqrt{2}, \infty)$.

Se fizermos $r \rightarrow \infty$ na métrica (6.70) observaremos que esse universo é assintoticamente plano.

Capítulo 7

Evolução de Campos, Estabilidade e Termodinâmica de BN's Esfericamente Simétricos sobre a brana

No espaço onde tudo parece distante, buscamos alguma referência. É neste momento que nos deparamos com a sua fronteira. Continuemos pois na exploração deste universo.

O formalismo desenvolvido nas seções anteriores será aplicado à dois tipos de buracos negros esfericamente simétricos localizados sobre uma brana.

Os buracos negros estudados neste trabalho foram

- Buraco negro CFM
- Buraco negro “sem massa” SM

Apresentaremos abaixo as métricas do buracos negros estudados assim como algumas quantidades relevantes aos cálculos realizados nas seções posteriores.

Buraco Negro-CFM

A métrica de um buraco negro tipo CFM localizado sobre uma brana é dada por

$$ds^2 = - \left(1 - \frac{2M}{r}\right) dt^2 + \frac{\left(1 - \frac{3M}{2r}\right)}{\left(1 - \frac{2M}{r}\right) \left(1 - \frac{M\gamma}{2r}\right)} dr^2 + r^2 d\Omega^2 , \quad (7.1)$$

com $d\Omega^2 = d\theta^2 + \sin\theta^2 d\phi^2$.

A raiz quadrada do determinante da métrica covariante g_{ij} será

$$\sqrt{-g} = \sqrt{\frac{(2r - 3M)}{(2r - M\gamma)}} r^2 \sin\theta. \quad (7.2)$$

A coordenada tartaruga r_* para esse buraco negro é dada por

$$\begin{aligned} r_* &= \int \frac{1}{\sqrt{f}} dr \\ r_*(r) &= T_1(r) + T_2(r) + T_3(r), \end{aligned} \quad (7.3)$$

onde

$$T_1(r) = \frac{\sqrt{(2r - \gamma M)(2r - 3M)}}{2}, \quad (7.4)$$

$$T_2(r) = \frac{M(5 + \gamma)}{4} \ln(4r - M(3 + \gamma) + 2T_1), \quad (7.5)$$

$$\begin{aligned} T_3(r) &= -\frac{2M}{\sqrt{4 - \gamma}} \ln(T_4), \\ T_4(r) &= \frac{M\sqrt{4 - \gamma} T_1 + M(5 - \gamma)r - M^2(6 - \gamma)}{(r - 2M)}. \end{aligned} \quad (7.6)$$

Vejamos o comportamento da coordenada tartaruga r_* para alguns valores de β na figura 7.1.

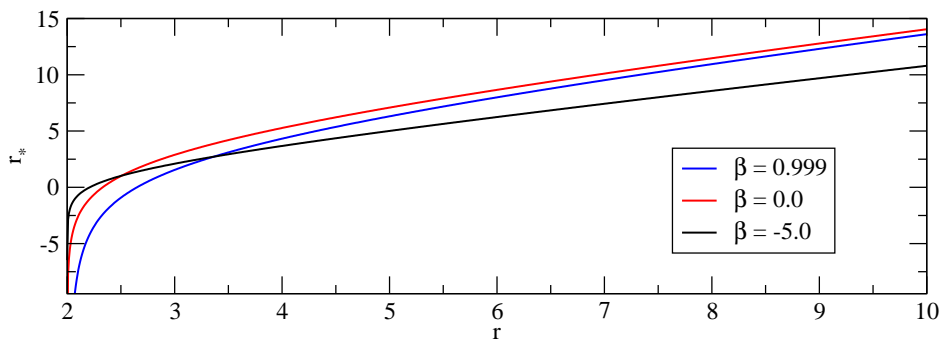


Figura 7.1: Comportamento da coordenada tartaruga r_* , com $\gamma = \beta + 3$ e $M = 1$

Portanto, com essa mudança de coordenadas mapeamos o intervalo semi-infinito $(2M, +\infty)$ que corresponde ao exterior do BN-CFM no intervalo infinito $(-\infty, +\infty)$.

Observando o limite quando $r \rightarrow 2M$ vemos que $r_* \rightarrow -\infty$. No limite de $r \gg 2M$ a coordenada r_* cresce linearmente. Analisaremos esses limites mais detalhadamente.

Utilizando-se do formalismo descrito no Apêndice A.4 podemos definir uma função $h(r)$ para o BN-CFM como sendo

$$h(r) = \frac{r - 2M}{r} \sqrt{\frac{2r - \gamma M}{2r - 3M}}. \quad (7.7)$$

Nesta forma é fácil ver que o horizonte de eventos se encontra sobre $r = r_h = 2M$. Para que este seja um horizonte simples, ou seja, um zero simples, temos que função $P(r)$, definida abaixo, como

$$h(r) = (r - r_h)P(r) \quad \text{com} \quad P(r) = \frac{1}{r} \sqrt{\frac{2r - \gamma M}{2r - 3M}}, \quad (7.8)$$

deve ser analítica e não-nula em $r = r_h = 2M$. Isso de fato é observado pois

$$P(r_h) = \frac{\sqrt{4 - \gamma}}{2M}. \quad (7.9)$$

Portanto, se $\gamma < 4$, $P(r_h)$ é analítica e não-nula, e $r = 2M$ é um zero simples de $h(r)$.

Observando a equação (7.3), analisemos o comportamento de r_* quando $r \rightarrow \infty$. Neste caso $r_*(r)$ diverge linearmente, já que neste limite temos

$$T_1(r) \approx r, \quad (7.10)$$

$$T_2(r) \approx \frac{M(5 + \gamma)}{4} \ln(r), \quad (7.11)$$

$$T_3(r) \approx \text{constante}, \quad (7.12)$$

e desta forma

$$r_*(r) \approx r + \frac{M(5 + \gamma)}{4} \ln(r). \quad (7.13)$$

Interessante notar que a forma da função $r_*(r)$ no caso do BN-CFM é mesma do caso do BN-Schwarzschild

$$r_*(r) \approx r + 2M \ln(r), \quad (7.14)$$

no limite de r grande.

No limite de $r \rightarrow 2M$ podemos usar os resultados obtidos no Apêndice A.4. Como $h(r)$ possui um zero simples, a forma de $r_*(r)$, próximo do horizonte de eventos, é dada por

$$r_*(r) = \frac{1}{P(r_h)} \ln(r - r_h) \implies r_*(r) = \frac{2M}{\sqrt{4 - \gamma}} \ln(r - 2M). \quad (7.15)$$

Vemos então que próximo do horizonte de eventos r_* diverge logarithmicamente.

Buraco Negro-SM

A métrica de um buraco negro tipo SM localizado sobre uma brana é dada por

$$ds^2 = - \left(1 - \frac{h^2}{r^2}\right) dt^2 + \frac{1}{\left(1 - \frac{h^2}{r^2}\right) \left(1 + \frac{C-h}{\sqrt{2r^2-h^2}}\right)} dr^2 + r^2 d\Omega^2. \quad (7.16)$$

A raiz quadrada do determinante da métrica covariante g_{ij} neste caso será

$$\sqrt{-g} = \sqrt{1 + \frac{C-h}{\sqrt{2r^2-h^2}}} r^2 \sin\theta. \quad (7.17)$$

A coordenada tartaruga r_* para esse buraco negro é dada por

$$r_* = \int_h^\infty \frac{1}{\left(1 - \frac{h^2}{r^2}\right) \sqrt{1 + \frac{C-h}{\sqrt{2h^2-r^2}}}} dr. \quad (7.18)$$

A equação (7.18) será integrada numericamente devido a dificuldade em encontrarmos uma solução analítica. Vejamos o comportamento da coordenada tartaruga r_* para alguns valores de C na figura 7.2.

Com essa mudança de coordenadas mapeamos o intervalo $(h, +\infty)$ no intervalo $(-\infty, +\infty)$. Observando o limite quando $r \rightarrow h$ vemos que $r_* \rightarrow -\infty$. No limite de $r \gg h$ a coordenada r_* também cresce linearmente como no caso do BN-CFM. Analisaremos esses limites mais detalhadamente.

Utilizando-se do formalismo descrito no Apêndice A.4 podemos definir uma função $h(r)$ para o BN-SM como sendo

$$h(r) = (r - h) \frac{(r + h)}{r^2} \sqrt{1 + \frac{C-h}{\sqrt{2r^2-h^2}}}. \quad (7.19)$$

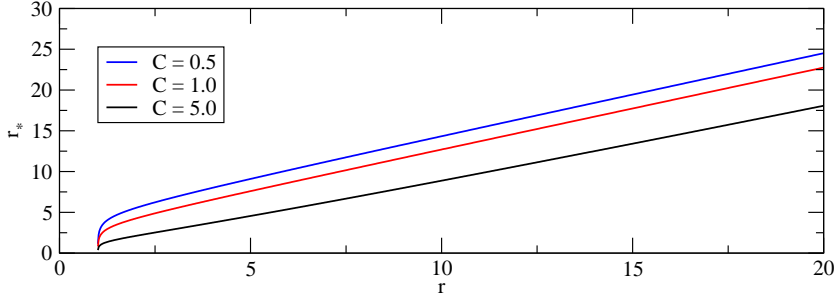


Figura 7.2: Comportamento da coordenada tartaruga r_* , para $h = 1$

Temos então que $r = r_h = h$ é um candidato a horizonte (simples) de eventos, desde que a função

$$P(r) = \frac{(r+h)}{r^2} \sqrt{1 + \frac{C-h}{\sqrt{2r^2-h^2}}}, \quad (7.20)$$

seja analítica e não-nula em $r = r_h = h$. Explicitamente,

$$P(r_h) = \frac{2}{h} \sqrt{\frac{C}{h}}. \quad (7.21)$$

Desta forma, se $C > 0$ então $h(r)$ possui uma raiz simples em $r = h$, e a função r_* diverge logaritmicamente próximo ao horizonte de eventos:

$$r_*(r) = \frac{h}{2} \sqrt{\frac{h}{C}} \ln(r-h). \quad (7.22)$$

Por outro lado, se $C = 0$ então $P(r_h) = 0$. Neste caso, a função $h(r)$ possui zero duplo o que implica que r_* diverge como lei de potência

$$r_*(r) \propto -\frac{1}{(r-h)} \quad (7.23)$$

em $r = h$. Suporemos que $C > 0$ daqui para frente.

Vejamos o comportamento de r_* para r grande. Neste caso a integração explícita não é simples. Podemos entretanto expandir $h(r)$ em potências de $1/r$ obtendo

$$h(r) \approx 1 + \left(\frac{(C-h)\sqrt{2}}{4} \right) \frac{1}{r}. \quad (7.24)$$

Usando este resultado teremos

$$r_*(r) \approx r - \frac{\sqrt{2}(C - h)}{4} \ln(r). \quad (7.25)$$

A função r_* para o BN-SM, também diverge linearmente com $r \rightarrow \infty$. Entretanto, o termo subdominante será diferente do caso do BN-CFM se, $C \geq h$. Neste trabalho assumiremos a condição $C \geq h$. Essa mudança no comportamento assintótico, acarretará alterações no comportamento das caudas nas perturbações.

7.1 Evolução de campos em BN-CFM e BN-SM

Nesta seção apresentaremos as equações que descrevem a evolução de campos no exterior dos BN-CFM e BN-SM. A solução destas equações foram obtidas numericamente através do método de integração com condições iniciais características e serão apresentadas e discutidas no capítulo 8.

7.1.1 Perturbação Escalar no exterior do BN-CFM e do BN-SM

Considerando que trabalharemos com campos escalares localizados apenas sobre a brana, ou seja, que não se propagam para o *bulk*, a evolução de um campo escalar não massivo $\Psi(t, r, \theta, \phi)$ no exterior de um buraco negro sobre a brana é governada pelas equações (3.30) e (3.31). Para o caso do BN-CFM temos que a função $f(r)$ e sua derivada $\frac{df}{dr}$ são

$$f = \frac{(r - 2M)^2(2r - M\gamma)}{r^2(2r - 3M)} \quad (7.26)$$

$$\begin{aligned} \frac{df}{dr} &= \frac{d}{dr} \left[\left(1 - \frac{2M}{r}\right)^2 \left(\frac{2r - M\gamma}{2r - 3M} \right) \right] \\ \frac{df}{dr} &= 2 \left(1 - \frac{2M}{r}\right) \left\{ \frac{2M}{r^2} \left(\frac{2r - M\gamma}{2r - 3M} \right) + \right. \\ &\quad \left. + \left(1 - \frac{2M}{r}\right) \left[\frac{(2r - 3M) - (2r - M\gamma)}{(2r - 3M)^2} \right] \right\}. \end{aligned} \quad (7.27)$$

Substituindo $\gamma = \beta + 3$ teremos

$$\frac{df}{dr} = 2 \left(1 - \frac{2M}{r}\right) \left\{ \frac{2M}{r^2} + \frac{M\beta}{(2r - 3M)^2} \left[1 - \frac{6M}{r} + \frac{6M^2}{r^2} \right] \right\}. \quad (7.28)$$

Substituindo a equação (7.28) na equação (3.31) obtemos o potencial efetivo V_{esc}^{CFM} para o BN-CFM. Desta forma a equação que governa a perturbação escalar de um BN-CFM será

$$- \frac{\partial^2 R}{\partial t^2}(r, t) + \frac{\partial^2 R}{\partial r_*^2}(r, t) = V_{esc}^{CFM}(r)R(r, t) \quad (7.29)$$

onde

$$V_{esc}^{CFM}(r) = \left(1 - \frac{2M}{r}\right) \left\{ \frac{\ell(\ell+1)}{r^2} + \frac{2M}{r^3} + \right. \quad (7.30)$$

$$\left. + \frac{M\beta}{r(2r-3M)^2} \left[1 - \frac{6M}{r} + \frac{6M^2}{r^2}\right] \right\} . \quad (7.31)$$

Como podemos observar na equação acima, se fizermos, $\beta = 0$, recuperamos a equação que governa a perturbação escalar para Schwarzschild, uma vez que para esse valor de β a métrica do BN-CFM se torna a métrica de Schwarzschild. O caso do BN-SM pode ser tratado de modo análogo ao BN-CFM. Para o caso do BN-SM a função $f(r)$ e sua derivada $\frac{df}{dr}$ serão

$$f = \left(1 - \frac{h^2}{r^2}\right)^2 \left(1 + \frac{C-h}{\sqrt{2r^2-h^2}}\right) \quad (7.32)$$

$$\begin{aligned} \frac{df}{dr} &= \frac{d}{dr} \left[\left(1 - \frac{h^2}{r^2}\right)^2 \left(1 + \frac{C-h}{\sqrt{2r^2-h^2}}\right) \right] \\ \frac{df}{dr} &= 2 \left(1 - \frac{h^2}{r^2}\right) \left\{ \frac{2h^2}{r^3} + \right. \\ &\quad \left. + \frac{C-h}{\sqrt{2r^2-h^2}} \left[\frac{2h^2}{r^3} - \frac{r^2-h^2}{r(2r^2-h^2)} \right] \right\} . \end{aligned} \quad (7.33)$$

Agora, substituindo a equação (7.33) na equação (3.31) obtemos o potencial efetivo V_{esc}^{SM} para o BN-SM. A equação que governará a perturbação escalar de um BN-SM será

$$- \frac{\partial^2 R}{\partial t^2}(r, t) + \frac{\partial^2 R}{\partial r_*^2}(r, t) = V_{esc}^{SM}(r)R(r, t) \quad (7.34)$$

onde

$$\begin{aligned} V_{esc}^{SM}(r) &= \left(1 - \frac{h^2}{r^2}\right) \left\{ \frac{\ell(\ell+1)}{r^2} + \frac{2h^2}{r^4} \right. \\ &\quad \left. + \frac{C-h}{\sqrt{2r^2-h^2}} \left[\frac{2h^2}{r^4} - \frac{r^2-h^2}{r^2(2r^2-h^2)} \right] \right\} . \end{aligned} \quad (7.35)$$

7.1.2 Perturbação Eletromagnética no exterior do BN-CFM e do BN-SM

Nesta seção trataremos da evolução de um campo de Maxwell no exterior de um buraco negro sobre a brana. Perturbações eletromagnéticas são de grande interesse, já que, no contexto da conjectura *AdS/CFT* elas podem ser vistas como perturbações para algum campo de calibre em supergravidade. Como o campo de Maxwell é um campo de matéria ele permanece confinado na brana. Portanto não precisamos resolver as equações relativas ao *bulk*. Desta forma a evolução de um campo de Maxwell $\mathcal{A}(t, r, \theta, \phi)$ no exterior de um buraco negro na brana é dada pelas equações (3.37) e (3.38).

A propagação de um campo de Maxwell no exterior do BN-CFM será dada pela equação

$$-\frac{\partial^2 \mathcal{A}}{\partial t^2} + \frac{\partial^2 \mathcal{A}}{\partial r_*^2} = V_{el}^{CFM}(r) \mathcal{A} \quad (7.36)$$

onde o potencial efetivo V_{el}^{CFM} para o BN-CFM será

$$V_{el}^{CFM}(r) = \left(1 - \frac{2M}{r}\right) \frac{\ell(\ell+1)}{r^2}. \quad (7.37)$$

Interessante notar que apesar do BN-CFM ter, como um caso particular a solução de Schwarzschild, o potencial efetivo para perturbações eletromagnéticas neste buraco negro é idêntico ao potencial do buraco negro de Schwarzschild. Novamente o processo é repetido para o caso do BN-SM.

Assim a propagação de um campo de Maxwell no exterior do BN-SM será dada pela equação

$$-\frac{\partial^2 \mathcal{A}}{\partial t^2} + \frac{\partial^2 \mathcal{A}}{\partial r_*^2} = V_{el}^{SM}(r) \mathcal{A} \quad (7.38)$$

onde o potencial efetivo V_{el}^{SM} para o BN-SM será

$$V_{el}^{SM}(r) = \left(1 - \frac{h^2}{r^2}\right) \frac{\ell(\ell+1)}{r^2}. \quad (7.39)$$

7.1.3 Perturbações Gravitacionais no exterior do BN-CFM e do BN-SM

O cálculo de perturbações gravitacionais, no contexto de Mundo Brana, revela-se um pouco mais complicado do que em $(3+1)$ dimensões, devido a existência do *bulk*.

Diferentemente das perturbações escalares e eletromagnéticas que permanecem confinadas na brana, as perturbações gravitacionais além de perturbar a brana perturbam o *bulk*. Conseqüentemente, o tensor E_{ij} será perturbado acrescentando alguma contribuição no tensor-momento energia perturbado.

Como foi mencionado anteriormente na seção 6.2, não conhecemos a extensão, dos buracos negros estudados, no *bulk*. Isso poderia inviabilizar o cálculo das perturbações gravitacionais pois não poderíamos contabilizar a contribuição do tensor E_{ij} .

Entretanto como estamos interessados apenas nas ondas que se propagam sobre a brana assumiremos algumas condições adicionais como hipótese de trabalho para contornar o problema de solucionar as equações perturbadas no *bulk*. Consideraremos apenas perturbações axiais e em 1^a ordem na métrica q_{ij} . Como realizado para a perturbação escalar, calcularemos a perturbação para uma métrica esfericamente simétrica tão geral quanto possível e depois especificaremos caso a caso.

As equações de Einstein 4-dimensionais para o vácuo, sobre a brana são dadas por

$$R_{ij} - \frac{1}{2}q_{ij}R = -\Lambda_4 q_{ij} - E_{ij} . \quad (7.40)$$

Faremos $\Lambda_4 = 0$ daqui para frente o que implica em um ajuste entre Λ_5 e a tensão na brana que é dada pela equação (6.60). Assim a equação que devemos perturbar será

$$R_{ij} - \frac{1}{2}q_{ij}R = -E_{ij} . \quad (7.41)$$

Para uma perturbação em 1^a ordem a nova métrica pode ser escrita como

$$e_{ij} = q_{ij} + h_{ij} \quad e^{ij} = q^{ij} - h^{ij} \quad (7.42)$$

onde $h_{ij} \ll q_{ij}$ e $e_{ib} e^{bj} = \delta_i^j$.

Observando nossa equação de Einstein não-perturbada temos os seguintes resultados

$$\overset{\circ}{R}_{ij} = -\overset{\circ}{E}_{ij} , \quad (7.43)$$

$$\overset{\circ}{E}_i^i = \overset{\circ}{E} = 0 , \quad (7.44)$$

$$\overset{\circ}{R} = 0 , \quad (7.45)$$

onde o tensor E_{ij} tem traço nulo devido às simetrias do tensor de Weyl e a notação () inidica que o objeto será calculado com respeito à métrica fundo q_{ij} .

A equação de Einstein perturbada será dada pela substituição da equação (7.42) na equação (7.41)

$$R_{ij} - \frac{1}{2}e_{ij}R = -E_{ij} \quad (7.46)$$

$$\overset{\circ}{R}_{ij} + \delta R_{ij} - \frac{1}{2}(q_{ij} + h_{ij})(\overset{\circ}{R} + \delta R) = -(\overset{\circ}{E}_{ij} + \delta E_{ij}) . \quad (7.47)$$

O escalar de Ricci perturbado será dado pela contração da métrica perturbada com o tensor de Ricci perturbado

$$\begin{aligned} e^{ij}R_{ij} - \frac{1}{2}e^{ij}e_{ij}R &= -e^{ij}E_{ij} , \\ R - 2R &= -E , \\ R &= E . \end{aligned} \quad (7.48)$$

Como temos

$$\overset{\circ}{E} = E = 0, \quad (7.49)$$

devido às simetrias do tensor de Weyl, podemos reescrever a equação (7.46) na forma

$$R_{ij} = -E_{ij} , \quad (7.50)$$

$$\delta R_{ij} = -\delta E_{ij} . \quad (7.51)$$

Desta forma se conhecemos δE_{ij} poderemos escrever a equação completamente. Entretanto não conhecemos a forma exata do *bulk* o que nos impede de calcular δE_{ij} explicitamente. Neste ponto do trabalho assumiremos algumas condições de trabalho. Assumiremos a seguinte a hipótese de trabalho.

$$\delta E_{ij} = 0 \quad (7.52)$$

O motivo que nos leva a tal declaração repousa no fato de que nossa perturbação gravitacional é realizada sobre a 3-brana.

Sabemos que uma parte das perturbações gravitacionais se propagarão para o *bulk* perturbando-o também. Essa perturbação afetará o tensor E_{ij}

fazendo com que δE_{ij} seja não-nulo. Entretanto o efeito do *bulk* sobre a brana pode ser considerado secundário.

Como a informação sobre a perturbação leva um tempo finito para chegar ao *bulk* e esse também leva um tempo finito para transmitir essa informação ao tensor de Weyl e consequentemente ao tensor E_{ij} , podemos em primeira aproximação desconsiderar os efeitos do *bulk*.

Um ponto importante a ser acrescentado é que essa condição quase não afeta o valor das freqüências quasi-normais se essas fossem calculadas com a presença de δE_{ij} . O maior efeito de δE_{ij} será observado nas caudas da perturbação pois nesse intervalo de tempo posterior o efeito da perturbação já alcançou a 3-brana. Esse comportamento já era esperado pois se observarmos o comportamento da perturbação gravitacional de uma black string veremos que o efeito dos modos massivos do gráviton aparecem apenas na cauda.

Portanto, recuperando nossa equação (7.51) e substituindo nela a equação (7.52), teremos

$$\delta R_{ij} = 0 , \quad (7.53)$$

onde

$$\delta R_{ij} = \delta \Gamma_{ij}^b{}_{;b} - \delta \Gamma_{ib}^b{}_{;j} . \quad (7.54)$$

Essa é a equação a ser resolvida para uma perturbação gravitacional de uma 3-brana embebida em um espaço 5-dimensional *AdS*.

Para o cálculo das perturbações gravitacionais axiais utilizaremos o método desenvolvido por Chandrasekhar. A mudança no método se deve ao fato que Chandrasekhar desenvolve um formalismo mais geral que Regge e Wheeler por assumir condições mais fracas de dependência das equações acopladas. Isso ficará um pouco mais claro a seguir. A notação utilizada neste cálculo segue a notação de Chandrasekhar [6].

Assumiremos uma métrica axialmente simétrica de modo que ela represente nossa escolha de *gauge*. A métrica será dada por

$$\begin{aligned} ds^2 = -e^{2\nu} dt^2 &+ e^{2\psi} (dx^1 + \omega dt + q_2 dx^2 + q_3 dx^3)^2 \\ &+ e^{2\mu_2} (dx^2)^2 + e^{2\mu_3} (dx^3)^2, \end{aligned} \quad (7.55)$$

onde temos:

$$\begin{aligned} t &\rightarrow 0 & e^{2\nu} &= A(r), \\ \phi &\rightarrow 1 & e^{2\mu_2} &= B(r), \\ r &\rightarrow 2 & e^{2\mu_3} &= r^2, \\ \theta &\rightarrow 3 & e^{2\psi} &= r^2 \sin(\theta)^2. \end{aligned}$$

As perturbações axiais na métrica são representadas pelas funções ω , q_1 e q_2 que dependem das coordenadas (t, r, θ, ϕ) . Substituindo a métrica (7.55) na equação (7.53) temos como resultado apenas 3 equações que dependem linearmente de ω , q_1 e q_2 . Como estamos interessados apenas em perturbações de 1^a ordem, elas já são suficiente. Assim, as componentes da equação (7.53) que caracterizam perturbações axiais de primeira ordem são dadas por

$$\delta R_{12} = 0, \quad (7.56)$$

$$\delta R_{13} = 0, \quad (7.57)$$

$$\delta R_{10} = 0. \quad (7.58)$$

Entretanto esse sistema de equações ainda pode ser simplificado. Podemos mostrar que a equação $\delta R_{10} = 0$ é uma combinação das duas primeiras e pode ser escrita como (ver Apêndice A.5)

$$\delta R_{10,0} = \delta R_{12,2} + \delta R_{13,3} \quad (7.59)$$

Assim se as duas primeiras equações forem satisfeitas a terceira equação é satisfeita automaticamente. Portanto basta solucionarmos as equações $\delta R_{13} = 0$ e $\delta R_{12} = 0$.

Nossas duas equações podem ser explicitadas como

$$(e^{3\psi+\nu-\mu_2-\mu_3} Q_{23})_{,3} = -(e^{3\psi-\nu+\mu_3-\mu_2} Q_{02})_{,0}, \quad (7.60)$$

$$(e^{3\psi+\nu-\mu_2-\mu_3} Q_{23})_{,2} = (e^{3\psi-\nu-\mu_3+\mu_2} Q_{03})_{,0}, \quad (7.61)$$

onde

$$Q_{AB} = q_{A,B} - q_{B,A} \quad Q_{A0} = q_{A,0} - \omega_{,A}.$$

Como todas as componentes da métrica dependem apenas de r e θ podemos reescrever as equações acima como:

$$(e^{3\psi+\nu-\mu_2-\mu_3} Q_{23})_{,3} = -e^{3\psi-\nu+\mu_3-\mu_2} Q_{02,0} \quad (7.62)$$

$$(e^{3\psi+\nu-\mu_2-\mu_3} Q_{23})_{,2} = e^{3\psi-\nu-\mu_3+\mu_2} Q_{03,0}. \quad (7.63)$$

Reescrevendo as equações e substituindo os valores de Q_{02} e Q_{03} temos

$$(e^{3\psi+\nu-\mu_2-\mu_3} Q_{23})_{,3} e^{-3\psi+\nu-\mu_3+\mu_2} = -(\omega_{,2} - q_{2,0})_{,0} \quad (7.64)$$

$$(e^{3\psi+\nu-\mu_2-\mu_3} Q_{23})_{,2} e^{-3\psi+\nu+\mu_3-\mu_2} = (\omega_{,3} - q_{3,0})_{,0}. \quad (7.65)$$

Se chamarmos

$$Q(r, \theta, t) = e^{3\psi + \nu - \mu_2 - \mu_3} Q_{23}$$

$$Q(r, \theta, t) = r^2 \sin(\theta)^3 \sqrt{\frac{A(r)}{B(r)}} Q_{23} \quad (7.66)$$

e substituirmos nas equações (7.64) e (7.65) temos

$$\frac{\partial Q}{\partial \theta} e^{-3\psi + \nu - \mu_3 + \mu_2} = -(\omega_{,2} - q_{2,0})_{,0} \quad (7.67)$$

$$\frac{\partial Q}{\partial r} e^{-3\psi + \nu + \mu_3 - \mu_2} = (\omega_{,3} - q_{3,0})_{,0} . \quad (7.68)$$

Nossas equações serão então

$$\frac{1}{r^4 \sin(\theta)^3} \sqrt{A(r)B(r)} \frac{\partial Q}{\partial \theta} = -(\omega_{,2} - q_{2,0})_{,0} , \quad (7.69)$$

$$\frac{1}{r^2 \sin(\theta)^3} \sqrt{\frac{A(r)}{B(r)}} \frac{\partial Q}{\partial r} = (\omega_{,3} - q_{3,0})_{,0} . \quad (7.70)$$

Derivando a equação (7.69) em relação a θ e equação (7.70) em relação a r temos

$$\frac{\sqrt{A(r)B(r)}}{r^4} \frac{\partial}{\partial \theta} \left(\frac{1}{\sin(\theta)^3} \frac{\partial Q}{\partial \theta} \right) = -\omega_{,2,0,3} + q_{2,0,0,3} , \quad (7.71)$$

$$\frac{1}{\sin(\theta)^3} \frac{\partial}{\partial r} \left(\frac{1}{r^2} \sqrt{\frac{A(r)}{B(r)}} \frac{\partial Q}{\partial r} \right) = \omega_{,3,0,2} - q_{3,0,0,2} . \quad (7.72)$$

Somando as duas equações teremos

$$\begin{aligned} \frac{\sqrt{A(r)B(r)}}{r^4} \frac{\partial}{\partial \theta} \left(\frac{1}{\sin(\theta)^3} \frac{\partial Q}{\partial \theta} \right) + \frac{1}{\sin(\theta)^3} \frac{\partial}{\partial r} \left(\frac{1}{r^2} \sqrt{\frac{A(r)}{B(r)}} \frac{\partial Q}{\partial r} \right) = \\ = (q_{2,3} - q_{3,2})_{,0,0} = (Q_{23})_{,0,0} . \end{aligned} \quad (7.73)$$

Substituindo Q_{23} ficaremos com

$$\begin{aligned} \frac{\sqrt{A(r)B(r)}}{r^4} \frac{\partial}{\partial \theta} \left(\frac{1}{\sin(\theta)^3} \frac{\partial Q}{\partial \theta} \right) + \frac{1}{\sin(\theta)^3} \frac{\partial}{\partial r} \left(\frac{1}{r^2} \sqrt{\frac{A(r)}{B(r)}} \frac{\partial Q}{\partial r} \right) = \\ = \frac{1}{r^2 \sin(\theta)^3} \sqrt{\frac{A(r)}{B(r)}} \frac{\partial^2 Q}{\partial t^2} . \end{aligned} \quad (7.74)$$

Rearranjando os termos da equação (7.74) teremos

$$\begin{aligned} \frac{r^4}{\sqrt{A(r)B(r)}} \frac{\partial}{\partial r} \left(\frac{1}{r^2} \sqrt{\frac{A(r)}{B(r)}} \frac{\partial Q}{\partial r} \right) - \frac{r^2}{A(r)} \frac{\partial^2 Q}{\partial t^2} = \\ = -\sin(\theta)^3 \frac{\partial}{\partial \theta} \left(\frac{1}{\sin(\theta)^3} \frac{\partial Q}{\partial \theta} \right) . \end{aligned} \quad (7.75)$$

As variáveis r, t, θ da equação (7.75) podem ser separadas fazendo a substituição

$$Q(r, t, \theta) = Q(r, t) C_{l+2}^{-3/2}(\theta) \quad (7.76)$$

onde C_n^ν é a função de Gegenbauer que é solução da equação

$$\left[\frac{d}{d\theta} \left(\sin(\theta)^{2\nu} \frac{d}{d\theta} \right) + n(n+2\nu) \sin(\theta)^{2\nu} \right] C_n^\nu(\theta) = 0 . \quad (7.77)$$

Em nosso caso

$$\sin(\theta)^3 \frac{d}{d\theta} \left(\frac{1}{\sin(\theta)^3} \frac{dC_{l+2}^{-3/2}(\theta)}{d\theta} \right) = -(l+2)(l-1) C_{l+2}^{-3/2}(\theta) . \quad (7.78)$$

Substituindo (7.76) e (7.78) em (7.75) teremos a seguinte equação

$$\begin{aligned} \frac{r^4}{\sqrt{A(r)B(r)}} \frac{\partial}{\partial r} \left(\frac{1}{r^2} \sqrt{\frac{A(r)}{B(r)}} \frac{\partial Q}{\partial r} \right) C_{l+2}^{-3/2}(\theta) - \frac{r^2}{A(r)} \frac{\partial^2 Q}{\partial t^2} C_{l+2}^{-3/2}(\theta) = \\ = C_{l+2}^{-3/2}(\theta)(l+2)(l-1)Q, \end{aligned} \quad (7.79)$$

$$\frac{r^4}{\sqrt{A(r)B(r)}} \frac{\partial}{\partial r} \left(\frac{1}{r^2} \sqrt{\frac{A(r)}{B(r)}} \frac{\partial Q}{\partial r} \right) - \frac{r^2}{A(r)} \frac{\partial^2 Q}{\partial t^2} - Q(l+2)(l-1) = 0 . \quad (7.80)$$

Rearranjando mais uma vez a equação temos

$$\begin{aligned} r^2 \sqrt{\frac{A(r)}{B(r)}} \frac{\partial}{\partial r} \left(\frac{1}{r^2} \sqrt{\frac{A(r)}{B(r)}} \frac{\partial Q}{\partial r} \right) - \frac{\partial^2 Q}{\partial t^2} - \\ - \frac{A(r)}{r^2} Q(l+2)(l-1) = 0 . \end{aligned} \quad (7.81)$$

Neste ponto faremos a seguinte mudança de variável

$$Q(r, t) = \chi(r, t) b(r), \quad r = r(r_*), \quad \Delta = r^2 \sqrt{\frac{A(r)}{B(r)}} . \quad (7.82)$$

Dessa forma nossa equação (7.81) ficará da seguinte maneira

$$\Delta \frac{\partial}{\partial r} \left(\frac{\Delta}{r^4} \frac{\partial}{\partial r} (\chi b) \right) - \frac{A(r)}{r^2} (l+2)(l-1) \chi b - b \frac{\partial^2 \chi}{\partial t^2} = 0 \quad (7.83)$$

$$\frac{\Delta}{b} \frac{\partial r_*}{\partial r} \frac{\partial}{\partial r_*} \left(\frac{\Delta}{r^4} \frac{\partial}{\partial r} (\chi b) \right) - \frac{A(r)}{r^2} (l+2)(l-1) \chi - \frac{\partial^2 \chi}{\partial t^2} = 0 . \quad (7.84)$$

Usando a notação

$$\frac{\partial a}{\partial r} = \dot{a}, \quad \frac{\partial a}{\partial r_*} = a' . \quad (7.85)$$

Nossa equação pode ser reescrita como

$$\frac{\Delta}{b} \dot{r}_* \frac{\partial}{\partial r_*} \left(\frac{\Delta}{r^4} \dot{r}_* (\chi' b + b' \chi) \right) - \frac{A(r)}{r^2} (l+2)(l-1) \chi - \frac{\partial^2 \chi}{\partial t^2} = 0 . \quad (7.86)$$

Realizando as derivadas e reagrupando os termos temos

$$\begin{aligned} & \frac{\Delta^2}{r^4} \dot{r}_*^2 \chi'' + \chi' \left(\Delta \dot{r}_*^2 \left[\frac{\Delta}{r^4} \right]' + \frac{\Delta^2}{r^4} \dot{r}_* \dot{r}'_* + \frac{2\Delta^2}{r^4} \dot{r}_*^2 \frac{b'}{b} \right) + \\ & + \chi \left[\frac{\Delta}{b} \dot{r}_*^2 \left[\frac{\Delta}{r^4} \right]' b' + \frac{\Delta^2}{r^4} \dot{r}_* \dot{r}'_* \frac{b'}{b} + \frac{\Delta^2}{r^4} \dot{r}_*^2 \frac{b''}{b} \right] - \\ & - \frac{A(r)}{r^2} (l+2)(l-1) \chi - \frac{\partial^2 \chi}{\partial t^2} = 0 . \end{aligned} \quad (7.87)$$

Queremos transformar a equação (7.87) em uma equação do tipo

$$-\frac{\partial^2 \chi}{\partial t^2} + \frac{\partial^2 \chi}{\partial r_*^2} = V(r_*) \chi . \quad (7.88)$$

Para tal, a equação (7.87) deve satisfazer as seguintes condições

$$\frac{\Delta^2}{r^4} \dot{r}_*^2 = 1 , \quad (7.89)$$

$$\left(\Delta \dot{r}_*^2 \left[\frac{\Delta}{r^4} \right]' + \frac{\Delta^2}{r^4} \dot{r}_* \dot{r}'_* + \frac{2\Delta^2}{r^4} \dot{r}_*^2 \frac{b'}{b} \right) = 0 . \quad (7.90)$$

Resolvendo a equação (7.89) teremos

$$\dot{r}_* = \frac{r^2}{\Delta} \quad \Rightarrow \quad dr_* = \frac{r^2}{\Delta} dr , \quad (7.91)$$

$$\frac{d}{dr_*} = \frac{\Delta}{r^2} \frac{d}{dr} \quad \Rightarrow \quad \frac{d}{dr_*} = \sqrt{\frac{A(r)}{B(r)}} \frac{d}{dr} . \quad (7.92)$$

Resolvendo a equação (7.90) teremos

$$\begin{aligned}
& \left(\Delta \dot{r}_*^2 \left[\frac{\Delta}{r^4} \right]' + \frac{\Delta^2}{r^4} \dot{r}_* \dot{r}_*' + \frac{2\Delta^2}{r^4} \dot{r}_*^2 \frac{b'}{b} \right) = 0 \\
& r^2 \left[\frac{1}{r^4} \frac{d\Delta}{dr} - \frac{4\Delta}{r^5} \right] + \frac{\Delta^2}{r^4} \left[\frac{2r}{\Delta} - \frac{r^2}{\Delta^2} \frac{d\Delta}{dr} \right] + 2 \frac{\Delta}{r^2} \frac{db}{dr} \frac{1}{b} = 0 \\
& -\frac{2\Delta}{r^3} + \frac{2\Delta}{r^2} \frac{db}{dr} \frac{1}{b} = 0 \\
& \frac{db}{dr} = \frac{b}{r} \quad \implies \quad b(r) = r . \tag{7.93}
\end{aligned}$$

Dessa maneira nossa função de onda será

$$Q(r, \theta, t) = r \chi(r, t) C_{l+2}^{-3/2}(\theta) . \tag{7.94}$$

Nossa equação será então

$$\begin{aligned}
& -\frac{\partial^2 \chi}{\partial t^2} + \frac{\partial^2 \chi}{\partial r_*^2} + \chi \left[\frac{\Delta}{b} \dot{r}_*^2 \left[\frac{\Delta}{r^4} \right]' b' + \frac{\Delta^2}{r^4} \dot{r}_* \dot{r}_*' \frac{b'}{b} + \frac{\Delta^2}{r^4} \dot{r}_*^2 \frac{b''}{b} \right] - \\
& -\frac{A(r)}{r^2} (l+2)(l-1) \chi = 0 . \tag{7.95}
\end{aligned}$$

Chamemos

$$\tilde{V}(r) = \left[\frac{\Delta}{b} \dot{r}_*^2 \left[\frac{\Delta}{r^4} \right]' b' + \frac{\Delta^2}{r^4} \dot{r}_* \dot{r}_*' \frac{b'}{b} + \frac{\Delta^2}{r^4} \dot{r}_*^2 \frac{b''}{b} \right] - \frac{A(r)}{r^2} (l+2)(l-1) . \tag{7.96}$$

Substituindo (7.91) e (7.92) na equação (7.96) teremos

$$\begin{aligned}
\tilde{V}(r) = & \frac{\Delta}{b} \frac{d}{dr} \left(\frac{\Delta}{r^4} \right) \frac{db}{dr} + \frac{\Delta^3}{r^6} \frac{1}{b} \frac{d}{dr} \left(\frac{r^2}{\Delta} \right) \frac{db}{dr} + \frac{\Delta}{br^2} \frac{d}{dr} \left(\frac{\Delta}{r^2} \frac{db}{dr} \right) - \\
& -\frac{A(r)}{r^2} (l+2)(l-1) . \tag{7.97}
\end{aligned}$$

Usando o fato de que $b(r) = r$ temos

$$\begin{aligned}
\tilde{V}(r) = & \frac{\Delta}{r} \left[\frac{1}{r^4} \frac{d\Delta}{dr} - \frac{4\Delta}{r^5} \right] + \frac{\Delta^3}{r^6} \frac{1}{r} \left[\frac{2r}{\Delta} - \frac{r^2}{\Delta^2} \frac{d\Delta}{dr} \right] + \frac{\Delta}{r^3} \left[\frac{1}{r^2} \frac{d\Delta}{dr} - \frac{2\Delta}{r^3} \right] - \\
& -\frac{A(r)}{r^2} (l+2)(l-1) . \tag{7.98}
\end{aligned}$$

Rearranjando os termos, nossa equação final para a perturbação gravitacional axial sobre a brana será

$$-\frac{\partial^2 \chi}{\partial t^2} + \frac{\partial^2 \chi}{\partial r_*^2} + \tilde{V}(r)\chi = 0 \quad (7.99)$$

com

$$\tilde{V}(r) = \frac{\Delta}{r^5} \frac{d\Delta}{dr} - \frac{4\Delta^2}{r^6} - \frac{A(r)}{r^2}(l+2)(l-1) . \quad (7.100)$$

Especificaremos agora cada caso estudado.

Para o caso do BN-CFM temos que a função Δ é dada por

$$\Delta = r(r-2M) \sqrt{\frac{2r-M\gamma}{2r-3M}} . \quad (7.101)$$

A função de onda que descreve a evolução do campo gravitacional será

$$Q(r, t, \theta) = \chi(r, t)r C_{\ell+2}^{-3/2}(\theta), \quad (7.102)$$

onde $C_{\ell+2}^{-3/2}$ é a função de Gegenbauer.

O potencial $\tilde{V}(r)^{CFM}$ fica

$$\begin{aligned} \tilde{V}(r) = & \frac{(r-2M)}{r^4} \left\{ \left(\frac{2r-M\gamma}{2r-3M} \right) (6M-2r) - \right. \\ & \left. - \left[(\ell+2)(\ell-1)r + \frac{r(r-2M)M(3-\gamma)}{(2r-3M)^2} \right] \right\} . \quad (7.103) \end{aligned}$$

Substituindo $\gamma = \beta + 3$ teremos

$$\begin{aligned} \tilde{V}(r) = & \left(1 - \frac{2M}{r} \right) \left\{ \frac{6M - (\mu+2)r}{r^3} - \right. \\ & \left. - \frac{M\beta}{r^3(2r-3M)} \left[\frac{(2r-3M)(6M-2r) - r(r-2M)}{(2r-3M)} \right] \right\} \quad (7.104) \end{aligned}$$

onde $\mu = (\ell+2)(\ell-1)$ e ℓ são os índices de multipolos.

Assim a equação que governa a evolução do campo gravitacional no exterior do BN-CFM é dada por

$$-\frac{\partial^2 \chi}{\partial t^2} + \frac{\partial^2 \chi}{\partial r_*^2} + \tilde{V}(r)\chi = 0 , \quad (7.105)$$

com

$$\begin{aligned}\tilde{V}(r) = & \left(1 - \frac{2M}{r}\right) \left\{ \frac{6M - (\mu + 2)r}{r^3} - \right. \\ & \left. - \frac{M\beta}{r^3(2r - 3M)} \left[\frac{(2r - 3M)(6M - 2r) - r(r - 2M)}{(2r - 3M)} \right] \right\} \quad (7.106)\end{aligned}$$

Para o caso do BN-SM a função Δ é dada por

$$\Delta = (r^2 - h^2) \sqrt{1 + \frac{C - h}{\sqrt{2r^2 - h^2}}}. \quad (7.107)$$

A função de onda que descreve a evolução do campo gravitacional será

$$Q(r, t, \theta) = \chi(r, t) r C_{\ell+2}^{-3/2}(\theta), \quad (7.108)$$

onde $C_{\ell+2}^{-3/2}$ é a função de Gegenbauer.

O potencial $\tilde{V}(r)^{SM}$ torna-se

$$\begin{aligned}\tilde{V}(r) = & \frac{(r^2 - h^2)}{r^5} \sqrt{1 + \frac{C - h}{\sqrt{2r^2 - h^2}}} \left\{ \sqrt{1 + \frac{C - h}{\sqrt{2r^2 - h^2}}} \left(\frac{h^2 - 2r^2}{r} \right) - \right. \\ & \left. - \left(1 + \frac{C - h}{\sqrt{2r^2 - h^2}} \right)^{-1/2} \left(\mu r + \frac{r(C - h)(r^2 - h^2)}{(2r^2 - h^2)^{3/2}} \right) \right\},\end{aligned}$$

$$\begin{aligned}\tilde{V}(r) = & \frac{(r^2 - h^2)}{r^5} \left\{ \left(1 + \frac{C - h}{\sqrt{2r^2 - h^2}} \right) \left(\frac{h^2 - 2r^2}{r} \right) - \right. \\ & \left. - \left(\mu r + \frac{r(C - h)(r^2 - h^2)}{(2r^2 - h^2)^{3/2}} \right) \right\}, \quad (7.109)\end{aligned}$$

onde $\mu = (\ell + 2)(\ell - 1)$ e ℓ são os índices de multipolos.

Portanto a equação que governa a evolução do campo gravitacional no exterior do BN-SM é dada por

$$-\frac{\partial^2 \chi}{\partial t^2} + \frac{\partial^2 \chi}{\partial r_*^2} + \tilde{V}(r)\chi = 0 \quad (7.110)$$

com

$$\begin{aligned}\tilde{V}(r) = & \frac{(r^2 - h^2)}{r^5} \left\{ \left(1 + \frac{C - h}{\sqrt{2r^2 - h^2}} \right) \left(\frac{h^2 - 2r^2}{r} \right) - \right. \\ & \left. - \left(\mu r + \frac{r(C - h)(r^2 - h^2)}{(2r^2 - h^2)^{3/2}} \right) \right\}. \quad (7.111)\end{aligned}$$

7.2 Estabilidade de um BN-CFM e BN-SM

Nesta seção faremos uma análise sobre a estabilidade do BN-CFM e do BN-SM quando submetidos à perturbação de um campo escalar Ψ não-massivo. Para tal usaremos o mesmo procedimento adotado no exemplo dado no capítulo 4. A pergunta a ser respondida por nossa análise será se a perturbação sobre o buraco negro cresce arbitrariamente com o tempo. Se a resposta for positiva o buraco negro é instável, ou seja, uma leve perturbação é capaz de destruí-lo.

BN-CFM

Para o estudo da estabilidade do BN-CFM utilizaremos duas análises diferentes. Se for possível encontrar valores de β para o qual o potencial efetivo seja positivo definido podemos garantir a estabilidade dos buracos negros pelos argumentos apresentados no capítulo 4. Se o potencial efetivo apresentar alguma região onde ele possa assumir valores negativos, qualquer que seja o valor de β , precisaremos utilizar os resultados da solução numérica para observar se o campo decai com o tempo, o que indicaria a estabilidade do buraco negro.

A equação radial que governará a evolução da perturbação escalar no exterior do BN-CFM será

$$\frac{\partial^2 R}{\partial r_*^2} + (\omega^2 - V_{esc}^{CFM}(r))R = 0 \quad (7.112)$$

onde

$$V_{esc}^{CFM}(r) = \left(1 - \frac{2M}{r}\right) \left\{ \frac{\ell(\ell+1)}{r^2} + \frac{2M}{r^3} + \right. \quad (7.113)$$

$$\left. + \frac{M\beta}{r(2r-3M)^2} \left[1 - \frac{6M}{r} + \frac{6M^2}{r^2}\right] \right\}. \quad (7.114)$$

Investigando o potencial V_{esc}^{CFM} para $M = 1$ por exemplo, veremos que ele apresenta três regimes distintos dependendo dos valores de β .

O primeiro acontece quando ele é positivo definido, independentemente do índice de multipolo ℓ . Verificamos, via inspeção direta que este regime se dá quando $1 > \beta \gtrsim -8$, ou seja, para valores pequenos de β .

Observemos o comportamento do potencial V_{esc}^{CFM} na figura (7.3) para valores pequenos de β

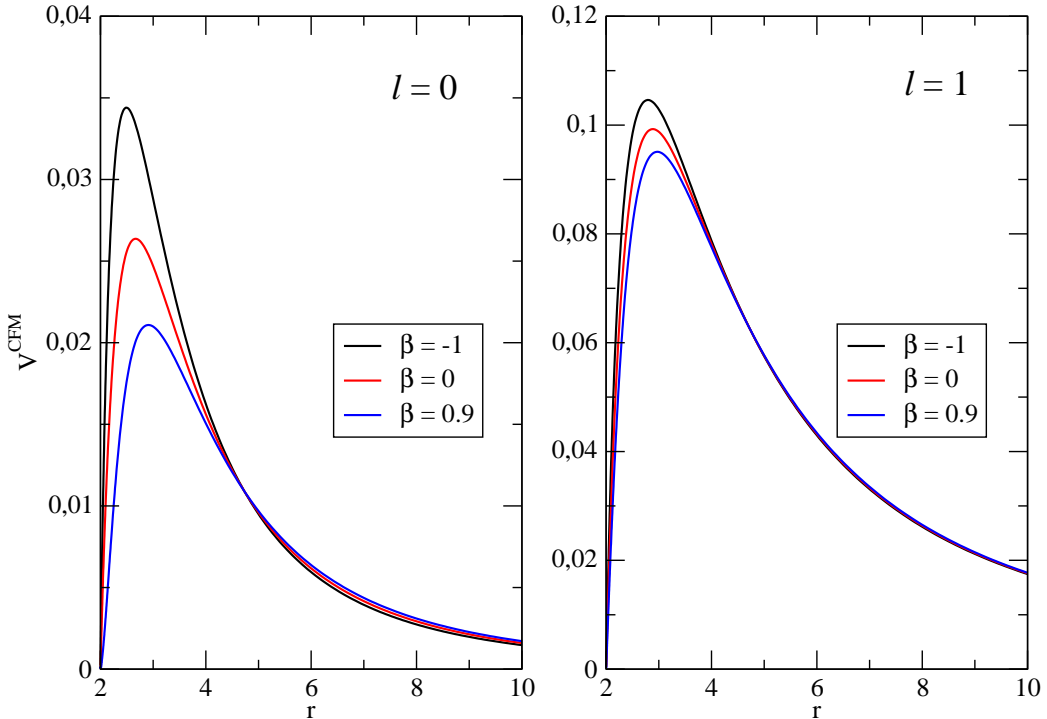


Figura 7.3: Evolução do campo escalar no BN-CFM com $M = 1$ sobre $r_* = 0$.

Podemos ver que o potencial é nulo sobre o horizonte de eventos, cresce até um máximo e vai a zero para valores de r grandes. Portanto para esse intervalo de valores de β podemos garantir a estabilidade dos buracos negros devido ao fato do potencial ser positivo definido. Os resultados obtidos numericamente no capítulo 8 concordam com nosso critério de estabilidade uma vez que para esse intervalo de valores de β o campo decai com tempo.

O segundo regime acontece quando o potencial é inicialmente positivo, mas apresenta um comportamento do tipo poço para valores mais altos de r . Neste caso o potencial vai a zero para r grande por baixo. Esse comportamento se dá quando $\beta \lesssim -8$ dependendo do valor de ℓ .

Neste caso precisaremos dos resultados numéricos para sabermos se o campo decai com o tempo.

Vejamos na figura (7.4) exemplos onde, o potencial apresenta o comportamento referido anteriormente.

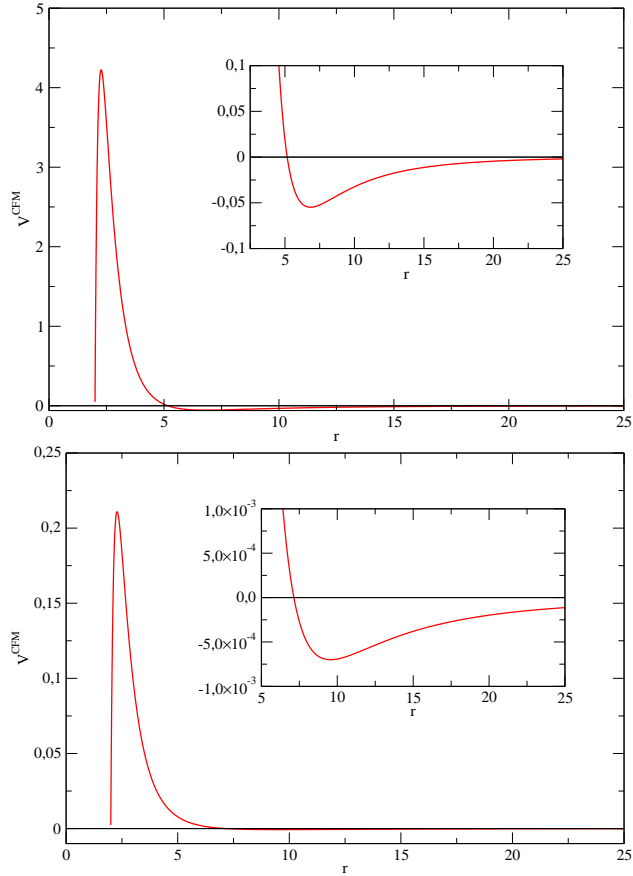


Figura 7.4: Evolução do campo escalar no BN-CFM com $M = 1$, $\beta = -390$ e $\ell = 1$ sobre $r_* = 0$ (acima) e $M = 1$, $\beta = -15$ e $\ell = 0$ sobre $r_* = 0$ (embaixo).

O potencial é zero sobre o horizonte de eventos, crescendo até um máximo, caindo até um ponto de mínimo e indo a zero para valores de r grande. Nos detalhes das figuras podemos ver que os poços de potenciais são bem rasos quando comparados com os máximos dos potenciais. Para os respectivos casos acima mostrados temos as seguintes relações de proporção entre os máximos e mínimos dos potenciais:

$$\left| \frac{V_{min}^{CFM}}{V_{max}^{CFM}} \right| \approx 10^{-3} \quad \left| \frac{V_{min}^{CFM}}{V_{max}^{CFM}} \right| \approx 10^{-2}. \quad (7.115)$$

Essa diferença de magnitude explica porque, mesmo apresentando regiões onde os potenciais são negativos, os buracos negros estudados devem ser

estáveis. Como os poços são muito rasos os potenciais podem ser encarados como “quase” positivos definidos entrando assim no critério de estabilidade. Mais uma vez, a evolução numérica do campo mostrada no capítulo 8 confirma a estabilidade dos buracos negros em questão uma vez que os campos decaem a zero com o tempo.

Há ainda um terceiro regime quando o potencial parte do zero crescendo até um ponto de máximo primário, apresentando em seguida uma região intermediária do tipo poço que cresce novamente até alcançar um ponto de máximo secundário caindo a zero para valores altos de r . Esse regime se dá quando, β assume valores grandes e negativos e um certo valor de ℓ é assumido. Neste caso também precisaremos dos resultados numéricos para sabermos se o campo decaiu com o tempo.

Vejamos na figura (7.5) um exemplo onde, o potencial apresenta o comportamento referido anteriormente.

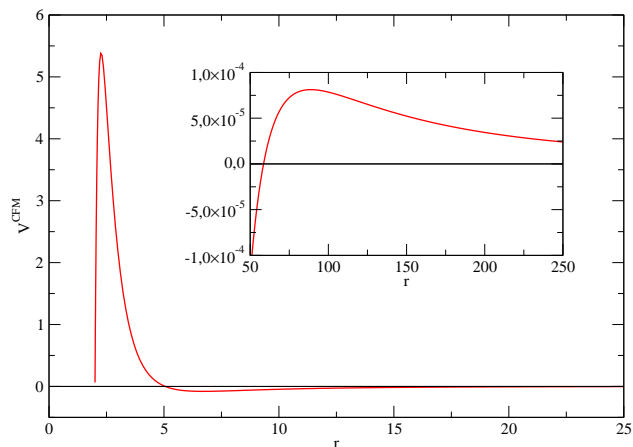


Figura 7.5: Evolução do campo escalar no BN-CFM com $M = 1$, $\beta = -500$ e $\ell = 5$ sobre $r_* = 0$

Observamos no detalhe da figura que o poço de potencial é raso em comparação com o valor do máximo primário. Neste caso a relação de proporção entre o máximo e o mínimo é

$$\left| \frac{V_{min}^{CFM}}{V_{max}^{CFM}} \right| \approx 10^{-2}. \quad (7.116)$$

Entretanto, como declarado no regime anterior, nada podemos dizer sobre a estabilidade desse buraco negro sem avaliar os resultados numéricos da evolução do campo escalar.

BN-SM

Para o estudo da estabilidade do BN-SM utilizaremos novamente o mesmo procedimento adotado para o BN-CFM.

Se for possível valores de C para o qual o potencial efetivo seja positivo definido podemos garantir a estabilidade dos buracos negros pelos argumentos apresentados no capítulo 4.

Se o potencial efetivo apresentar alguma região onde ele possa assumir valores negativos, qualquer que seja o valor de C , precisaremos utilizar os resultados da solução numérica para observar se o campo decaiu com o tempo, o que indicaria a estabilidade do buraco negro.

A equação radial que governará a evolução da perturbação escalar no exterior do BN-SM será

$$\frac{\partial^2 R}{\partial r_*^2} + (\omega^2 - V_{esc}^{SM}(r))R = 0 \quad (7.117)$$

onde

$$\begin{aligned} V_{esc}^{SM}(r) = & \left(1 - \frac{h^2}{r^2}\right) \left\{ \frac{\ell(\ell+1)}{r^2} + \frac{2h^2}{r^4} \right. \\ & \left. + \frac{C-h}{\sqrt{2r^2-h^2}} \left[\frac{2h^2}{r^4} - \frac{r^2-h^2}{r^2(2r^2-h^2)} \right] \right\}. \end{aligned} \quad (7.118)$$

Investigando o potencial V_{esc}^{SM} veremos que ele também apresenta três regimes distintos dependendo dos valores de C .

Diferentemente do potencial V_{esc}^{CFM} , o comportamento do potencial V_{esc}^{SM} depende mais fortemente dos valores adotados para h e ℓ . Essa influência pode ser observada no último termo do potencial. Dependendo do ajuste entre C e h esse termo pode ser negativo ou positivo podendo alterar o comportamento assintótico de V_{esc}^{SM} quando $r \rightarrow \infty$.

Portanto precisamos estudar caso a caso para sabermos se algum buraco negro dessa classe é estável.

Apresentaremos apenas um exemplo para ilustrar o comportamento dos potenciais. Estudaremos o caso para $h = 1$.

O primeiro regime acontece quando o potencial é positivo definido. No caso desse buraco negro esse regime só aparece para $C = h = 1$ de modo independente do valor de ℓ .

Observemos o comportamento do potencial V_{esc}^{SM} nesta condição.

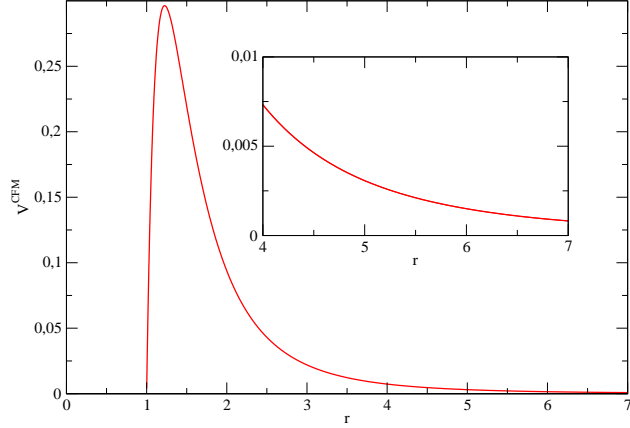


Figura 7.6: Evolução do campo escalar no BN-SM com $h = 1$, $\ell = 0$, $C = 1$ sobre $r_* = 0$.

Podemos ver que o potencial é nulo sobre o horizonte de eventos h , cresce até um máximo e vai a zero para valores de r grandes.

Como o potencial é positivo definido, o buraco negro com $C = 1$ pode ser considerado estável. Os resultados numéricos da evolução do campo obtida no capítulo 8 confirmam a estabilidade do buraco negro para esses valores de h , C e ℓ .

O segundo regime acontece quando o potencial é inicialmente positivo, mas apresenta um comportamento do tipo poço para valores mais altos de r . Neste caso o potencial vai a zero para r grande por baixo. Ele se dá para valores de $C > 1$ dependendo do valor de ℓ .

Esse regime é ilustrado na figura (7.7).

Podemos ver que o potencial é zero sobre o horizonte de eventos, crescendo até um máximo, caindo em seguida até um ponto de mínimo e indo a zero para valores de r grande. No detalhe da figura (7.7) podemos ver, novamente como no caso do BN-CFM, que o poço de potencial é raso quando comparado com o máximo do potencial.

Para este caso temos a seguinte relação de proporção entre o máximo e mínimo do potencial:

$$\left| \frac{V_{min}^{CFM}}{V_{max}^{CFM}} \right| \approx 10^{-2} . \quad (7.119)$$

Como o poço é muito raso o potencial pode ser encarado como “quase” positivo definido entrando assim no critério de estabilidade.

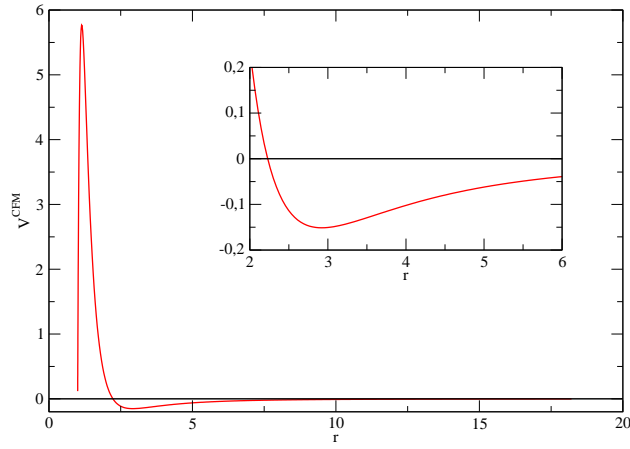


Figura 7.7: Evolução do campo escalar no BN-SM com $h = 1$, $\ell = 0$, $C = 30$ sobre $r_* = 0$.

Entretanto apenas uma investigação mais profunda da evolução do campo escalar com tempo pode definir se esses buracos negros são estáveis. Neste caso precisaremos dos resultados numéricos para sabermos se o campo cai com o tempo.

Há ainda um terceiro regime quando o potencial é nulo sobre o horizonte de eventos crescendo até um ponto de máximo primário, apresentando em seguida uma região intermediária do tipo poço que cresce novamente até alcançar um ponto de máximo secundário caindo a zero para valores altos de r . Esse regime se dá quando, $C > 34$ e um certo valor de ℓ é assumido.

Neste caso também precisaremos dos resultados numéricos para sabermos se o campo cai com o tempo.

Vejamos na figura (7.8) um exemplo onde, o potencial apresenta o comportamento referido anteriormente.

Novamente observamos que o poço de potencial é raso em comparação com o valor do máximo primário. Neste caso a relação de proporção entre o máximo e o mínimo é

$$\left| \frac{V_{min}^{CFM}}{V_{max}^{CFM}} \right| \approx 10^{-3}. \quad (7.120)$$

Entretanto, como declarado no regime anterior, nada podemos dizer sobre a estabilidade desse buraco negro sem avaliar os resultados numéricos da evolução do campo escalar.

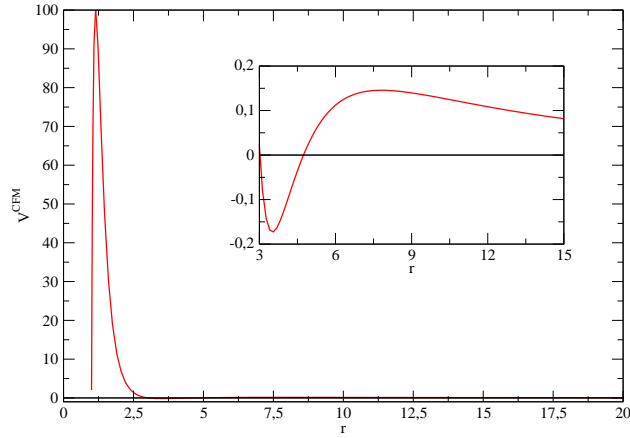


Figura 7.8: Evolução do campo escalar no BN-CFM com $h = 1$, $C = 500$ e $\ell = 5$ sobre $r_* = 0$

7.3 Termodinâmica de BN-CFM e BN-SM

O tratamento termodinâmico apresentado no capítulo 5 será utilizado nesta seção para o cálculo do limite superior da entropia S_m de um corpo arbitrário caindo no BN-CFM e no BN-SM que estão localizados sobre a brana. O formalismo desenvolvido não necessita de nenhuma adaptação no contexto de branas diferentemente da evolução de campos.

Buraco Negro-CFM

Seja um corpo de raio próprio R e massa própria m caindo livremente no BN-CFM. O horizonte de eventos r_h para o BN-CFM é dado por

$$g_{tt}|_{r=r_h} = 0 \quad \Rightarrow \left(1 - \frac{2M}{r}\right) = 0 \quad \Rightarrow r_h = 2M . \quad (7.121)$$

A gravidade superficial κ para esse buraco negro sobre seu horizonte de eventos será

$$\kappa = \frac{1}{2M} \sqrt{1 - \frac{\gamma}{4}} . \quad (7.122)$$

As constantes de movimento associadas a t e ϕ quando consideramos o movimento do corpo no plano equatorial $\theta = \pi/2$ serão

$$E = - \left(1 - \frac{2M}{r} \right) \dot{t}, \quad (7.123)$$

$$J = -r^2 \dot{\phi}. \quad (7.124)$$

Portanto a equação quadrática para a energia conservada E do corpo que está caindo no buraco negro será

$$\alpha E^2 - 2\beta E + \sigma = 0 \quad (7.125)$$

com

$$\begin{aligned} \alpha &= r^4, \\ \beta &= 0, \\ \sigma &= -r(r - 2M)(m^2 r^2 + J^2). \end{aligned}$$

Como nosso corpo não é uma partícula, ele possui dimensão e consequentemente um centro de massa. Portanto obtemos o novo ponto de captura $r = 2M + \delta$ calculando δ como

$$\int_{2M}^{2M+\delta} \sqrt{\frac{r(r - 3M/2)}{(r - 2M)(r - M\gamma/2)}} dr = R. \quad (7.126)$$

Integrando a equação (7.126) e realizando uma expansão em série teremos

$$\delta = \frac{R^2}{4M^2} \left(2M - \frac{M\gamma}{2} \right). \quad (7.127)$$

Igualando a energia E sobre o ponto de captura $r = 2M + \delta$ teremos após uma expansão até ordem de $\delta^{1/2}$, o valor da energia de captura E_{cap}

$$E_{cap} = \left[\frac{(m^2 4M^2 + J^2)(2M - M\gamma/2)}{(2M)^5} \right]^{1/2} R. \quad (7.128)$$

Conseqüentemente a energia mínima E_{min} , que é obtida quando $J = 0$, será

$$E_{min} = \left[\frac{m^2 (2M - M\gamma/2)}{(2M)^3} \right]^{1/2} R. \quad (7.129)$$

Da Primeira Lei da termodinâmica de buracos negros temos

$$dM = \frac{\kappa}{2} dA_r. \quad (7.130)$$

Lembrando que da equação de Einstein $E = mc^2$ temos, $dM = E_{min}$ e substituindo o valor de κ sobre o horizonte de eventos na equação acima teremos

$$\begin{aligned} E_{min} &= \frac{1}{4M} \sqrt{1 - \frac{\gamma}{4}} dA_r, \\ \left[\frac{m^2(2M - M\gamma/2)}{(2M)^3} \right]^{1/2} R &= \frac{1}{4M} \sqrt{1 - \frac{\gamma}{4}} dA_r, \\ dA_r &= 2mR. \end{aligned} \quad (7.131)$$

Por fim assumindo ser válida a Segunda Lei Generalizada, $S_{bn}(M + dM) \geq S_{bn}(M) + S_m$, obtemos um limite superior para a entropia S_m associada a um corpo com energia própria E , absorvido pelo BN-CFM, que é dado por

$$\begin{aligned} \frac{A + dA}{4} &\geq \frac{A}{4} + S_m, \\ \frac{dA}{4} &\geq S_m, \\ \frac{4\pi dA_r}{4} &\geq S_m, \\ S_m &\leq 2\pi ER. \end{aligned} \quad (7.132)$$

Como podemos observar, a influência do *bulk* não se manifesta no limite superior da entropia S_m , uma vez que o limite independe do parâmetro β . Isso confirma a universalidade desse limite no sentido de que o limite depende apenas dos parâmetros do corpo em queda, independendo dos parâmetros do buraco negro.

Buraco Negro-SM

Seja um corpo de raio próprio R e massa própria m caindo livremente no BN-SM. Calculemos o horizonte de eventos r_h para o BN-SM

$$g_{tt}|_{r=r_h} = 0 \implies \left(1 - \frac{h^2}{r^2}\right) = 0 \implies r_h = h. \quad (7.133)$$

A gravidade superficial κ para BN-SM sobre seu horizonte de eventos será

$$\kappa = \frac{1}{h} \sqrt{\frac{C}{h}}. \quad (7.134)$$

As constantes de movimento associadas a t e ϕ quando consideramos o movimento do corpo no plano equatorial $\theta = \pi/2$ serão

$$E = - \left(1 - \frac{h^2}{r^2}\right) \dot{t}, \quad (7.135)$$

$$J = -r^2 \dot{\phi}. \quad (7.136)$$

Portanto a equação quadrática para a energia conservada E do corpo que está caindo no BN-SM será

$$\alpha E^2 - 2\beta E + \sigma = 0 \quad (7.137)$$

com

$$\begin{aligned} \alpha &= r^4, \\ \beta &= 0, \\ \sigma &= -(r^2 - h^2)(m^2 r^2 + J^2). \end{aligned}$$

Como nosso corpo não é uma partícula, ele possui dimensão e consequentemente um centro de massa. Portanto o ponto de captura do corpo será $r = r_h + \delta$. O valor de δ é dado por

$$\int_h^{h+\delta} \sqrt{\frac{1}{\left(1 - \frac{h^2}{r^2}\right) \left(1 + \frac{C-h}{\sqrt{2r^2-h^2}}\right)}} dr = R \quad (7.138)$$

onde após uma integração e uma expansão série até a ordem de $\delta^{1/2}$ teremos

$$\delta = \frac{CR^2}{2h^2}. \quad (7.139)$$

Igualando a energia E sobre o ponto de captura $r = h + \delta$ teremos o valor da energia de captura E_{cap} que foi calculado de maneira análoga ao buraco negro anterior após uma expansão em série

$$E_{cap} = \left[\frac{(m^2 h^2 + J^2) CR^2}{h^5} \right]^{1/2}. \quad (7.140)$$

Conseqüentemente a energia mínima E_{min} , que é obtida quando $J = 0$, será

$$E_{min} = \left[\frac{CR^2 m^2}{h^3} \right]^{1/2}. \quad (7.141)$$

Da Primeira Lei da termodinâmica de buracos negros temos

$$dM = \frac{\kappa}{2} dA_r . \quad (7.142)$$

Lembrando que $dM = E_{min}$ e substituindo o valor de κ sobre o horizonte de eventos na equação acima teremos

$$\begin{aligned} E_{min} &= \frac{1}{2h} \sqrt{\frac{C}{h}} dA_r , \\ \sqrt{\frac{m^2 CR^2}{h^3}} &= \frac{1}{2h} \sqrt{\frac{C}{h}} dA_r , \\ dA_r &= 2mR . \end{aligned} \quad (7.143)$$

Por fim supondo ser válida a Segunda Lei Generalizada, $S_{bn}(M + dM) \geq S_{bn}(M) + S_m$, obtemos um limite superior para a entropia S_m associada a um corpo com energia própria E , absorvido pelo BN-SM, que é dado por

$$\begin{aligned} \frac{A + dA}{4} &\geq \frac{A}{4} + S_m , \\ \frac{dA}{4} &\geq S_m , \\ \frac{4\pi dA_r}{4} &\geq S_m , \\ S_m &\leq 2\pi ER . \end{aligned} \quad (7.144)$$

Apesar deste buraco negro possuir propriedades um tanto quanto exóticas como não possuir uma massa de Schwarzschild, ele também obedece ao limite superior sendo independente das características do *bulk*.

Capítulo 8

Resultados Numéricos

Encerrando nossa jornada observamos que, a máquina bem dirigida, aliada ao espírito de investigação, nos proporciona grandes desenvolvimentos no entendimento do Universo e permite-nos trilhar novos caminhos com alguma segurança.

Neste capítulo apresentaremos os resultados obtidos para a evolução dos campos no exterior do BN-CFM e do BN-SM e o método numérico utilizado.

8.1 Apresentação do Método Numérico

O método numérico utilizado para a solução das equações diferenciais que descrevem a evolução dos campos no exterior dos buracos negros estudados é o mesmo utilizado em [37].

8.1.1 Problema de Condições Iniciais Características

Trata-se do método de integração com condições iniciais características, baseado na especificação de condições iniciais em hipersuperfícies nulas.

Neste trabalho utilizamos um esquema específico que é conhecido como “problema das duplas coordenadas nulas”.

Como as equações que governam a evolução dos campos no exterior do buraco negro se reduziram a uma equação em $(1 + 1)$ dimensões devemos utilizar um esquema compatível com essas condições.

A equação de movimento, escrita usando as coordenadas nulas $u = t - r_*$ e $v = t + r_*$, será

$$\frac{\partial^2 \psi(u, v)}{\partial u \partial v} = -\frac{1}{4}V(r(u, v))\psi(u, v). \quad (8.1)$$

Esse esquema consiste em especificarmos o campo ψ na fronteira de um ângulo delimitado pelas semi-retas $u = u_0 (v \geq v_0)$ e $v = v_0 (u \geq u_0)$, que se interceptam no ponto (u_0, v_0) conforme pode ser visto na figura 8.1

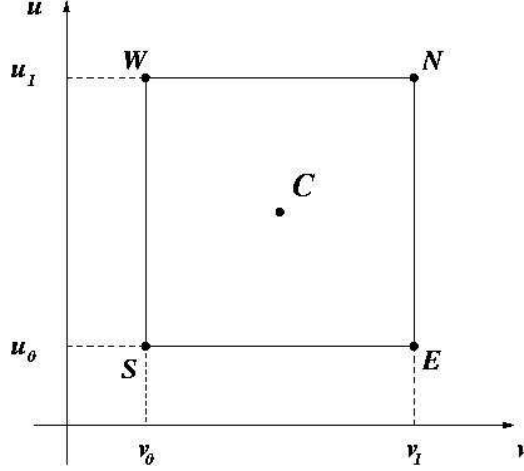


Figura 8.1: Ilustração do esquema de duplas coordenadas nulas.

8.1.2 Discretização

Passemos ao método para a discretização do plano $u - v$.

Uma possível forma de obtenção deste método é transformar a equação (8.1) em uma equação integral. Integrando a equação (8.1) em um retângulo nulo do plano $u - v$ delimitado pelos pontos N, S, E, W teremos

$$\int \frac{\partial^2 \psi(u, v)}{\partial u \partial v} du dv = -\frac{1}{4} \int V(u, v) \psi(u, v) du dv. \quad (8.2)$$

Escrevemos as integrais de superfície como

$$\int_{v_0}^{v_1} \left[\int_{u_0}^{u_1} \frac{\partial^2 \psi(u, v)}{\partial u \partial v} du \right] dv = -\frac{1}{4} \int_{v_0}^{v_1} \left[\int_{u_0}^{u_1} V(u, v) \psi(u, v) du \right] dv. \quad (8.3)$$

Resolvendo o lado esquerdo da equação (8.3) teremos

$$\begin{aligned} \int_{v_0}^{v_1} \left[\int_{u_0}^{u_1} \frac{\partial^2 \psi(u, v)}{\partial u \partial v} du \right] dv &= \int_{v_0}^{v_1} \frac{\partial}{\partial v} \left[\int_{u_0}^{u_1} \frac{\partial \psi(u, v)}{\partial u} du \right] dv \\ &= \psi(u_1, v_1) - \psi(u_1, v_0) - \psi(u_0, v_1) + \psi(u_0, v_0) \\ &= \psi(N) - \psi(W) - \psi(E) + \psi(S). \end{aligned} \quad (8.4)$$

Assim a equação (8.2) se reduz a

$$\psi(N) - \psi(W) - \psi(E) + \psi(S) = -\frac{1}{4} \int_{v_0}^{v_1} \int_{u_0}^{u_1} V(u, v) \psi(u, v) \, du \, dv. \quad (8.5)$$

Definiremos uma função $p(u, v)$ como

$$p(u, v) = V(u, v) \psi(u, v) \quad (8.6)$$

de forma que

$$\int_{v_0}^{v_1} \int_{u_0}^{u_1} V(u, v) \psi(u, v) \, du \, dv = \int_{v_0}^{v_1} \int_{u_0}^{u_1} p(u, v) \, du \, dv. \quad (8.7)$$

Sem perda de generalidade, escolheremos a origem do plano $u - v$ de modo que o ponto $(0, 0)$ esteja sobre o centro do retângulo. Desta forma a integral (8.7) fica

$$\int_{v_0}^{v_1} \int_{u_0}^{u_1} p(u, v) \, du \, dv = \int_{-\Delta v/2}^{+\Delta v/2} \int_{-\Delta u/2}^{+\Delta u/2} p(u, v) \, du \, dv. \quad (8.8)$$

Usando o teorema do valor médio teremos

$$\int_{-\Delta v/2}^{+\Delta v/2} \int_{-\Delta u/2}^{+\Delta u/2} p(u, v) \, du \, dv = p(u', v') \Delta u \Delta v, \quad (8.9)$$

onde $(u', v') \in [-\Delta u/2, +\Delta u/2] \otimes [-\Delta v/2, +\Delta v/2]$. Supondo que $p(u, v)$ seja pelo menos diferenciável duas vezes em u e v , podemos expandir $p(u', v')$ em termos de $p(0, 0)$, de forma que

$$p(u', v') = p(0, 0) + \left. \frac{\partial p}{\partial u} \right|_{(0,0)} u' + \left. \frac{\partial p}{\partial v} \right|_{(0,0)} v' + o(\Delta^2). \quad (8.10)$$

Então podemos reescrever a equação (8.9) na forma

$$\begin{aligned} \int_{-\Delta v/2}^{+\Delta v/2} \int_{-\Delta u/2}^{+\Delta u/2} p(u, v) \, du \, dv &= p(0, 0) \Delta u \Delta v + \Delta v \int_{-\Delta u/2}^{+\Delta u/2} u' du \\ &+ \Delta u \int_{-\Delta v/2}^{+\Delta v/2} v' dv + O(\Delta^4) \\ &= p(0, 0) \Delta u \Delta v + o(\Delta^4). \end{aligned} \quad (8.11)$$

Substituindo a equação (8.11) na equação integral de movimento (8.5) teremos

$$\psi(N) - \psi(W) - \psi(E) + \psi(S) = -\frac{1}{4} V(C) \psi(C) \Delta u \Delta v + o(\Delta^4). \quad (8.12)$$

Por outro lado, podemos fazer a seguinte consideração

$$\psi(C) = \frac{1}{2} [\psi(E) + \psi(W)] + o(\Delta^4). \quad (8.13)$$

Lembrando que o potencial depende apenas de r e que consequentemente ele tem o mesmo valor nos pontos C e S

$$V(C) = V(S), \quad (8.14)$$

podemos escrever nossa equação de movimento de forma discretizada como

$$\psi(N) = \psi(E) + \psi(W) - \psi(S) - \frac{V(S)\Delta u \Delta v}{8} [\psi(E) + \psi(W)] + o(\Delta^4) \quad (8.15)$$

A equação (8.15) é a base do método numérico utilizado neste trabalho assim como do trabalho [44].

8.2 Resultados

Nesta seção apresentaremos a evolução dos campos, obtidas das soluções das equações de perturbação através do cálculo numérico. A estabilidade dos buracos negros, os regimes quasi-normais e os comportamentos assintóticos são discutidos.

BN-CFM

A função de onda que representa a evolução do campo escalar não massivo Ψ no exterior do BN-CFM é dada por

$$\Psi(r, t, \theta, \phi) = \frac{R(r, t)}{r} Y_{\ell m}(\theta, \phi) . \quad (8.16)$$

O comportamento de $R(r, t)$, que é solução da parte radial da equação de Klein-Gordon, no exterior do BN-CFM é apresentado na figura 8.2 para valores de $\ell = 1, 2$.

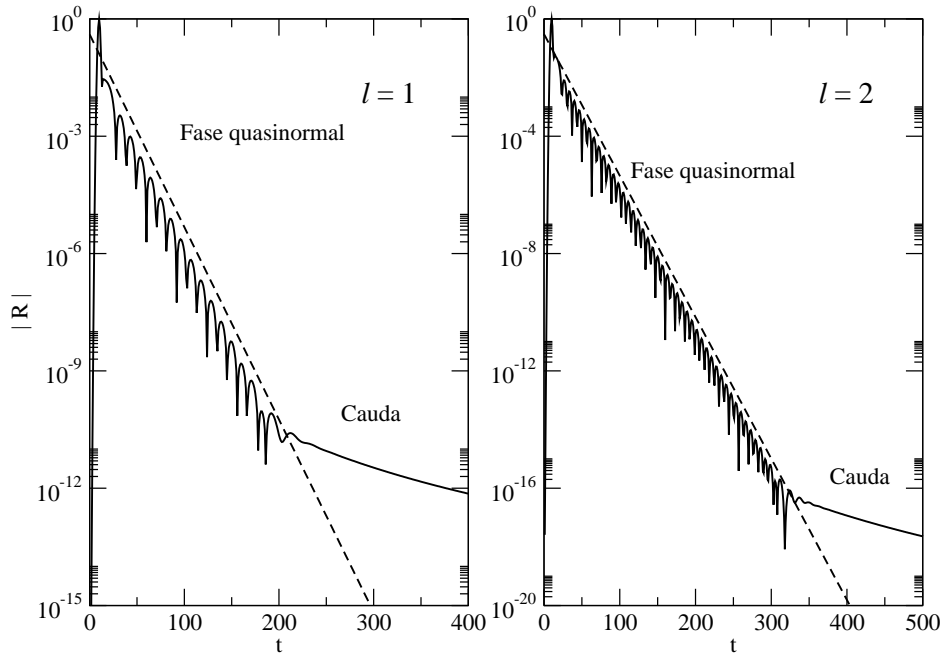


Figura 8.2: Evolução temporal do campo escalar dado por $R(r, t)$ em $r_* = 0$ com $\beta = -1$.

Como podemos observar, a evolução do campo escalar possui três regimes distintos.

Inicialmente o campo apresenta uma fase transiente. Logo após temos a fase quasi-normal, sendo atenuada exponencialmente. Essa atenuação exponencial é representada pela reta decrescente tracejada no gráfico. Nesta fase o campo oscila com freqüência quasi-normal $\omega = \omega_R + i \omega_i$ onde a parte imaginária da freqüência ω_i é responsável pelo atenuamento.

Após essa fase o campo apresenta um decaimento na forma de lei de potências. Essa fase posterior é conhecida como a cauda da perturbação. Como podemos observar, a influência do *bulk* não alterou a forma do comportamento do campo. Diferentemente da perturbação escalar de uma corda negra, o comportamento assintótico, para tempos suficientemente grandes, do BN-CFM, é idêntico ao buraco negro de Schwarzschild (3+1) dimensional.

O comportamento das caudas da perturbação escalar para o BN-CFM com $\beta = -1$ sobre o horizonte de eventos é apresentado na figura 8.3

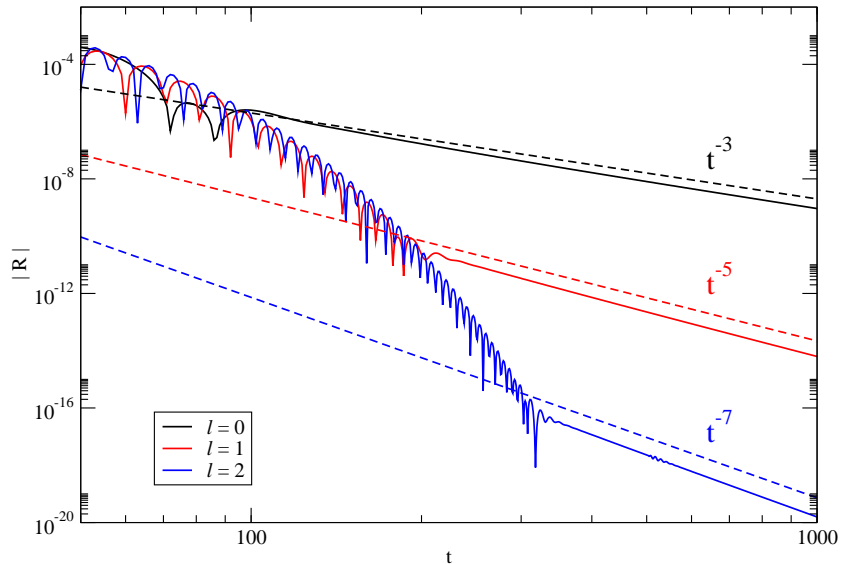


Figura 8.3: Caudas para o BN-CFM com $M = 1$, $\beta = -1$, $r_* = 0$ e multipolos $\ell = 0, 1, 2$.

Esse decaimento como lei de potência é devido à forma do potencial V_{esc}^{CFM} .

Ching [20] demonstrou analiticamente que potenciais que possuem a forma assintótica, do tipo

$$V(r) \approx \frac{\ell(\ell+1)}{r_*^2} + \frac{K_1}{r_*^\alpha} \log\left(\frac{r_*}{a}\right) \quad \text{quando } r_* \rightarrow \infty, \quad (8.17)$$

onde K_1 e a são constantes, geram uma cauda que decai na forma de $t^{-(2\ell+\alpha)}$ para valores de $\alpha < 2\ell + 3$. No caso do potencial V_{esc}^{CFM} a forma assintótica satisfaz a equação (8.17) para $\alpha = 3$ e $\ell \neq 0$. Neste mesmo trabalho Ching mostra também que se o potencial tem a forma

$$V(r) \approx \frac{K_1}{r_*^\alpha} \quad \text{quando } r_* \rightarrow \infty, \quad (8.18)$$

a cauda decai na forma de $t^{-\alpha}$ se $\alpha > 2$ e real. No caso do potencial V_{esc}^{CFM} a forma assintótica satisfaz a equação (8.18) para $\alpha = 3$ e $\ell = 0$.

Portanto as caudas da perturbação escalar decaem como

$$t^{-(2\ell+3)} \quad \text{quando } \ell \neq 0 \quad (8.19)$$

$$t^{-3} \quad \text{quando } \ell = 0 \quad (8.20)$$

Como podemos ver na figura 8.3 e nas equações acima, esse decaimento depende do índice de multipolo ℓ . O decaimento é mais rápido para valores de ℓ mais altos.

As figuras 8.2 e 8.3 mostram que o campo escalar decai com o tempo o que nos sugere que o BN-CFM é estável quando submetido a perturbações escalares. Essa estabilidade é preservada mesmo para os casos onde o potencial V_{esc}^{CFM} apresenta regiões negativas.

BN-SM

Novamente apresentaremos apenas um exemplo para ilustrar a evolução do campo escalar. Estudaremos o caso para $h = 1$.

A função de onda que representa a evolução do campo escalar não-massivo Ψ no exterior do BN-CFM é dada por

$$\Psi(r, t, \theta, \phi) = \frac{R(r, t)}{r} Y_{lm}(\theta, \phi) . \quad (8.21)$$

O comportamento de $R(r, t)$, que é solução da parte radial da equação de Klein-Gordon, no exterior do BN-SM é apresentado na figura 8.4 para valores de $\ell = 0, 1, 2$.

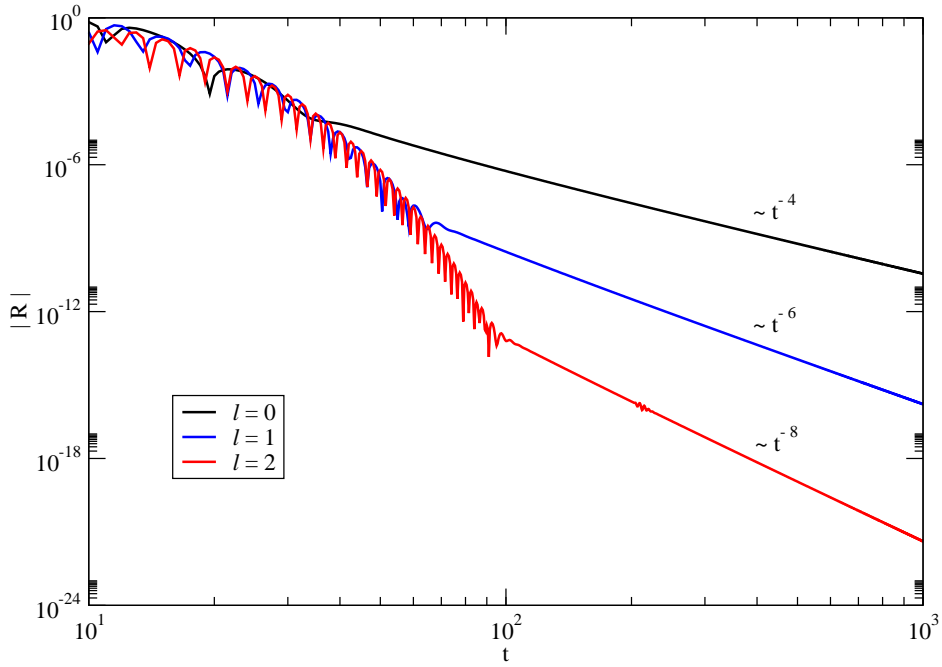


Figura 8.4: Evolução temporal do campo escalar dado por $R(r, t)$ em $r_* = 0$ com $C = 1$ e $h = 1$.

Como podemos observar na figura acima, a evolução do campo escalar neste buraco negro também possui três regimes distintos. Inicialmente o campo apresenta uma fase de transiente. Logo após temos uma fase quasinormal, sendo atenuada exponencialmente. Após essa fase o campo apresenta um decaimento na forma de lei de potências. Igualmente para o BN-SM podemos escrever o comportamento das caudas utilizando o formalismo de Ching.

Para o BN-SM teremos $\alpha = 4$ de modo que as caudas da perturbação escalar decaem como

$$t^{-(2\ell+4)} \quad \text{quando } \ell \neq 0 \quad (8.22)$$

$$t^{-4} \quad \text{quando } \ell = 0 \quad (8.23)$$

A figura (8.4) mostra que o campo escalar decai com o tempo o que nos diz que o BN-SM para esse valor de C é estável quando submetido a perturbações escalares.

Os gráficos com a evolução dos campos eletromagnéticos e gravitacionais dos BN-CFM e BN-SM ainda estão sendo feitos e serão apresentados no artigo [44] a ser submetido.

Capítulo 9

Conclusões

*E no fim da jornada percebemos que novos caminhos florescem à nossa frente.
Seguiremos*

O formalismo desenvolvido para o estudo de perturbações de buracos negros em $(3 + 1)$ dimensões pode ser aplicado, sem grandes dificuldades técnicas, para o estudo perturbações de buracos negros em branas com *bulk* do tipo AdS_5 . Observamos que métricas que não satisfazem a condição $g_{tt} = -\frac{1}{g_{rr}}$, geram dificuldades no desacoplamento das equações que governam a evolução dos campos no exterior dos buracos negros, especialmente nos casos onde a paridade é $(-1)^\ell$, ou seja, nos casos polares.

De modo geral os buracos negros tipo-CFM e tipo-SM mostraram-se estáveis quando submetidos a perturbações escalares, mesmo quando os valores de β e C geravam regiões negativas nos potenciais efetivos. Atribuímos esse comportamento ao fato de que os poços de potenciais eram rasos quando comparados aos máximos dos potenciais.

Uma análise mais ampla sobre o conjunto de parâmetros M , C , h , ℓ , β é necessária para estimar-se melhor as condições limite dos buracos negros e assim poder realizar declarações mais precisas sobre a estabilidade da classe de buracos negros estudados.

Quanto a termodinâmica, ambos os buracos negros se mostraram em acordo com o limite superior da entropia S_m de um corpo absorvido por eles. Isso reforça um pouco mais a universalidade desse limite uma vez que ele independe dos parâmetros do *bulk*.

A evolução do campo escalar no exterior do Buraco Negro-CFM e do Buraco Negro-SM apresentou comportamento semelhante na fase quasi-normal aos buracos negros em $(3 + 1)$ dimensões. O atenuamento exponencial das oscilações são observados. O comportamento das caudas mostraram-se semelhantes.

Para o buraco negro tipo-CFM, as caudas decaem como uma lei de potência do tipo $t^{-(2\ell+3)}$. Apesar do potencial V_{esc}^{CFM} apresentar correções quando comparado ao potencial de Schwarzschild V_{esc}^{Sch} as caudas decaem da mesma maneira.

Para o buraco negro tipo-SM, as caudas também decaem como lei de potência do tipo $t^{-(2\ell+4)}$. O comportamento das caudas dependem fortemente dos parâmetros C , h e ℓ .

O estudo das componentes polares das perturbações eletromagnéticas e gravitacionais, assim como novas propriedades termodinâmicas e o estabelecimento de freqüências quasi-normais para esses e outros buracos negros sobre a brana, serão alvo de investigações futuras.

Apêndice A

Apêndices

Os apêndices deste trabalho constituem-se de, notações e convenções adotadas ao longo do trabalho assim como alguns cálculos mais detalhados que julgamos ser relevantes para um maior esclarecimento dos assuntos abordados.

A.1 Notações e Convenções

Certos tensores, tais como, o tensor de Ricci R_{ij} e o tensor de Einstein G_{ij} , podem apresentar convenções de sinal distintas se compararmos livros ou artigos diferentes. O cuidado em sermos consistentes com uma única convenção de sinal adotada deve ser mantido para evitarmos erros ou conclusões equivocadas. A convenção adotada neste trabalho segue abaixo.

Letras latinas minúsculas (i, j) representam o espaço-tempo 4-dimensional e correm de $0 \dots 3$. Letras gregas minúsculas μ, ν representam o espaço-tempo 5-D e correm de $0 \dots 4$, salvo quando especificado outra notação.

Unidades geométricas são assumidas, onde temos $c = \hbar = k = 1$. A assinatura das métricas utilizadas será $(-, +, +, +)$.

A notação de Einstein é assumida nesse trabalho, ou seja, para índices repetidos que significam soma sobre todo intervalo, a somatória é omitida.

$$\begin{aligned} A^j &= \sum_{i=0}^3 R_i R^{ij} \\ A^j &= R_0 R^{0j} + R_1 R^{1j} + R_2 R^{2j} + R_3 R^{3j} = R_i R^{ij} \end{aligned} \quad (\text{A.1})$$

A conexão Γ_{ij}^b é dada por

$$\Gamma_{ij}^b = \frac{1}{2} g^{ba} \left(\frac{\partial g_{ia}}{\partial x^j} + \frac{\partial g_{ja}}{\partial x^i} - \frac{\partial g_{ij}}{\partial x^a} \right). \quad (\text{A.2})$$

A derivada covariante de um tensor V_{ij} que é representada por (;) é definida como

$$V_{ij;a} = V_{ij,a} - \Gamma_{ia}^b V_{bj} - \Gamma_{ja}^b V_{ib} . \quad (\text{A.3})$$

A vírgula (,) denota uma derivada ordinária sobre o tensor

$$V_{ij,a} = \frac{\partial V_{ij}}{\partial x^a} . \quad (\text{A.4})$$

O tensor de Ricci R_{ij} adota a seguinte convenção de sinal

$$R_{ij} = \Gamma_{ia,j}^a - \Gamma_{ij,a}^a + \Gamma_{ia}^b \Gamma_{jb}^a - \Gamma_{ij}^b \Gamma_{ab}^a . \quad (\text{A.5})$$

A.2 Decomposição tensorial de h_{ij}

Um estudo do momento angular sobre um espaço-tempo (3+1) dimensões esfericamente simétrico pode ser feito, se realizarmos rotações sobre a variedade 2-dimensional formada por $r = \text{const}$ e $t = \text{const}$. Tal estudo é necessário para sabermos como se comporta a parte angular de nosso problema. Sobre tais rotações ao redor da origem a componentes de h_{ij} se transformam de maneira particular. Nesse caso ao rotacionarmos nosso referencial S até um referencial S' os versores dos sistemas se transformarão como

$$\hat{r} \rightarrow \hat{r}', \quad \hat{t} \rightarrow \hat{t}', \quad \hat{\theta} \rightarrow \hat{\theta}', \quad \hat{\phi} \rightarrow \hat{\phi}'. \quad (\text{A.6})$$

Como r e t são constantes $\hat{r} = \hat{r}'$ e $\hat{t} = \hat{t}'$. Conseqüentemente

$$\frac{\partial r}{\partial r'} = 1, \quad \frac{\partial t}{\partial t'} = 1. \quad (\text{A.7})$$

Um tensor de ordem 2 quando rotacionado se transforma como

$$h_{ij} = \Lambda_i^a \Lambda_j^b h'_{ab},$$

$$h_{ij} = \frac{\partial x'^a}{\partial x^i} \frac{\partial x'^b}{\partial x^j} h'_{ab}, \quad (\text{A.8})$$

Adotaremos a seguinte notação para as coordenadas

$$x^0 = t, \quad x^1 = r, \quad x^2 = \theta, \quad x^3 = \phi. \quad (\text{A.9})$$

Desta forma podemos calcular como cada componente de h_{ij} se transforma. As componentes h_{00} , h_{11} e h_{01} se transformam como escalares pois satisfazem a seguinte condição

$$\Phi(r, t, \theta, \phi) = \Phi'(r', t', \theta', \phi') \quad (\text{A.10})$$

Tomemos h_{00} como exemplo

$$h_{00} = \frac{\partial x'^a}{\partial x^0} \frac{\partial x'^b}{\partial x^0} h'_{ab} = \frac{\partial x'^0}{\partial x^0} \frac{\partial x'^0}{\partial x^0} h'_{00}$$

$$h_{00} = h'_{00} \quad (\text{A.11})$$

Isso se deve ao fato de que as coordenadas x'^2 e x'^3 dependem apenas de x^2 e x^3 uma vez que r e t são mantidas constantes.

As componentes (h_{02}, h_{03}) e (h_{12}, h_{13}) se transformam como 2 vetores, ou seja, satisfazem a condição

$$V_i = \frac{\partial x'^a}{\partial x^i} V_a. \quad (\text{A.12})$$

Tomemos (h_{02}, h_{03}) como exemplo de um vetor com componentes (V_2, V_3) .

A componente h_{02} será

$$\begin{aligned} h_{02} &= \frac{\partial x'^a}{\partial x^0} \frac{\partial x'^b}{\partial x^2} h'_{ab}, \\ h_{02} &= \frac{\partial x'^0}{\partial x^0} \frac{\partial x'^2}{\partial x^2} h'_{02} + \frac{\partial x'^0}{\partial x^0} \frac{\partial x'^3}{\partial x^2} h'_{03}, \\ h_{02} &= \frac{\partial x'^2}{\partial x^2} h'_{02} + \frac{\partial x'^3}{\partial x^2} h'_{03}. \end{aligned} \quad (\text{A.13})$$

A componente h_{03} será

$$\begin{aligned} h_{03} &= \frac{\partial x'^a}{\partial x^0} \frac{\partial x'^b}{\partial x^3} h'_{ab}, \\ h_{03} &= \frac{\partial x'^0}{\partial x^0} \frac{\partial x'^2}{\partial x^3} h'_{02} + \frac{\partial x'^0}{\partial x^0} \frac{\partial x'^3}{\partial x^3} h'_{03}, \\ h_{03} &= \frac{\partial x'^2}{\partial x^3} h'_{02} + \frac{\partial x'^3}{\partial x^3} h'_{03}. \end{aligned} \quad (\text{A.14})$$

Podemos observar que h_{02} corresponde à componente V_2 e h_{03} à componente V_3 do nosso vetor.

$$\begin{pmatrix} V_2 \\ V_3 \end{pmatrix} = \begin{pmatrix} \alpha & \beta \\ \gamma & \sigma \end{pmatrix} \begin{pmatrix} V'_2 \\ V'_3 \end{pmatrix}$$

Portanto se transformam como um vetor sobre uma rotação.

As componentes $(h_{22}, h_{33}, h_{23}, h_{32})$ se transformam como um tensor de 2ª ordem 2×2 , ou seja satisfazem a seguinte condição

$$h_{ij} = \frac{\partial x'^a}{\partial x^i} \frac{\partial x'^b}{\partial x^j} h'_{ab}, \quad (\text{A.15})$$

Tomemos como exemplo a componente h_{22} do nosso tensor

$$\begin{aligned} h_{22} &= \frac{\partial x'^a}{\partial x^2} \frac{\partial x'^b}{\partial x^2} h'_{ab} \\ h_{22} &= \frac{\partial x'^2}{\partial x^2} \frac{\partial x'^2}{\partial x^2} h'_{22} + \frac{\partial x'^2}{\partial x^2} \frac{\partial x'^3}{\partial x^2} h'_{23} + \frac{\partial x'^3}{\partial x^2} \frac{\partial x'^2}{\partial x^2} h'_{32} + \\ &+ \frac{\partial x'^3}{\partial x^2} \frac{\partial x'^3}{\partial x^2} h'_{33} \end{aligned} \quad (\text{A.16})$$

Portanto h_{22} se transforma como uma componente de um tensor de 2^a ordem.

Agora já sabemos como cada componente do tensor h_{ij} se transforma.

Assim podemos escrever uma matriz h como

$$h = \begin{pmatrix} E & E & V_2 & V_3 \\ E & E & V_2 & V_3 \\ V_2 & V_2 & T_{22} & T_{23} \\ V_3 & V_3 & T_{32} & T_{33} \end{pmatrix} .$$

Desta forma podemos separar h_{ij} de modo geral como a multiplicação de duas funções, cada uma dependendo de r, t e θ, ϕ respectivamente

$$h_{ij} = \sum_{l=0}^{\infty} \sum_{m=-l}^l \sum_{n=1}^{10} C_{lm}^n(t, r) (Y_{lm}^n)_{ij}(\theta, \phi) . \quad (\text{A.17})$$

A.3 Construção dos Harmônicos Esféricos Tensoriais

A construção dos harmônicos esféricos tensoriais pode ser realizada se utilizarmos os harmônicos esféricos escalares $Y^{lm}(\theta, \phi)$ como base e operarmos com gradientes e “pseudogradientes” sobre ele de modo a obtermos vetores e tensores.

Nesta construção obteremos objetos com paridade distintas $(-1)^\ell$ e $(-1)^{\ell+1}$. Esta distinção nos diz que teremos 2 tipos de ondas geradas por nossa perturbação.

A parte escalar do nosso tensor é dada obviamente por

$$\phi^{lm} = \text{const } Y^{lm}(\theta, \phi). \quad (\text{A.18})$$

Este termo pertence a uma onda de paridade $(-1)^\ell$ e momento angular ℓ cuja a projeção sobre o eixo z é m .

A construção dos vetores é dada pela operação do gradiente e do pseudogradiente em Y_{lm} . Desta operação obteremos dois vetores com paridades opostas

$$\psi^{lm}_{,i} = \text{const } \frac{\partial}{\partial x^i} Y^{lm}, \quad \text{paridade } (-1)^\ell; \quad (\text{A.19})$$

$$\phi^{lm}_{,i} = \text{const } \epsilon_i^a \frac{\partial}{\partial x^a} Y^{lm}, \quad \text{paridade } (-1)^{\ell+1}. \quad (\text{A.20})$$

Aqui os índices i e a correm sobre os valores 2 e 3, quando $x^2 = \theta$ e $x^3 = \phi$; e ϵ_i^a é um tensor totalmente anti-simétrico que representa as quantidades $\epsilon_2^2 = \epsilon_3^3 = 0$; $\epsilon_2^3 = -1/\text{sen}\theta$ e $\epsilon_3^2 = \text{sen}\theta$.

Por fim construiremos três tensores fundamentais. Eles são obtidos quando utilizamos a derivação covariante sobre Y^{lm} , quando aplicamos a métrica da esfera $\gamma_{ij} = g_{ij}/r^2$ sobre Y^{lm} e quando operamos com o pseudogradiente sobre o tensor obtido na primeira operação. São eles

$$\psi^{lm}_{ia} = \text{const } Y^{lm}_{;ia}, \quad \text{paridade } (-1)^\ell \quad (\text{A.21})$$

$$\phi^{lm}_{ia} = \text{const } \gamma_{ia} Y^{lm}, \quad \text{paridade } (-1)^\ell \quad (\text{A.22})$$

$$\chi^{lm}_{ia} = \frac{1}{2} \text{const } [\epsilon_i^b \psi^{lm}_{ba} + \epsilon_a^b \psi^{lm}_{bi}]. \quad \text{paridade } (-1)^{\ell+1} \quad (\text{A.23})$$

onde as componentes da métrica sobre a esfera são dadas por $\gamma_{22} = 1$, $\gamma_{23} = \gamma_{32} = 0$ e $\gamma_{33} = \text{sen}\theta$. Desta forma fica completa a construção dos Harmônicos Esféricos Tensoriais.

A.4 Comentários a respeito do comportamento da coordenada tartaruga r_*

Será de interesse ao nosso estudo sobre as propriedades da evolução de campos, alguns comentários sobre o comportamento assintótico da coordenada tartaruga r_* .

Tomemos uma métrica esfericamente simétrica dada por

$$ds^2 = -A(r)dt^2 + B(r)dr^2 + r^2(d\theta^2 + \sin\theta^2d\phi^2). \quad (\text{A.24})$$

A existência de um horizonte de eventos nesse espaço-tempo implica em um zero da função $A(r)$. Seja r_h um zero de $A(r)$.

Definindo a função $h(r)$ como

$$h(r) = \sqrt{\frac{A(r)}{B(r)}}, \quad (\text{A.25})$$

percebemos que o ponto $r = r_h$ também é um zero da função $h(r)$.

A coordenada tartaruga r_* pode ser definida como

$$r_* = \int \frac{1}{h(r)}dr. \quad (\text{A.26})$$

De modo geral, a função $r_*(r)$ é monotonicamente crescente. Se calcularmos a derivada de r_* veremos que

$$\frac{dr_*(r)}{dr} = \frac{d}{dr} \left[\int \frac{1}{h(r)}dr \right] = \frac{1}{h(r)}. \quad (\text{A.27})$$

Analizando as funções $A(r)$ e $B(r)$ vemos que, para o intervalo de interesse $(]r_h, \infty[)$, temos

$$A(r) > 0, \quad B(r) > 0 \quad \implies h(r) > 0. \quad (\text{A.28})$$

Desta forma a derivada de r_* é crescente

$$\frac{dr_*(r)}{dr} > 0. \quad (\text{A.29})$$

O comportamento de r_* próximo ao horizonte de eventos pode ser estudado se soubermos de que tipo são os zeros da função $h(r)$ em $r = r_h$.

Vamos supor que $h(r_h) = 0$ é um zero simples, ou seja, que $h(r)$ pode ser escrita como

$$h(r) = (r - r_h)P(r), \quad (\text{A.30})$$

onde $P(r)$ é um polinômio de r e respeite a condição $P(r_h) \neq 0$. Sob essas condições temos

$$r_*(r) = \int \frac{dr}{(r - r_h)P(r)} . \quad (\text{A.31})$$

Se estivermos próximos o suficiente do horizonte de eventos podemos escrever a equação (A.31) como

$$r_*(r) = \frac{1}{P(r_h)} \int \frac{dr}{(r - r_h)} = \frac{1}{P(r_h)} \ln(r - r_h) . \quad (\text{A.32})$$

Lembrando que a gravidade superficial em $r = r_h$ é dada por

$$\kappa_h = \frac{1}{2} \left. \frac{dh(r)}{dr} \right|_{r=r_h} = \frac{P(r_h)}{2} , \quad (\text{A.33})$$

podemos reescrever a equação (A.32) próximo do horizonte de eventos como

$$r_*(r) = \frac{1}{2\kappa_h} \ln(r - r_h) . \quad (\text{A.34})$$

Neste caso a função r_* diverge logarithmicamente quando $r \rightarrow r_h$ sendo

$$\lim_{r \rightarrow r_h} r_*(r) \rightarrow -\infty \quad (\text{A.35})$$

Neste limite é possível inverter a função $r_*(r)$ de modo que a forma analítica de $r(r_*)$ será

$$r = r_h + e^{2\kappa_h r_*} . \quad (\text{A.36})$$

Agora se supusermos que $h(r_h) = 0$ é um zero duplo, ou seja, que $h(r)$ pode ser escrita como

$$h(r) = (r - r_h)^2 Q(r) , \quad (\text{A.37})$$

onde $Q(r_h) \neq 0$, teremos

$$\kappa_h = 0 , \quad (\text{A.38})$$

$$r_*(r) = \frac{1}{Q(r_h)} \int \frac{dr}{(r - r_h)} \propto -\frac{1}{r - r_h} . \quad (\text{A.39})$$

Desta forma, próximo ao horizonte teremos

$$r_* = -\frac{1}{2Q(r_h)(r - r_h)} . \quad (\text{A.40})$$

Neste caso a função $r_*(r)$ diverge como uma lei de potência quando $r \rightarrow r_h$. Invertendo $r_*(r)$ teremos

$$r(r_*) = r_h - \frac{1}{2Q(r_h)r_*} . \quad (\text{A.41})$$

A.5 Cálculo do desacoplamento das equações δR_{12} , δR_{10} e δR_{13} .

As equações δR_{12} , δR_{10} e δR_{13} podem ser obtidas em [6] e são dadas por

$$R_{10} = \frac{e^{-2\psi-\mu_2-\mu_3}}{2} \left[(e^{3\psi-\nu-\mu_2+\mu_3} Q_{20})_{,2} + (e^{3\psi-\nu-\mu_3+\mu_2} Q_{30})_{,3} \right] = 0; \quad (\text{A.42})$$

$$R_{12} = \frac{e^{-2\psi-\nu-\mu_3}}{2} \left[(e^{3\psi+\nu-\mu_2-\mu_3} Q_{32})_{,3} - (e^{3\psi-\nu+\mu_3-\mu_2} Q_{02})_{,0} \right] = 0; \quad (\text{A.43})$$

$$R_{13} = \frac{e^{-2\psi-\nu-\mu_2}}{2} \left[(e^{3\psi+\nu-\mu_3-\mu_2} Q_{23})_{,2} - (e^{3\psi-\nu-\mu_3+\mu_2} Q_{03})_{,0} \right] = 0. \quad (\text{A.44})$$

onde R_{ij} corresponde a δR_{ij} .

O fator multiplicativo de cada equação pode ser ignorado uma vez que todas as equações são iguais a zero.

Assim se fizermos a seguinte operação

$$\delta R_{10,0} = \delta R_{12,2} + \delta R_{13,3} \quad (\text{A.45})$$

teremos uma identidade de modo que a equação δR_{10} pode ser escrita como uma combinação da outras duas equações.

Tomando então as derivadas apropriadas teremos

$$\begin{aligned} & (e^{3\psi-\nu-\mu_2+\mu_3} Q_{20})_{,2,0} + (e^{3\psi-\nu-\mu_3+\mu_2} Q_{30})_{,3,0} = \\ & (e^{3\psi+\nu-\mu_2-\mu_3} Q_{32})_{,3,2} - (e^{3\psi-\nu+\mu_3-\mu_2} Q_{02})_{,0,2} + \\ & + (e^{3\psi+\nu-\mu_3-\mu_2} Q_{23})_{,2,3} - (e^{3\psi-\nu-\mu_3+\mu_2} Q_{03})_{,0,3} \end{aligned} \quad (\text{A.46})$$

Lembrando que

$$Q_{AB} = q_{A,B} - q_{B,A}, \quad Q_{A0} = q_{A,0} - \omega_{,A}, \quad Q_{0A} = \omega_{,A} - q_{A,0}, \quad (\text{A.47})$$

e aplicando essas condições na equação (A.46) teremos

$$\begin{aligned} & (e^{3\psi-\nu-\mu_2+\mu_3} Q_{20})_{,2,0} + (e^{3\psi-\nu-\mu_3+\mu_2} Q_{30})_{,3,0} = \\ & = (e^{3\psi+\nu-\mu_2-\mu_3} Q_{32})_{,3,2} + (e^{3\psi-\nu+\mu_3-\mu_2} Q_{20})_{,2,0} - \\ & - (e^{3\psi+\nu-\mu_3-\mu_2} Q_{32})_{,3,3} + (e^{3\psi-\nu-\mu_3+\mu_2} Q_{30})_{,3,0} \\ & 0 = 0. \end{aligned} \quad (\text{A.48})$$

Referências Bibliográficas

- [1] Casadio R., Fabbri A., Mazzacurati L., “*New black holes in the brane world?*”, Phys. Rev. D65 084040, (2002).
- [2] Casadio R., Mazzacurati L., “*Bulk shape of brane-world black hole*”, Mod. Phys. Lett. A18 651-660, (2003).
- [3] Nollert H., “*Quasinormal modes: the characteristic ‘sound’ of black holes and neutron stars*”, Class. Quant. Grav. 16, R159-R216 (1999).
- [4] Regge T., Wheeler J. A., “*Stability of a Schwarzschild Singularity*”, Phys. Rev. 108 4, (1957).
- [5] Bronnikov K. A., Kim S., “*Possible wormholes in a brane world*”, Phys. Rev. D67 064027, (2003).
- [6] Chandrasekhar S., “*The Mathematical Theory of Black Holes*”, Oxford University, New York, (1983).
- [7] Shiromizu T., Maeda K., Sasaki M., “The Einstein equation on the 3-brane world”, Phys. Rev. D62, 024012 (2000).
- [8] Seahra. S. S., Wesson P. S., “*Application of the Campbell-Magaard theorem to higher-dimensional physics*”, Class. Quant. Grav. 20 1321-1340, (2003).
- [9] Edelstein L. A., Vishveshwara C. V., “*Differential Equations for Perturbations on Schwarzschild Metric*”, Phys. Rev. 1 12, (1970).
- [10] Bronnikov K. A., Melnikov V. N., “*On a general class of brane-world black holes*”, Phys. Rev. D68,024025 (2003).
- [11] Germani C., Maartens R., “*Stars in the braneworld*”, Phys. Rev. D64 124010 (2001).

- [12] Ruffini R., Tiommo J., Vishveshwara C. V., “*Electromagnetic Field of a Particle Moving in Spherically Symmetric Black-hole Background*”, Nuovo Cimento vol. 3, n. 5 (1972).
- [13] Bekenstein J. D., “*Black holes and Entropy* ”, Phys. Rev. D7 2333-2346,(1973).
- [14] Bardeen J. M., Carter B., Hawking S. W., “*The four laws of black hole mechanics* ”, Commun. Math. Phys. 31 161-170, (1973).
- [15] Hawking S. W., “*Particle creation by black holes* ”, Commun. Math. Phys. 43 199-220, (1975), Erratum-ibid. 46 206-206, (1976).
- [16] Randal L., Sundrum R., “*A large mass Hierarchy from small extra dimension*”, Phys. Rev. Lett. 83 3370-3373,(1999).
- [17] Randal L., Sundrum R., “*An alternative to compactification*”, Phys. Rev. Lett. 83 4690-4693, (1999).
- [18] Arkani-Hamed N., Dimopoulos S., Dvali G., “*The Hierarchy Problem and New Dimensions at a Millimeter*”, Phys. Lett. B429 263-272, (1998).
- [19] Maartens R., Seahra S. S., Clarkson C., “*Detecting extra dimensions with gravity wave spectroscopy: the black string brane-world* ”, Phys. Rev. Lett. 94 121302, (2005).
- [20] Ching E. S. C., Leung P. T., Suen W. M., Young K., “*Wave Propagation in Gravitational Systems: Late Time Behavior*”, Phys. Rev. D52 2118-2132, (1995).
- [21] Fiziev P. P., “*Exact solutions of Regge-Wheeler equation and quasi-normal modes compact objects*”, gr-qc/0509123.
- [22] Bekenstein J. D., “*Universal upper bound on the entropy-to-energy ratio for bounded systems*”, Phys. Rev. D23 287 (1981).
- [23] Bekenstein J. D., “*Generalized Second Law of Thermodynamics in Black Hole Physics* ”,Phys. Rev. D9 3292-3300, (1974).
- [24] Kaluza T., Sitzungsberichte Preussische Akademie der Wissenschaften K1 966, (1921); Klein O., Z. F. Physik 37 896, (1926); Klein O., Nature 118 516, (1926).
- [25] Hod S., “*Bohr’s correspondence principle and the area spectrum of quantum black holes* ”, Phys. Rev. Lett. 81 4293, (1998).

- [26] Bekenstein J. D., Mukhanov V. F., “*Spectroscopy of the quantum black holes*”, Phys. Lett. B 360 7, (1995).
- [27] Hod S., “*Improved Upper Bound to the Entropy of a Charged System. II*”, Phys. Rev. D61 024023, (2000).
- [28] Visser M. “*Lorentzian Wormholes: from Einstein to Hawking*”, Springer-Verlag New York, Inc., USA
- [29] Kokkotas K. D., Schimdt B. G., “*Quasi-Normal Modes of Stars and Black Holes*”, Living Rev. Rel. 2 2, (1999).
- [30] Cardoso, V. “*Quasi Normal Modes and Gravitational Radiation in Black Holes Spacetimes*”, Ph.D. Thesis (Advisor: Jose Pizarro de Sande e Lemos), gr-qc/0404093.
- [31] Hawking S. W., “*Gravitational Radiation from Colliding Black Holes*”, Phys Rev. Lett. 26 1344, (1971).
- [32] D’Inverno R. “*Introducing Einstein’s Relativity*”, Oxford University Press, New York 2004
- [33] Weinberg S. “*Gravitation and Cosmology Principles and Applications of the General Theory of Relativity*”, John Wiley & Sons, Inc., USA
- [34] Figueiró F.M., “*Cosmologia Inflacionária em Modelos de Branas tipo RS-I*”, dissertação de mestrado, (2005).
- [35] Casali A. G., “*Cosmologia na borda de um espaço-tempo Anti-de-Sitter*”, dissertação de mestrado.
- [36] Israel W., “*Singular Hypersurfaces and Thin Shells in General Relativity*”, Nuovo Cimento 44B 1, (1966).
- [37] Molina C., “*Propagação de Campos em Buracos Negros Esféricos*”, tese de doutorado, 2003.
- [38] Michel J., “*On the Means of Discovering of Distance, Magnitude, etc. of the Fixed Stars*”, Philo. Trans. 74, 35-37, (1783), reimpresso em Black Holes: Selected Reprints, p.8, editado por Detweiler S. American Assoc. Physics Teachers, 1982.
- [39] Laplace P.S., “*Exposition du Système du Monde*”, 2 305. Cercle-Social, Paris, 1796.

- [40] Press W. H., “*Long Wave Trains of Gravitational Waves from a Vibrating Black Hole*”, *Astrophys. J.* 170, L105, (1971).
- [41] Hawking S. W., Chamblin A., Real H. S., “*Brane-World Black Holes*”, *Phys. Rev. D* 61 065007, (2000).
- [42] Visser M., Wiltshire D. L., “*On-brane data for braneworld stars*”, *Phys. Rev. D* 67 104004, (2003).
- [43] Gregory R., Laflamme R., “*Black Strings and P-Branes are unstable*”, *Phys. Rev. Lett.* 70, 2837 (1993).
- [44] Abdalla E, Cuadros-Melgar B., Molina C., Pavan A. B., em preparação.
- [45] Anderson P. R., Balbinot R., Fabbri A., “*Cutoff AdS/CFT duality and the quest for braneworld black holes*”, *Phys. Rev. Lett.* 94 061301, (2005).
- [46] Emparan R., Fabbri A., Kalloper N., “*Quantum Black Holes as Holograms in AdS Brane Worlds*”, *JHEP* 0208 043, (2002).
- [47] Wald R. M., “*General Relativity*”, The University of Chicago Press, Chicago (Apêndice E) (1984).
- [48] Novikov I. D., Frolov V. P., “*Black Holes Physics: Basic Concepts and New Developments*”, Kluwer Academic Publishers, The Netherlands, (1998).
- [49] Abdalla E., Wang B., Molina C., “*Evolving of a Massless Scalar Field in Reissner-Nordstrom Anti-de-Sitter Spacetimes*”, *Phys. Rev. D* 63 084001, (2001).
- [50] Abdalla E., Lin C., Wang B., “*Quasinormal Modes of Reissner-Nordstrom Anti-de-Sitter Black Holes*”, *Phys. Lett. B* 481 79-88, (2000).
- [51] Abdalla E., Castelo-Branco K. H. C., Lima-Santos A., “*Area Quantization in Quasiextremal Black Holes*”, *Mod. Phys. Lett. A* 18 1435-1440, (2003).
- [52] Abdalla E., Molina C., Giugno D., Saa A., “*Field Propagation in de Sitter Black Holes*”, *Phys. Rev. D* 69 104013, (2004).